

## V TOMTO SEŠITĚ

VITROHM se představuje..... 41

### TRANSFORMÁTORY A CÍVKY PRO ELEKTRONIKU

|  |        |
|--|--------|
| Veličiny, jednotky a zákl. pojmy .....                       | 43     |
| Magn. obvod transformátorů a cívek.                          |        |
| Vliv mezery.....   | 44     |
| Náhradní schéma .....  | 45     |
| Vliv mg materiálu na vlastnosti .....                        | 47     |
| Oteplení transformátoru .....                                | 53     |
| Vodiče pro vinutí .....                                      | 54     |
| Síť. transformátory s jádry C a Q .....                      | 55     |
| s toroidními jádry   | 57     |
| Autotransformátory a regulační transformátory.....           | 59     |
| Elektrotechnické plechy .....                                | 60     |
| Zapínaci proudy a jištění .....                              | 63     |
| Předmagnetování .....  | 63     |
| Vyhlažovací tlumivky .....                                   | 66     |
| Transformátory a tlumivky pro spínací zdroje .....           | 68     |
| Měniče pro malé výkony .....                                 | 74     |
| Vlastnosti feritů pro transformátory spínacích zdrojů .....  | 75     |
| Magnetické materiály pro jádra tlumivek.....                 | 77     |
| Provedení transformátorů a tlumivek pro spínací zdroje ..... | 78     |
| Inzerce .....  | 79, 80 |

### AMATÉRSKÉ RÁDIO - ŘADA B

*Vydavatel : Vydavatelství MAGNET-PRESS, s. p., Vladislavova 26, 113 66 Praha 1, tel. 24 22 73 84-9, fax 24 22 3173.  
Redakce: Jungmannova 24, 113 66 Praha 1, tel. 24227384.  
Šéfredaktor Luboš Kalousek, OKIFAC, I. 354.*

*Ročně vychází 6 čísel. Cena výtisku 20,-Kč, pololetní předplatné 60,-Kč, celoroční předplatné 120,-Kč.  
Tiskne: Severografie Ústí n.l.*

*Rozšířuje: MAGNET-PRESS (poskytuje slevu na předplatném) a PNS, informace o předplatném podá a objednávky přijímá PNS, pošta, doručovatel a předplatitelské středisko administrace Vydavatelství MAGNET-PRESS.*

*Velkoobchodář a prodejci si mohou objednat AR za výhodných podmínek v oddělení velkoobchodu MAGNET-PRESS, tel/fax (02) 26 12 26.*

*Podávání novinových zásilek povolenlo jak Reditelstvím pošt, přepravy Praha (č. j. nov. 5030/1994 ze dne 10. 11. 1994), tak RPP Bratislava - pošta Bratislava 12 (č. j. 82/93 dňa 23. 8. 1993). Objednávky do zahraničí přijímá MAGNET-PRESS, OZO.312, Vladislavova 26, 113 66 Praha 1 formou bankovního šeku.*

*Ve Slovenské republice předplatné zajišťuje a objednávky přijímá přímo nebo prostřednictvím dalších distributořů MAGNET-PRESS Slovakia s.r.o., P. O. BOX 814 89 Bratislava, tel./fax (07) 36 13 90, cena za jeden výtisk v SR je 27,-SK (22,-SK při předplatném v MAGNET-PRESS Slovakia).*

*Inzerci přijímá inzertní oddělení MAGNET-PRESS, Jungmannova 24, 113 66 Praha 1, tel/fax (02) 24 22 31 73, tel. (02) 24 22 73 84. Znění a úprava odborné inzerce lze dohodnout s kterýmkoli redaktorem AR.*

*Za původnost a správnost příspěvků odpovídá autor. Nevyžádané rukopisy nevracíme.*

**ISSN 0139-7087, číslo indexu 46 044.**

Toto číslo vyšlo 22. 3. 1995.

© MAGNET-PRESS s. p. Praha

odporové sítě SMD (čipové i v pouzdrech SO),

hybridní obvody,

potenciometry: metalglazurové (cermetové)

trimry,

drátové trimry,

trimry SMD,

víceotáčkové potenciometry.

Proč tato rozmanitost? Než bude tato otázka zodpovězena, je nutno uvést základní informace o technologii výroby.

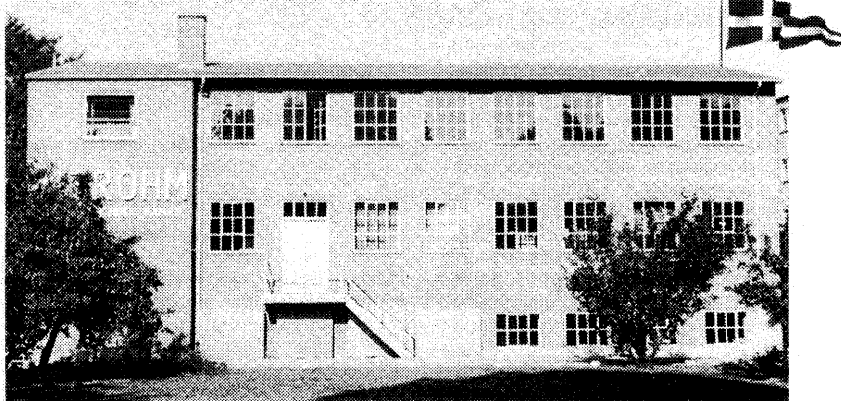
U drátových rezistorů je to ještě relativně jednoduché: v podstatě se navine vhodný odporový drát na nosné tělesko a tento prvek se opatří kontakty a přívodními vodiči. Výkonové rezistory VTM se vyrábějí ve velkých sériích a nabízejí optimální poměr ceny a kvality. Mimo jiné je to umožněno využitím vlastní technologie kontaktování, která zaručuje přímý elektrický kontakt mezi svitkem a přívodními vodiči. Ačkoli tyto rezistory našly své nejčastější užití v oblasti spotřební elektroniky a elektroniky pro domácnost, téměř denně se otevírají další nové oblasti upotřebení, jejichž počet je stále ještě nedozírný. A tak vznikly v posledních letech speciální topné články, odpařovávky, vysoušeče bot atd.; vše jsou to výrobky, které nemohou být počítány mezi elektroniku.

Drátové rezistory s pojistkou, které byly kdysi vyvinuty pro přístroje spotřební elektroniky, vzhledem k ochraně proti požáru nacházejí při rostoucích požadavcích na bezpečnost stále větší uplatnění v profesionálních přístrojích a zařízeních.

Mohlo by se zdát, že je anachronismem, mít v programu souběžně s pyrolytickými rezistory z tvrdého uhlíku „starou“ technologii na výrobu uhlíkových vrstvových rezistorů. Nicméně jsou pro tuto nejstarší tlustovrstvovou



Poul Kingo Pedersen, zakladatel firmy



Původní závod firmy VITROHM v roce 1933

technologií užití, v nichž by jen sotva mohla být nahrazena. Konkrétně je to oboř vysokofrekvenční techniky, ve kterém mohou být použity bezinduktivní, bezčepičkové uhlíkové vrstvové rezistory díky jejich konstantnímu, na kmitočtu nezávislému chování.

Obzvláště nápadné je členění skupiny kovových rezistorů. Nejdříve je třeba uvést, že mezi různými uvedenými „pravými“ rezistory s kovovou vrstvou (Ni-Cr) jsou určité konstrukční rozdíly (např. kontaktovaný pomocí zlatého kroužku) a nejenadá se pouze o „přešleštěné“ vyměřené rezistory.

U VTM převládá názor, že rezistory Ni-Cr s tenkou vrstvou jsou nenahraditelné v oboru měřicí, regulační a řídící techniky, neboť používaná technologie výroby umožňuje dosáhnout nejmenších tolerancí a kontrolovat teplotní součinitel až na co nejnižší mez. Se zřetellem na provedení a kvalitu kontaktů je však potřebné dělat rozdíly podle jednotlivých aplikací.

Tak zvaný univerzální rezistor s kovovou vrstvou poskytuje dnes při nízké ceně přednosti malých teplotních součinitelů a poměrně úzké tolerance pro široké oblasti využití, přesto však nemusí být všude tím správným rezistorem.

V aplikacích, ve kterých je požadavkem velká provozní spolehlivost, přetížitelnost a nepatrny poměr výkon/velikost, a které také vyžadují malý teplotní součinitel a co nejlepší stabilitu, se dává přednost zalisovaným, bezčepičkovým, metalglazuroványm rezistorům. Tato tlustovrstvová technologie, která kombinuje přesnost a zatížitelnost, však dosahuje pouze 22 ppm/K při 0,5% toleranci. Aby metalizované rezistory překlenuly rozsah hodnot od 0,3 do 10 MΩ, jsou u nich eliminovány speciálně problémy se spolehlivostí v kritických oblastech malých a velkých odpórů. Vedle axiálního provedení jsou u rezistorů VTM progresivní také provedení radiální. Zejména u typu RGU-mini, který má tvar miniaturního kvádra, nabyl argument „osazovat s úsporou místa“ rozsáhlejšího významu.

Metaloxidové rezistory s jejich relativně velkým rozsahem odporu jsou leckdy náhradou za často dražší rezistory drátové, obzvláště jedná-li se o rozsah výkonu 2 až 6 W. Sice nenabízejí tak velkou odolnost proti impulsnímu zatížení jako rezistory drátové ani extrémně nízký spodní rozsah hodnot, ale mnohdy jsou úspornější.

Na úrovni techniky dnes také ukazuje užití tlustovrstvových odporových sítí, které se obzvláště využívají v oblasti datových zařízení s mnoha rezistory stejněho odporu. Trh s těmito prvky neustále vzrůstá s rostoucí digitalizací různých zapojení a jejich výběr je většinou uskutečňován podle kritérií tolerance, stability a možnosti osazování na lince. Zalisované

odporové sítě nabízejí užší tolerance a menší teplotní součinitel než sítě lakované, ale cenu leží na vyšší úrovni.

Hybridní obvody, u firmy VTM toho času ještě zákaznické, „sítě na míru“, mají předklad největšího rozšíření. Vedle jednoznačné miniaturizace nabízejí tyto obvody řadu předností jako spolehlivost, „slušné“ chování při změnách teploty a stabilitu, ale také menší náklady spojené se skladováním a krátký čas na montáž. Neopomněnutelná je rovněž mnohostrannost využití při relativně nepatrnych nákladech na vývoj. Kromě výroby firma VTM nabízí také laboratoř pro aplikaci hybridních obvodů, aby pomocí těsné technické spolupráce s uživatelem vytvárela schopné, mnohdy extrémní koncepty zapojení.

O potenciometrech byla již napsána nejedna kniha. Vedle čistě technologických rozdílů mezi cermetovými a drátovými potenciometry se jedná o řadu rozdílů v parametrech, kritériích a velikostech tétoho prvků. Firma VTM doplnila vlastní paletu výrobků o širokou škálu potenciometrů amerického výrobce VRN, který před několika lety převzal výrobu tohoto sortimentu od TRW/IRC. Nicméně nejde jen o obchodní vztahy. Techničtí specialisté firmy VTM úzce spolupracují s VRN a naprostě nepovažují trimry za své adoptivní dítě.

Mimo již zmíněnou spolupráci s americkými firmami IRC a VRN patří mezi partnery VTM americká firma ASC, známá fóliovými kondenzátory. Smlouvou o vzájemném zastupe-

pování má VTM uzavřeno rovněž se známým americkým výrobcem rezistorů firmou OHMITE.

Vedle systematického zajišťování pevně definované vysoké úrovně kvality výrobků a výroby klade VTM stále větší důraz na certifikaci podle stále významnější mezinárodní standardizace. Téměř celá produkce VTM je certifikována podle mezinárodních norem, kde má zásadní význam certifikace podle norm ISO9000 a CECC, které dosáhla v roce 1994. Mezi základní zásady VTM patří, že neprodává pouze výrobky vyhovující mezinárodním normám, nýbrž nabízí zákazníkům součástky, které jsou nejvhodnější pro jeho aplikaci.

U firmy VITROHM je v závodech Pinenberg nedaleko Hamburku a v Estoril v Portugalsku zaměstnáno přibližně 800 lidí, kteří vyrábějí a testují tento velký sortiment pasivních součástek, odborně radí uživatelům a vyvíjejí nové výrobky.

Bouřlivý vývoj elektroniky umožnil progresivní rozvoj skupiny VITROHM až do současného postavení na světovém trhu.

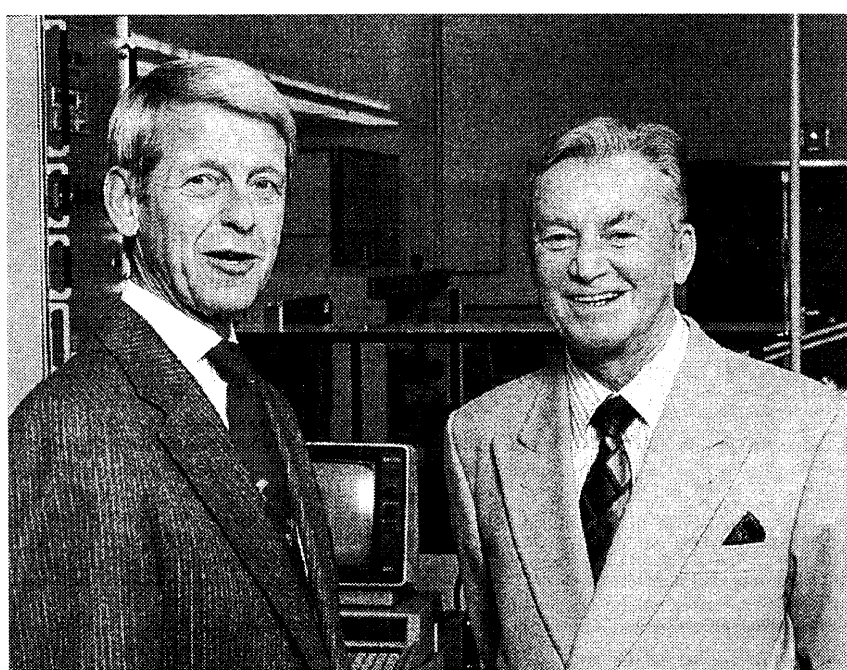
- Vysoká kvalita výrobků
- Síla celosvětové prodejní sítě
- Vedoucí pozice ve výzkumu a vývoji
- Solidní postavení středně velké soukromé firmy

to jsou základní atributy pro současnou vedoucí pozici na trhu a předpokladem pro stabilní postavení na trzích v budoucnu.

Na českém trhu zastupuje firmu VITROHM společnost ERA COMPONENTS, která zajišťuje dodávky součástek přímo od výrobce, technickou podporu a dokumentaci. Podrobné informace o všech součástkách firmy VITROHM můžete obdržet na následujících adresách:

výhradní zástupce VITROHM pro ČR  
**ERA COMPONENTS s. r. o.**,  
Michelská 12a, 140 00 Praha 4  
tel. 02 422315, fax 02 6921021

výhradní zástupce VITROHM pro SR  
**DATAVIA Košice** (adresa a telefonní spojení viz inzerce v AR A).



Nynější majitelé firmy - Søren Kim Engel a Günther Kampen

# TRANSFORMÁTORY A CÍVKY PRO ELEKTRONIKU

Ing. Zdeněk Faktor

**Návrh transformátorů a cívek vychází z fyzikálních principů jejich činnosti a ze znalosti vlastností použitých magnetických materiálů. Tím je podmíněno jejich hospodárné využití v zamýšlené technické aplikaci.**

**Volba použitého magnetického materiálu ovlivňuje nejen dosažené vlastnosti, ale i technologii výroby. Dále uvedené informace umožňují přesněji vybrat vhodný materiál i tvar magnetického obvodu.**

V současných elektronických zařízeních se vinuté součástky vyskytují relativně řidce (v napájecích, odrušovacích filtroch, impulsních transformátorech, filtroch a filtračních tlumivkách), ale nikoli ojediněle. Konstruktérům i používatelem transformátorů a cívek jsou proto určeny další stránky, jejichž obsahem je teorie i praxe transformátorů a cívek. Především je však třeba upozornit, že platnost našich oborových norem byla zrušena, v příštích letech budou i naše normy ČSN postupně nahrazovány Euronormami s návazností na doporučení IEC a normy DIN.

## Jednotky a některé základní pojmy

Zákonem zavedené jednotky jsou v čs. státní normě ČSN 01 1300 a pojmy spojené s vyjadřováním vlastností magnetických materiálů v normě ČSN 34 5108. Přehled hlavních veličin a základních i odvozených jednotek v platné soustavě SI včetně převodních činitelů pro některé jednotky dosud používané podle starých soustav (především v zahraniční literatuře) je uveden dále.

Soustava SI vychází ze sedmi základních jednotek - m, kg, s, A, K, cd a mol - jen pro zajimavost: z uvedených jednotek je nejpřesněji určena sekunda (přesnost  $10^{-12}$ ), např. ampér lze změřit mnohem méně přesně ( $10^{-9}$ ).

V úvodu je ještě třeba zmínit se i o druzích látek podle jejich reakce s vnějším magnetickým polem.

Z tohoto hlediska známe látky diamagnetické, paramagnetické, feromagnetické, ferimagnetické, antiferomagnetické a metamagnetické. Pro transformátory a cívky se využívají látky feromagnetické a ferimagnetické. U látek feromagnetických, kterými jsou některé kovy a jejich slitiny, a u látek ferimagnetických, v jejichž krytalové mřížce jsou kationty prvků fero-

i neferomagnetických, jsou atomy nebo ionty, které mají tzv. magnetický dipolový moment i bez přítomnosti vnějšího magnetického pole. U ferimagnetických látek, kterými jsou ferity, jsou dipolové momenty iontů orientovány antiparalelně, takže se jejich výsledný účinek zeslabuje. Proti feromagnetickým látkám tak získávají velmi odlišné magnetické vlastnosti.

Nejdůležitějšími veličinami v oboru transformátorů a cívek jsou magnetická indukce a intenzita magnetického pole. **Magnetická indukce B** je vektorová veličina, charakterizující magnetické pole, která udává počet indukčních čar na jednotku kolmé plochy. Projevuje se silovými účinky na vodiče, protékané proudy a indukováním napětí při své změně. Lze ji proto snadno měřit. Její rozměr je  $\text{kg s}^2 \text{A}^{-1}$ . Hlavní jednotkou magnetické indukce B je **1 T** (tesla). Místo názvu tesla se používá někdy název weber na čtverečný metr ( $\text{Wb m}^{-2}$ ) nebo voltsekunda na  $\text{m}^2$  ( $\text{Vs m}^{-2}$ ). Ve starší a zahraniční literatuře se vyskytuje i starší jednotka **1 G** (gauss, soustava CGSem), při převodu do soustavy SI je třeba údaj v G násobit činitelem  $10^4$ .

**Intenzita magnetického pole H** je vektorová veličina, jejíž rozměr je  $\text{m}^{-1} \text{A}$  a jednotkou je **ampér na metr**,  $\text{A m}^{-1}$ , někdy se používá i název amperzávit na metr ( $\text{Az m}^{-1}$ ). Starší jednotkou je **1 Oe** (oersted), pro převod je třeba údaj v Oe vynásobit činitelem 79,5775. Intenzita magnetického pole je vektor odvozený, pomocný, přímo nezměřitelný, jeho zavedení však usnadňuje vypočet magnetických obvodů a transformátorů.

Ve vakuu nebo ve vzduchu je intenzita magnetického pole

$$H = B/\mu_0$$

$\mu_0$  je magnetická konstanta, jejíž velikost vyplývá ze soustavy jednotek. Obrazně bývá přisuzována permeabilitě vakuua. Pro jednotky soustavy SI má velikost  $4\pi \cdot 10^{-7} \text{ H/m}$ .

Magnetická indukce a intenzita magnetického pole se při periodických průbězích uvádějí vrcholovými hodnotami (na rozdíl od proudů a napětí, které se uvádějí v hodnotách efektivních). Jednoduše údaje ve vrcholových hodnotách na efektivní převést nelze.

Katalogový údaj např.  $B_{100}$  [T] je velikost magnetické indukce, které má být dosaženo polem 100 A/m.

Významnou veličinou pro popis magnetického materiálu je počáteční permeabilita  $\mu_p$ . Vzhledem k důležitosti této veličiny si nejdříve uvedeme, co to vlastně je **permeabilita**: je to veličina daná podílem magnetické indukce B a intenzity magnetického pole H a vyjadřuje schopnost stáčet elementární smyčky atomárních proudů materiálu tak, aby se osy jejich magnetických polí co nejvíce přibližovaly směru vnějšího budíčího magnetického pole a tím zesilily magnetickou indukci jádra. Tento podíl se označuje jako absolutní permeabilita  $\mu_{abs}$ . Permeabilita  $\mu_{abs}$  je dána součinem permeability vakuua  $\mu_0$  a relativní permeability  $\mu$ , která je bezrozměrným číslem. Hlavní jednotkou permeability je **henry na metr**,  $\text{H m}^{-1}$ . Ve starší soustavě jednotek (CGSem) byla permeabilita bezrozměrná jednotka, pro vakuum se rovnala 1. Poměrná permeabilita  $\mu$  udává, kolikrát je permeabilita daného prostředí větší než permeabilita vakuua. Pro feromagnetické látky je např.  $\mu$  mnohem větší než 1 a závisí na velikosti intenzity H. Pro vzduch se uvažuje  $\mu$  rovné 1. Změnná počáteční permeabilita se zjišťuje většinou při 0,4, 1,6 nebo 8 A/m - čím má materiál větší permeabilitu, tím přesněji lze při malých intenzitách magnetického pole změřit počáteční permeabilitu.

Magnetická indukce, intenzita magnetického pole se určují z napětí na vnitřním vzorku, z proudu jím procházejícího a z jejich fázového vztahu. Pro nízké kmitočty je permeabilita reálné číslo, pro vyšší komplexní.

U polootevřených magnetických obvodů, u nichž je relativní délka mezery (viz dále) vzhledem k celkové délce magnetické silové čáry pouze několik procent, se zavedla tzv. efektivní permeabilita, efektivní ve smyslu účinná, skutečně působící. Tou se rozumí náhradní permeabilita téhož obvodu, který by s cívkou o stejném počtu závitů měl stejnou indukčnost, u něhož by však nebyl magnetický obvod přerušen. Efektivní permeabilita se označuje  $\mu_e$  (jako permeabilita ekvivalentní, náhradní).

U otevřených magnetických obvodů, jakými jsou cívky se šroubovými feritovými jádry, je zavedena tzv. cívková permeabilita  $\mu_c$ , která bývá někdy označována  $\mu_{app}$ , apparent permeability - zdánlivá permeabilita. Je to poměr indukčnosti cívky např. se šroubovým jádrem k indukčnosti téže cívky bez jádra. Vlivem šroubových jader se zvětší indukčnost cívky o několik desítek až několik stovek procent. Cívková permeabilita šroubových jader bývá v rozsahu 1,1 až 3.

**Vlastní indukčnost  $L$**  udává závislost magnetického toku na velikosti proudu v uzavřeném závitu. Základní jednotkou je 1 H (henry). **Vzájemná indukčnost  $M$**  má stejnou jednotku.

Indukčnost, dosažená jedním závitem na daném jádru, je tzv. **součinitel indukčnosti  $A_L$** , obvykle se užívá v  $\mu\text{H}$ .

$$L = A_L \cdot N^2,$$

kde  $N$  je počet závitů.

Je to často používaný údaj v obchodních katalogích magnetických jader.

Dalším používaným termínem je tzv. **součinitel závitu  $\alpha$** , což je počet závitů k dosažení jednotkové indukčnosti.

$$\alpha = N/\sqrt{L}.$$

Obvykle se uvádí v  $\text{mH}$ .

Jak je známo, napětí na indukčnosti předbíhá proud o  $\pi/2$ , u cívky se ztrátami je tento úhel menší o určitý úhel  $\delta$ , který se nazývá **ztrátový úhel**. Tangenta ztrátového úhlu se nazývá **ztrátový činitel**. Chceme-li zjistit velikost ztrátového činitele materiálu jádra pro zvolený kmitočet a magnetickou indukci popř. teplotu, změří se sériové náhradní schéma cívky se vzorkem magnetického materiálu za zvolených podmínek (kmitočet, indukce, teplota).

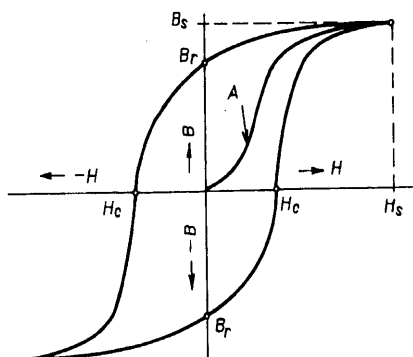
**Magnetický tok  $\Phi$**  je určen součinem plochy a magnetické indukce. Jednotkou magnetického toku je 1 Wb (weber).

**Magnetovací křivka** je grafické znázornění závislosti magnetické indukce  $B$  na intenzitě magnetického pole  $H$  v magnetickém materiálu. Hysterezní smyčka statická odpovídá dostačné pomale periodické změně intenzity magnetického pole, měnící se od  $+H$  do  $-H$  jedním směrem a zpět. Při střídavém magnetování se tvar hysterezní křivky materiálu mění vlivem vírychých proudů - pak jde o tzv. hysterezní smyčku dynamickou. Její tvar již není dán pouze magnetickými vlastnostmi materiálu, ale i jeho tloušťkou, měrným odporem a kmitočtem magnetování.

Příklad hysterezní smyčky je na obr. 1.

Magneticky tvrdé materiály (trvalé magnety) mají hysterezní smyčku s velkou plochou, magneticky měkké materiály (např. pro jádra síťových transformátorů) mají hysterezní smyčku úzkou a strmou.

Křivka první magnetizace je magnetovací křivka materiálu, který byl předem dokonale odmagnetován, je-li



Obr. 1. Hysterezní smyčka feromagnetického materiálu.  
A - křivka první magnetizace,  $B_s$  - indukce nasycení,  $H_c$  - koercitivní síla,  $B_r$  - remanence

magnetován plynule se zvětšujícím polem od nuly do nasycení.

Indukce nasycení  $B_s$  je pořadnice bodu na křivce první magnetizace při takové intenzitě magnetického pole, při níž jsou hysterezní smyčky pro libovolné  $H$  (větší než  $H_s$ ) totožné.

Koercitivní síla  $H_c$  je dána úsečkou průsečíku maximální hysterezní smyčky s osou  $H$ .

Remanence, zbytková indukce  $B_r$  je dána pořadnicí průsečíku maximální hysterezní smyčky s osou  $B$ .

**Činitel jakosti  $Q$**  cívky s magnetickým jádrem je poměr reaktance cívky k celkovému ztrátovému odporu cívky.

**Měrný ztrátový výkon  $p_x$**  v magnetickém materiálu vzniká střídavým přemagnetováváním 1 kg materiálu při určité indukci a kmitočtu. Jako měrný ztrátový výkon  $p_1$  se uvádí měrný ztrátový výkon materiálu, magnetovaného proudem o kmitočtu 50 Hz při sinusovém průběhu magnetické indukce o maximální velikosti 1 T.

**Magnetický obvod transformátorů a cívek. Vliv mezery**

Magnetický obvod transformátorů a cívek je těleso, nazývané jádrem, které magnetickému indukčnímu toku určuje cestu. Součástí magnetického obvodu jsou i mezery napříč indukčnímu toku, ať záměrně vytvořené nebo způsobené technologií výroby nebo i cesty, kterými se uzavírá indukční tok mimo žádané těleso, a které jsou s některými jeho částmi paralelní. **Magnetický obvod**, u něhož je cesta, kterou se má indukční tok uzavírat, přesně vymezena jeho konstrukcí, se nazývá **uzavřený**. Do takových nalezejí i ty, které obsahují mezery vzniklé skládáním magnetického obvodu natupo. Jádra cívek sdělovacích zařízení, filtračních tlumiček a regulátorů mají záměrně zaváděnou mezera. Délka mezery však nepřesahuje několik procent z celkové délky magnetického siločáry.

Takové obvody jsou **polootevřené** a lze je ještě navrhovat početně. Je-li mezera v magnetickém obvodu velká, ztrácí se přesnost představy o cestě magnetického toku. Takový magnetický obvod je **otevřený**. Takový obvod mají např. cívky sdělovací techniky, u nichž je magnetický obvod tvořen tyčovým jádrem.

Jsou-li průrezy magnetického obvodu všude shodné, jde o obvod homogenní (přestože pro odlišnost délky magnetické silové čáry vnější a vnitřní není magnetická indukce nikdy homogeně rozložena v celém průrezu jádra). Nehomogenní magnetický obvod se v oblastech malých magnetických indukcí, při nichž je permeabilita materiálů téměř stálá, nezávislá na magnetické indukci, pokládá z hlediska závislosti  $B$  na  $H$  za magnetický lineární prostředí. Není-li permeabilita stálá, především vlivem větších a různých magnetických indukcí v různých průrezech obvodu, je magnetický obvod nelineární.

Významným přínosem uměle zaváděné mezery je linearizování křivek magnetování, které se projevuje zmenšením nelineárního zkreslení napěti a proudu na transformátorech a cívách, zvětšením časové a teplotní stálosti a zmenšením ztrát v jádru. To je přínosem především u cívek filtrů. K výpočtu permeability jádra s mezou se používá přibližný vztah

$$\mu_e = \mu / \{1 + \mu(I_m / I_s)\},$$

kde  $I_m / I_s$  je relativní délka mezery,  $I_m$  je skutečná „geometrická“ mezera,  $I_s$  je stř. délka magnetického siločáry.

Mezera v magnetickém obvodu transformátoru je jeho neoddělitelnou částí. Vyskytuje se u jader skládaných z transformátorových plechů tvaru jak M, tak EI, neboť kdyby nebyl přerušen magnetický obvod těchto plechů, nebylo by možné vkládat je do navinutého cívkového tělesa.

Zřejmější je tato mezera u obvodů, složených z feritových jader E, jader U nebo i vinutých jader C, neboť u nich není mezera překládána tak, jak je tomu u obvodu, složeného z plechů, u něhož je mezera způsobená jedním plechem překryta sousedními plechy. Mezery v těchto magnetických obvodech se nahrazují tzv. ekvivalentní mezerou  $l'_m$ , kterou se vyjádřuje zvětšení magnetického odporu jednotlivými mezerami jedinou soustředěnou myšlenou mezerou  $l'_m$ . Tač zvětšený odpor vinutých toroidních jader způsobený tím, že indukční tok z jednoho závitu vinutého jádra přechází přes izolační mezera do druhého závitu, lze vyjádřit ekvivalentní (v tomto případě nežádanou) mezrou.

Vliv relativní délky mezery  $l_m / l_s$  na změnu permeability jádra je na obr. 2.

Indukčnost  $L$  cívky s  $N$  závitů s homogenním magnetickým obvodem o průřezu  $S_e$  s ekvivalentní relativní délkou mezery  $l_m / l_s$  je

$$L = \mu_0 \mu_e (S_e / l_s) N^2.$$

Vlivem mezery se indukčnost vždy zmenší proti indukčnosti, jakou bychom očekávali, kdyby obvod nebyl mezerou přerušen. Výsledná indukčnost  $L_e$  cívky s takovým obvodem se rovná vlastně součtu indukčností  $L_j + L_m$  dvou paralelně zapojených cívek, z nichž jedna má obvod tvořen magnetickým materiélem a druhá samotnou mezrou.

$$1/L_e = (1/L_j) + (1/L_m).$$

Cím větší je mezera, tím menší je indukčnost  $L_m$  a tím více se ve výsledné indukčnosti uplatňuje vliv indukčnosti, která je tvořena lineárním prostředím mezery.

Tohoto jevu se využívá pro omezení ztrát, pro omezení rozptýlu v magnetických vlastnostech jader, pro omezení zkreslení, vlivu předmagnetování a teplotní závislosti permeability. Protože výsledný účinek mezery nezávisí na její absolutní velikosti, ale na její poměrné délce vzhledem k celkové délce magnetické siločary, je její účinek větší u miniaturních typů ja-

der, neboť jak velké, tak malé plechy (popř. části jader) lze k sobě v praxi přiložit se shodnou minimální mezrou. Mezera u dokonale zabroušených jader, např. u jader C a feritových jader (tj. mezera, vytvořená tupým stykem dvou těles) je přibližně 0,001 mm, u hůře zabroušených je několikrát větší. U dobře střídavě složených jader z plechů EI (popř. EB) je výsledná mezera rovná ekvivalentní mezere o velikosti asi 2 μm. Tato mezera je však značně závislá na pečlivosti složení a na tloušťce izolace plechu. Složí-li se však výseky souhlasně, je výsledná ekvivalentní mezera 0,1 mm. Zabroušením lze mezera zúžit až na velikost mezer u jader C. U transformátorových jader, která jsou skládána z plechů s mezrou, nelze přesně odhadnout velikost náhradní mezery, neboť se velmi rušivě projevuje nepravidelnost ve skládání plechů. Vliv nepravidelného skládání plechů tvaru M a EI s mezrou na výslednou náhradní mezera je zřejmý z obr. 3. Permalloyové transformátorové plechy tvaru M jsou vyráběny jen s mezerou. Při střídavém skládání plechů do cívkového těleska se vliv překládané mezery při malých polích projeví jen nepatrným zvětšením magnetického odporu jádra vzhledem k odporu jádra bez mezery. Zato však při větších intenzitách magnetického pole může být zeslabený průřez magnetického obvodu v překládaných mezerách přesycován, čímž se dále zvětší magnetický odpor jádra. Při velkém sycení magnetického obvodu je v místě překládaných mezer obvod přesycen, takže tyto překládané mezery působí již jako mezery skutečné. Překládané mezery jsou proto škodlivé především u jader hodně sycených. Překládaná mezera jader síťových transformátorů se projevuje zaoblením a prodloužením hysterezní smyčky a tím i zvětšením magnetovacího proudu. K dosažení zvláštního průběhu magnetovací křivky nebo permeability (např. k dosažení teplotní kompenzace induk-

nosti) se používají i skládané toroidy z různých materiálů.

### Náhradní schéma transformátoru

Cinnost transformátoru je založena na magnetické indukci. Pro odvození náhradního schématu transformátoru předpokládejme zatím, že je jeho provedení dokonalé. Dokonalý je takový transformátor, u něhož je magnetický indukční tok vybuzený vstupním vinutím o  $N_1$  závitech společný s výstupním vinutím, které má  $N_2$  závitů. Impedance obou vinutí jsou koničné a transformátor je bezeztrátový. Výsledkem vazby obou vinuti je vznik napětí na výstupním vinutí. Pro okamžité velikosti napětí  $u_2$  na výstupním vinutí a při indukčním toku  $\Phi$  v jádru transformátoru je

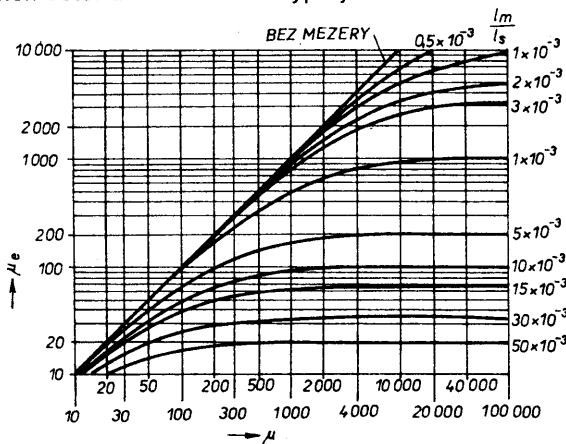
$$u_2 = -N_2 \frac{d\Phi}{dt}$$

Indukční tok je vyvolán magnetovacím proudem o okamžité velikosti  $i_j$ . Magnetovací proud je odebírána ze zdroje, ke kterému je vstupní vinutí transformátoru připojeno. Smysl indukovaného napěti odpovídá Lenziemu zákonu: Proud, buzený indukovaným napětím, má takový smysl, aby magnetickým polem, které vyvolává, působil proti změnám indukčního toku, který indukované napěti vyvolal.

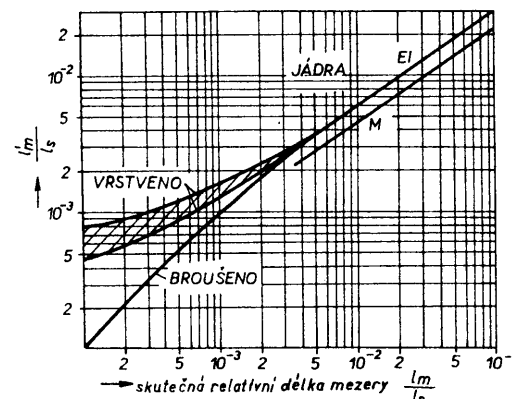
U skutečných transformátorů je magnetovací proud  $i_j$  doprovázen ztrátovou složkou  $i_w$ . Vzhledem k indukovanému napěti je proud  $i_j$  ve fázi s magnetickým tokem, tj. je zpozděn o  $\pi/2$  za indukovaným napětím a proud  $i_w$  je ve fázi s indukovaným napětím. Ztráty vznikají vždy přemagnetováním magnetických materiálů - zatímco proudy  $i_j$  a  $i_w$  jsou přibližně stejného rádu, je výsledný proud  $i_m$  u transformátorů síťových i sdělovacích rádu  $10^{-1}$  až  $10^{-4}$  proudu  $i_1$ , tj. proudu, protékajícího primárním vinutím zatíženého transformátoru..

Má-li napěti, které je připojeno na primární vinutí, harmonický průběh

$$u_1 = \sqrt{2} U_1 \sin \omega t,$$



Obr. 2. Vliv relativní délky mezery na změnu permeability jádra



Obr. 3. Vliv skládání transformátorových plechů tvaru M a EI s mezerou na výslednou náhradní relativní délku  $l'_m / l_s$

je maximální velikost indukčního toku (z indukční rovnice)

$$\Phi = (1/N_1 \omega) \sqrt{2} U_1.$$

Úpravou této rovnice se získá základní rovnice pro výpočet transformátorů, která určuje pracovní stav magnetického materiálu, tj. vztah mezi efektivní hodnotou budicího napětí  $U_1$  a maximální hodnotou indukčního toku  $\Phi$

$$U_1 = (2\pi/\sqrt{2})fN_1 \Phi = 4,44fN_1 S_1 B.$$

Podobně pro výstupní napětí je

$$U_2 = 4,44fN_2 S_2 B.$$

Průřez  $S_1$  je nejmenším průřezem v magnetickém obvodu transformátoru, v němž magnetická indukce dosahuje největší a při tom takové velikosti, která by podle volby magnetického materiálu neměla být překročena.

Vzájemným vydělením uvedených vztahů se získá tzv. převod  $n$

$$n = U_1 / U_2 = N_1 / N_2.$$

U silových transformátorů je převod definován jako poměr vstupního napětí  $U_1$  k napětí na nezatíženém výstupním vinutí, které se označuje jako napětí naprázdno,  $U_{20}$

$$n = U_1 / U_{20}.$$

Integruje-li se ustálený průběh výstupního napětí, zjistí se, že střední hodnota napětí za jednu periodu indukčního toku je nulová - transformátor nepřenáší stejnosměrný proud. Integruje-li se výstupní napětí harmonického průběhu s dobou periody  $T/2$ , zjistí se, že střední hodnota napětí na výstupním vinutí je

$$U_{20} = (4/T)N_2 \Phi.$$

V elektrotechnice jsou však zavedeny efektivní hodnoty napětí a proudu. Prostřednictvím činitele tvaru křivky

$$K_t = U / U_s$$

lze střední hodnotu napětí převést na efektivní

$$U_2 = K_t (4/T)N_2 \Phi,$$

a vzhledem k tomu, že činitel tvaru  $K_t$  je pro harmonické průběhy roven  $1,1107 (\pi/2\sqrt{2})$ , dostáváme se k již uvedenému vztahu

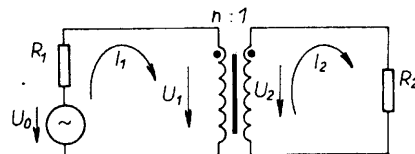
$$U_2 = 4,44fN_2 SB.$$

Při chodu transformátoru naprázdno je magnetický indukční tok vyvolán celkovým magnetickým napětím (ampérzaváty)  $I_1 N_1$ . Při zatížení výstup-

ního vinutí začne vinutím protékat proud  $I_2$ , který rovněž přispěje k magnetickému napětí a to součinem  $I_2 N_2$ . Podle Lencova zákona tato část napětí vyvolá takové zvětšení proudu v primárním vinutí, aby se účinek sekundárních závitů kompenzoval. Tím se zachová magnetický indukční tok o takové velikosti, jaká byla při chodu transformátoru naprázdno. Bude-li mít transformátor  $k$  zatížených vinutí, budou primární ampérzaváty vždy kompenzovat ampérzaváty ostatních vinutí (zvětší se odpovídajícím způsobem proud  $I_1$ )

$$N_1 I_1 = \sum N_k I_k.$$

Budou-li závity vstupního a výstupního vinutí vinuty v témže smyslu, bude správný fyzikální smysl proudů podle obr. 4. Začátky vinutí jsou označeny tečkou.



Obr. 4. Zapojení transformátoru se dvěma vinutími pro sestavení jeho náhradního schématu.  $R_1$  je vnitřní odpor zdroje napětí,  $n$  je převod transformátoru a  $R_2$  činný odpor spotřebiče

Protože u transformátorů prochází vinutími na společném jádru stejný indukční tok

- mají napětí indukovaná ve vinutí stejný tvar,
- závisí polarita indukovaných napětí (zjištovaná např. vzhledem k začátkům vinutí) na smyslu vinutí,
- jádro je magnetováno takovým celkovým magnetickým napětím, které je vektorovým součtem magnetických napětí jednotlivých vinutí.

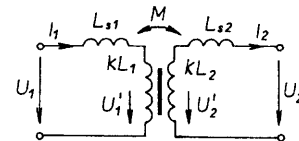
Indukční tok nemění nikdy svoji velikost skokem - nové velikosti dosahuje pouze zvětšováním nebo zmenšováním z výchozí velikosti. Ani magnetovací proud nemění svoji velikost skokem, pouze přechází z jedné velikosti na jinou.

Od transformátoru žádáme dvě základní vlastnosti, nezávislé na kmotku:

- aby primární napětí bylo  $n$  násobkem napětí sekundárního,
- aby sekundární proud byl  $n$  násobkem proudu primárního.

Číslo  $n$  je reálné číslo a označuje převod transformátoru.

**Převod** může být kladný nebo záporný podle zapojení svorek. Jako primární se označují svorky vstupní, jimiž je transformátor připojen na zdroj



Obr. 5. Rozptylová indukčnost transformátoru

napětí, na sekundární svorky se připojují spotřebiče.

Tyto dvě uvedené vlastnosti splňuje v rozsahu kmitočtů od blízkých nule do nekonečného jen ideální transformátor, u něhož se předpokládají i nekonečně velké impedance vinutí při zachování poměru jejich indukčností, ideálně těsná vazba a nulové ztráty. Tato představa je samozřejmě příliš vzdálena od skutečnosti, proto se někdy používá představa dokonalého transformátoru, který má sice konečné velikosti indukčností, ale s ideálně těsnou vazbou a nulové ztráty. U sdělovacích transformátorů se náhradní schéma obvykle skládá z ideálního transformátoru, k němuž se připojují ostatní obvodové prvky tak, aby se dosáhlo vlastností skutečného transformátoru. U silových transformátorů se schéma s ideálním transformátorem nepoužívá.

U skutečného transformátoru se dále uplatňuje konečná vodivost jeho magnetického obvodu. Magnetický indukční tok není soustředěn pouze do magnetického obvodu, společně jak primárnímu, tak sekundárnímu vinutí, jeho část se uzavírá ještě i magneticky méně vodivou cestou - vzduchem. Tím se stane, že z celého indukčního toku, buzeného primárním vinutím, prochází sekundárními závity pouze jeho část. Vzniká tak rozptylový indukční tok, který způsobuje rozptylovou indukčnost transformátoru. Mezi primárním a sekundárním vinutím transformátoru není tedy těsná vazba, ta je pouze mezi jejich částmi  $k_1 L_1$  a  $k_2 L_2$ , které se označují jako hlavní indukčnosti vinutí.

Přenos napětí a proudu mezi primární a sekundární stranou transformátoru uskutečňuje vzájemná indukčnost  $M$  (obr. 5), která je stejná, ať je transformátor napájen z jedné nebo z druhé strany. Vzájemnou indukčnost lze určit z indukčnosti sekundárního a primárního vinutí při znalosti  $k$

$$M = \sqrt{k_1 k_2} \cdot \sqrt{L_1 L_2} = k \sqrt{L_1 L_2}.$$

**Činitelé vazby**  $k_1$  primárního vinutí a  $k_2$  sekundárního vinutí se mohou lišit, protože je však cílem dosáhnout co nejtěsnější vazby, bývají v praxi shodné, i když ne vždy, neboť na odlišnosti jejich velikostí jsou založeny

některé aplikace, např. transformátory se dvěma jádry.

Pro převod napětí z  $U_1$  na  $U_2$  platí (z obr. 5)

$$U'_1/U'_2 = M/(L_2 - L_{s2}) = \sqrt{k_1 L_1} / \sqrt{k_2 L_2},$$

pro činitele vazby  $k_1 = k_2$  a bezeztrátový transformátor bude

$$U_1/U_2 = U'_1/U'_2 = \sqrt{L_1/L_2} = n.$$

Tato rovnice se používá pro definici převodu skutečného sdělovacího transformátoru.

Protože indukčnost vinutí je úměrná druhé mocnině závitů, je převod rovněž určen poměrem počtu závitů primárního a sekundárního vinutí

$$n = N_1/N_2.$$

Každý závit vinutí, má-li se uplatnit, musí zcela obepínat jádro, kterým prochází indukční tok (obr. 6). Snaha vyvést polovinu závitu podle obr. 6b se nemůže setkat s úspěchem, neboť vzniklou smyčkou neprochází indukční tok jádra, ale pouze malá část rozptylového indukčního toku, který se šíří vinutím podél jádra. Mají-li např. krajní sloupky jádra E poloviční průřez sloupku prostředního (obr. 6c), pak lze navinout 1,5 závitu uvedeným způsobem, který se někdy používá u transformátorů pro měřicí účely (při snaze o přesný převod). Transformátory s hřničkovými jádry se čtyřmi vývodními otvory umožňují odstupňovat převod po čtvrtině závitu (obr. 6d).

U skutečných transformátorů se činitel vazby  $k$  pohybuje v mezích 0,98 až 1, obtížně se s ním počítá. Proto byl zaveden tzv. činitel rozptylu  $\sigma$ , který je i snadněji měřitelný. Je definován takto

$$\sigma = 1 - k^2.$$

Celkovou rozptylovou indukčnost lze měřit celkem jednoduše: její velikost, jak se jeví z pohledu jednoho z vinutí, se změří jako indukčnost tohoto vinutí při zkratování vinutí druhého. Při použití posledně uvedeného vztahu lze vyjádřit rozptylovou indukčnost velikostí indukčnosti primárního vinutí a činitelem rozptylu

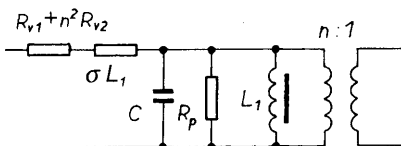
$$L_{s1} = L_1(1 - \sqrt{1 - \sigma}),$$

protože je výraz pod odmocninou velmi blízký jedné (nepřesahuje několik setin), udělá se zcela zanedbatelná chyba, napišme-li se  $\sqrt{1 - \sigma} = 1 - (\sigma/2)$ . Dosadí-li tento výraz do předchozí

rovnice, získá se vztah pro velikost rozptylové indukčnosti

$$L_{s1} = 1/2 \sigma L_1, \text{ popř. } L_{s2} = 1/2 \sigma L_2.$$

Aby se náhradní schéma transformátoru (vycházející z obr. 4) co nejvíce přibližovalo fyzikálnímu skutečnostem, doplňují se do náhradního schématu ideálního transformátoru odpory vinutí  $R_{v1}$  a  $R_{v2}$ , náhradní kapacita vinutí  $C$  a ztrátový odpor  $R_p$ , způsobený ztrátami v jádru transformátoru (obr. 7).



Obr. 7. Náhradní schéma sdělovacího transformátoru

U těch zapojení, v nichž je transformátor napojen ze zdroje o malém vnitřním odporu tak, že se může provést vliv sériové rezonance, která je tvořena rozptylovou indukčností a vlastní kapacitou vinutí, připojuje se tato kapacita k hlavní indukčnosti vinutí. Pro transformátory, které jsou napájeny ze zdroje o velkém vnitřním odporu, u nichž se vliv sériové rezonance neprojeví, vliv vlastní kapacity je takový, jako by působila na vstupních svorkách transformátoru (její velikost však bude jiná, budeme-li si ji myslit soustředěnou na primárním, nebo na sekundárním vinutí. Poměr těchto kapacit bude  $1/n^2$ ). Vzájemná kapacita primárního a sekundárního vinutí, která se v praxi v činnosti transformátorů projevuje, je menší než její statická velikost, tj. kapacita, která byla změřena mezi primárním a sekundárním vinutím. Zahrnuje se rovněž do náhradní kapacity. Ztrátový odpor, způsobený ztrátami magnetického obvodu, uvažujeme paralelně k hlavní indukčnosti vinutí.

I toto náhradní schéma transformátoru však nevyjadřuje věrně chování transformátoru v celém rozsahu kmitočtů. U skutečného transformátoru jsou např. vyjádřeny i jiné parazitní rezonance, než jaké vyplývají z náhradního schématu, které vyhovuje praktickému použití do první sériové rezonance. Náhradní schéma však vy-

hovuje praktickému použití, neboť kmitočet první sériové rezonance omezuje v praxi přenos transformátoru.

Převod síťového transformátoru se určí z poměru napětí, odpory vinutí  $R_{v1}$ ,  $R_{v2}$  změřením stejnosměrných odporů vinutí. Celková rozptylová indukčnost se zjistí ze změřené impedance  $Z_k$  transformátoru nakrátko při malém napájecím napětí:

$$Z_k = \sqrt{(R_{v1} + n^2 R_{v2})^2 + (\omega \sigma L)^2}.$$

Ztrátový odpor  $R_p$  se zjistí měřením ztrátového výkonu  $P_v$  v jádru při chodu transformátoru naprázdno při jmenovitém napětí  $U_1$ , nebo výpočtem z měrného ztrátového výkonu a hmotnosti jádra

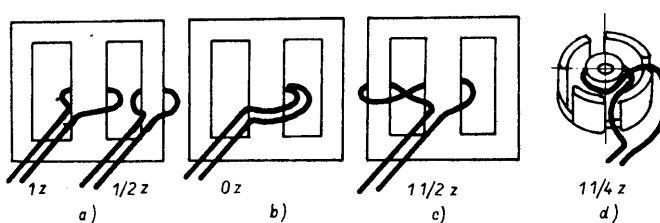
$$R_p = U_1^2/P_v.$$

### Vliv magnetického materiálu na vlastnosti síťového transformátoru

V rozvodné sítí elektrického nízkého napětí byl transformátor použit prvně r. 1883. Jádrem byl toroid, vyrobený svinutím železného izolovaného drátu. Transformátor s magnetickým obvodem, který byl složen z podobných výseků, jaké se používají dnes, byl použit až v roce 1894. Od té doby se pouze vylepšují technologie výroby a především vlastnosti magnetických materiálů pro jádra, princip však zůstává týž. Podstatné je, že poměrné ztrátové výkony vztažené na 1 kg hmoty jádra se od té doby zmenšily desetkrát a pracovní magnetická indukce v jádru se zvětšila téměř dvakrát - a co je hlavní, bylo dosaženo stabilních magnetických vlastností jáder bez projevů stárnutí. Stárnutí se u transformátorů např. velkých výkonů projevovalo nepřípustným zvětšením ztrátového výkonu jádra, jeho oteplováním, dalším zmenšováním účinnosti a posléze havárií transformátoru. Dnes mají transformátory dosud největších výkonů téměř 1 GVA poměrně ztrátové výkony řádu  $10^{-4}$ .

Síťové transformátory malých výkonů, jednofázové nebo třífázové, jsou výlučně napájeny z rozvodné sítě napětím kmitočtu 50 (60) Hz. Rozvodná síť je pro transformátory i spotřebiče zdrojem o vnitřním odporu jen několik desetin ohmu, má přípustné kolísání jmenovitého napětí  $\pm 10\%$  a kmitočtu  $\pm 1\%$ . Norma ČSN 35 125 označuje tyto transformátory jako síťové napájecí transformátory. Zahrnuje výkony do 6,3 kVA. Většinou slouží k úpravě napětí, u jednofázových z napětí, které nesmí překročit 250 V, u třífázových 433 V.

Transformátory malých výkonů se zhotovují buď z normalizovaných ja-



Obr. 6. Vytvoření jednoho, poloviny a čtvrtiny závitu

der s typizovanými výstrojnými prvky nebo z jader, na která jsou mezi výrobcem a spotřebitelem sjednány technické přejímací podmínky.

S typizovanými transformátory podle druhu normalizovaných jader lze přenášet výkony několik set wattů, nejvýše několik kilowattů. Pro vyplňení rozsahu výkonů, které omezuje uvedená norma pro síťové transformátory, se individuálně konstruují transformátory, jejichž jádra jsou složena z pruhů pásu, které jsou vystříhaný z tabulí plechu.

Cítniteli, kteří omezují rozměry a hmotnost transformátorů, majících přenášet požadovaný výkon, je teplota okolí, v níž transformátor pracuje, a teplo, vznikající jeho činnosti. Teplo všeobecně způsobuje změnu magnetických vlastností jádra transformátoru a ohrožuje elektrické izolace vinutí. Zvětšování přípustného oteplení má za následek i větší nároky na izolaci a tím i cenu transformátoru. Maximální teplota vinutí v jádře transformátoru, která odpovídá teplotní třídě, pro níž byl transformátor vyroben, nesmí být překročena, má-li být provoz transformátoru dlouhodobě spolehlivý.

Z hlediska klimatické odolnosti podle normy ČSN 35 8031 musí vyhovovat této zkouškám: zkoušce mrazem SA7, suchým teplem SB8, vlhkým teplem - necyklickou zkouškou SC6. Tím má odpovídat např. kategorie 20/105/21 (min. záporná teplota/max. kladná teplota/počet dnů při teplotě 40 °C ve vzduchu o 90 % relativní vlhkosti). Z hlediska mechanické odolnosti - zaručení pracovních vlastností transformátoru po transportu zařízení (nebo zvláště u transportních zařízení vůbec) se transformátory zkouší rázy (např. zkouškou SE4) a chvěním (např. SF6) - ČSN 34 5681. Konstrukce transformátoru musí brát i ohled na bezpečnost jeho provozu před nebezpečným dotykem, vnikáním vody (přichází-li do úvahy), vnikáním cizích těles apod. Bezpečnostní třída transformátoru předepisuje minimální zkušební napětí mezi „živými“ svorkami vinutí transformátoru a určuje povrchovou vzdálenost mezi nimi a ostatními jeho kovovými částmi. Izolační třídy rozdělují transformátory na typy s běžnou izolací mezi primárním a sekundárním vinutím, se zesílenou izolací nebo s dvojitou izolací. Posledně jmenované třídy používají ochranný vodič. Bez ochranného vodiče musí být transformátor uzavřen v izolačním krytu, jehož provedení zabrání vnikání cizích předmětů vody. Tento konstrukční ohled nesmí být přehlédnut u izolačních transformátorů, domácích spotřebičů, ručního náradí apod. (ČSN 35 1330, 35 2335). Transformátory nesmí hlučet.

Nejedná-li se o transformátory se zvláštními nároky na určité vlastnosti, je volba materiálu jádra a provedení vinutí záležitostí ekonomickou. Nejrozšířenější jsou transformátory s plechy EI. U těch je náklad na jádro asi 15 % z ceny transformátoru. Vezmou-li se za základ ceny plechů EI za 1 kg, potom průměrné ceny jader z plechů M jsou asi 1,5krát vyšší, 2krát vyšší pro toroidy z oceli Fe-Si, 5krát vyšší pro jádra C a Q, 10krát vyšší pro toroidní jádra z permalloyů a 20krát vyšší pro jádra z permalloyových plechů M. Pro tenčí plechy se tyto rozdíly ještě dále zvětšují. Pro zajímavost - poměr mezd k ceně transformátorů v tepelné třídě A s plechy EI bývá 1:2, pro jádra C je však pro velká jádra 1:3 a malá jádra 1:4. U transformátorů v tepelné třídě B se tento poměr dále zvětšuje a to 1,5 až 2krát. Pro tuž tepelnou třídu jsou navíc třeba jiné, dražší izolační materiály.

Jádra síťových transformátorů jsou magneticky sycena tak, že se výrazně uplatňuje nelineární vztah mezi  $B$  a  $H$ . Nemůže být proto při chodu transformátoru naprázdno - není-li zatízen - při harmonickém průběhu indukce i harmonický průběh magnetovacího proudu. Průběh magnetické indukce u transformátorů s výkonem větším než několik set VA, které mají malý odpor vinutí, kopíruje až na fázový posuv průběh síťového napětí, které mívala zkreslení několik procent. Magnetovací proud se uvádí jako efektivní hodnota a příslušné magnetické pole v jádru se uvádí rovněž v efektivní hodnotě

$$H_{\text{ef}} = NI_m / I_s$$

Někdy se magnetovací křivky, které se používají pro návrh transformátorů, uvádějí v závislosti na vrcholové hodnotě magnetovacího proudu

$$H = (NI_{m \max} / I_s) = (K_v NI_m / I_s)$$

kde  $K_v$  je činitel výkyvu proudu..

Výkon přenesený transformátorem je omezen příslušným oteplením vinutí a jádra. Přípustné oteplení je závislé na izolaci vodičů, izolaci plechů, materiálu cívkového těliska, vlastnostech impregnační hmoty a na magnetickém materiálu jádra. Při maximálně přípustné teplotě okolo 40 °C, na níž se transformátory obvykle konstruují pro jmenovité zatízení, je přípustné oteplení pro různé tepelné třídy v tab. 1. Oteplení vinutí se zjišťuje ze změny odporu vinutí, oteplení jádra se zjišťuje termoelektrickým článkem. Pracuje-li potom transformátor při teplotě okolo vyšší než 40 °C, musí se jeho předávaný výkon zmenšit, aby nebyla překročena přípustná maximální teplota. Naproti tomu je při nižší teplotě okolo možný výkon předávaný transformátorem zvětšit. Údaje o vlivu teploty okoli na odebíraný výkon jsou v tab. 2 (str. 49).

Oteplení vinutí přímo souvisí s proudovou hustotou ve vodiči. S ohledem na nejmenší ztrátový výkon ve vinutí má být průřez primárního vinutí stejný jako součet průřezů ostatních vinutí.

Pro primární vinutí je potom

$$a_v (S_v / 2) = N_i d^2,$$

kde  $a_v$  je činitel vinutí, který zahrnuje izolaci vodičů i nepravidelnost vinutí,

$S_v$  celková plocha okénka pro vinutí, tj. okénko, které je určeno z geometrických rozměrů cívkového těliska, zmenšené o plochu izolačních prokladů vrstev, vzájemné izolace vinutí, obalu vinutí, popř. stínící fólie a

d čistý průměr vinutí.

Proud v primárním vinutí závisí na proudové hustotě  $\sigma$

$$I_1 = (\pi d^2 / 4) \sigma$$

při použití předchozího vztahu lze vztah pro  $I_1$  upravit na

$$I_1 = \pi / 8 \cdot (\sigma a_v S_v / N_1)$$

S použitím tzv. transformátorové rovnice je zdánlivý výkon transformátoru

$$U_1 I_1 = (4,44 S_v B_f) (\pi / 8) (\sigma a_v S_v) = K S_v S_v [-; \text{m}^4]$$

Všichni činitelé kromě  $S_v$  a  $S_v$  jsou zahrnuti do konstanty  $K$ .

Typový výkon transformátoru se zvětšuje se čtvrtou mocninou jeho lineárních rozměrů - při zachování všech ostatních činitelů. Transformátor s dvojnásobným délkovým rozměrem přenáší tedy 16krát větší výkon.

Typový výkon transformátoru souvisí přímo s výkonem, který chceme přenést do spotřebiče, v mnohých případech však s ním není totožný. Např. typový výkon transformátoru pro jednocestný usměrňovač musí být 3,14krát větší než „usměrněný“ výkon, pro jednofázový dvoucestný 1,57krát větší a pro jednofázový můstkový 1,11krát větší. Tento typový výkon musí však být zvětšen ještě o ztrátový výkon v transformátoru a v usměrňovači.

V tab. 3 jsou i orientační velikosti proudové hustoty, používané pro vodiče u transformátorů tepelné třídy A. V též tabulce je i orientační velikost účinnosti transformátorů, dosahovaná s běžnými jádry. Údaje odpovídají hospodárnému využití materiálů: jsou získány z přípustné velikosti magnetické indukce a z přípustného oteplení vinutí. Uvedenou účinnost lze zlepšit pouze při zvýšení nákladů na výrobu, např. při zvětšení rozměrů tím, že se zmenší indukce a proudová hustota. Nejde o žádné fyzikální omezení, pouze o omezení ekonomická.

Napájecí transformátory musí pracovat i při napětí, které se liší o 10 % od jmenovitého napětí sítě a při kmi-

Tab. 1. Tepelné třídy izolace

| Třída izolace | Maximální oteplení [°C] | Maximální teplota vinutí [°C] |
|---------------|-------------------------|-------------------------------|
| Y             | 45                      | 90                            |
| A             | 60                      | 105                           |
| E             | 75                      | 120                           |
| B             | 85                      | 130                           |
| F             | 100                     | 155                           |
| H             | 100                     | 180                           |
| C             | >100                    | >180                          |

Tab. 2. Koeficient pro zmenšení výkonu transformátoru, pracuje-li při teplotě okolí vyšší než 40 °C. Při teplotě nižší než 40 °C může být transformátor naopak zatížen výkonom větším (při teplotě okolí 25 °C může být výkon 1,14krát větší, než na jaký byl konstruován pro teplotu okolí 40 °C)

| Teplota okolí [°C] | Koeficient zmenšení výkonu |
|--------------------|----------------------------|
| 25                 | 1,14                       |
| 40                 | 1,00                       |
| 45                 | 0,93                       |
| 50                 | 0,87                       |
| 55                 | 0,80                       |
| 60                 | 0,73                       |
| 65                 | 0,67                       |
| 70                 | 0,60                       |

→točtu odchýleném o 1 % od jmenovitého sítového kmitočtu. Za uvedených podmínek neměla by být u jader z Trafokeru, Ortopermu a ocelí Eo překročena magnetická indukce 1,75 T, pro plechy z ocelí Ei 1,6 T a pro plechy Et 1,4 T.

Při zatížení transformátoru vlivem odporu vinutí a rozptylové indukčnosti se napětí zmenší o  $k_u$  % proti napětí naprázdno. Obvyklé velikosti  $k_u$ , které se vyskytují nejčastěji, jsou v tab. 3. Se zmenšením napětí se musí počítat již při výpočtu transformátoru při návrhu jeho vinutí. U zkratuvzdorných transformátorů, jejichž odolnost není podmíněna použitím jištění, je žádoucí, aby úbytek napětí při zkratu vzhledem ke jmenovitému napětí byl poměrně značný a to takový, aby se

napětí na hlavním vinutí zmenšilo tak, aby transformátor nebyl při zkraťtu přetízen. Poměrný úbytek napětí je uveden rovněž v tab. 3.

Účinnost transformátoru nepodmíněně zkratuvzdorného a vůči zkratu neodolného bývá přibližně táz. Úbyteku napětí na vinutí zkratuvzdorných transformátorů je dosahováno větší rozptylovou indukčností, která se získává příslušným usporádáním vinutí, např. jejich prostorovým oddělením tak, že se primární a sekundární vinutí navine odděleně na jednotlivé sloupky transformátoru potřebného tvaru.

Se zmenšujícími se rozměry jader se používá menší magnetická indukce (tab. 4). Tim se kompenzuje zvětšení magnetovacího proudu u transformátorů malých rozměrů. U rozměrově menších výseků se tim rovněž omezuje vliv deformace krajů výseku při lisování, která zhorší vlastnosti do vzdálenosti několika tloušťek plechů od střížné hrany a zvětší tím magnetovací proud. Činitel plnění by měl být uvažován v mezích podle druhu izolace plechů podle tab. 5. Činitel plnění je určen z geometrického průřezu, určuje se výpočtem, měřením, vážením při znalosti měrné hmoty jádra.

Velikost magnetovacího proudu - proud naprázdno - je-li přípustné velikosti, potvrzuje správnost návrhu, navinutí i sestavení transformátoru. Z magnetovací křivky materiálů jader pro zvolenou indukci se určí intenzita magnetického pole a z ní, z počtu závitů a střední délky magnetické siločáry magnetovací proud

$$I_m = (H_{e1} I_s) / N_1.$$

Magnetovací proud má složku jalovou a činnou. Činná složka magnetovacího proudu bývá obvykle 0,3 až 0,5 proudu jalového. U transformátorů velkých výkonů bývá magnetovací proud několik procent jmenovitého primárního proudu, u transformátorů pro stovky VA je asi 10 %, u ještě menších transformátorů bývá i několik desítek %. Magnetovací proud je při stejně magnetické indukci transformátoru závislý na materiálu jádra, na jeho tvaru a složení plechů. Se zvětšujícím se stahováním plechů já-

Tab. 4. Používané magnetické indukce. Transformátory chlazené přirozeným prouděním vzduchu

| Výkon transf. [VA]                      | Plechy Eo, jádra C [Π] | Plechy Ei [Π] | Plechy Et [Π] |
|---|------------------------|---------------|---------------|
| do 10                                   | 1,2                    | 1,0           | 0,8           |
| do 100                                  | 1,5                    | 1,2           | 1,2           |
| do 1000                                 | 1,7                    | 1,4           | 1,3           |
| do 6300<br>(zádaje ze střížných plechů) | 1,75                   | 1,5           | 1,4           |

Tab. 5. Činitel plnění pro některé druhy izolace a tloušťky plechů

| Izolace               | Tloušťka [mm] |      |                |      |      |
|-----------------------|---------------|------|----------------|------|------|
|                       | 0,5           | 0,35 | (0,32)<br>0,30 | 0,13 | 0,08 |
| papírová              | 0,85          |      |                |      |      |
| laková (vrstva 20 µm) | 0,92          |      |                |      |      |
| sulfisol              | 0,95          | 0,92 |                |      |      |
| keram.                | 0,92          |      |                |      |      |
| oxidová (zádaje C)    | 0,95          |      | 0,85           | 0,8  |      |

dra se magnetovací proud až do určité velikosti zmenšuje. Stahováním plechů se zmenšuje současně vliv mezer. Protichůdně však může zvětšení magnetovacího proudu způsobit vliv magnetostriktce plechů, projevující se tlakem, vznikajícím při stahování jádra.

Dosadí-li se za  $N_1$  z transformátorové rovnice do rovnice pro magnetovací proud, je

$$I_m = (H_{e1} I_s) / U_1 \cdot 4,44 S_b B_f \quad [-; m^3].$$

Magnetovací proud se u transformátoru při stejném napětí zvětšuje se třetí mocninou lineárních rozměrů transformátoru. Protože se výkon transformátoru zvětšuje se čtvrtou mocninou rozměrů, je poměrný magnetovací proud vztázený k výkonu transformátoru nepřímoúměrný lineárnímu roz-

Tab. 3. Některé údaje k návrhu transformátorů

| Výkon transformátoru [VA]             | 1 až 3     | 3 až 10    | 10 až 30   | 30 až 100  | 100 až 300  | 300 až 1000  | <1000 |
|---------------------------------------|------------|------------|------------|------------|-------------|--------------|-------|
| $\sigma$ [A/mm <sup>2</sup> ]         | 6,5 až 5,5 | 5,5 až 5,1 | 5,1 až 4,5 | 4,5 až 3,8 | 3,8 až 2,5  | 2,5 až 2,1   | 2     |
| $\eta$ [%]                            | 50 až 55   | 55 až 60   | 60 až 70   | 70 až 80   | 80 až 90    | 90 až 92     | 92    |
| $k_u$ [%]                             | 45 až 35   | 35 až 25   | 25 až 15   | 15 až 10   | 10 až 5     | 5 až 3       | 3     |
| $k_u$ [%] pro zkratuvzd. transf.      | 60         | 55         | 50         | 45         | 40          | 35           | 35    |
| Napětí naprázdno větší proti zatížení | 1,8 až 1,5 | 1,5 až 1,3 | 1,3 až 1,2 | 1,2 až 1,1 | 1,1 až 1,05 | 1,05 až 1,03 | 1,03  |

měru. U transformátorů s typovým výkonem menším než 1 VA je magnetovací proud téhož rádu jako proud jmenovitý. Při dimenzování vodiče primárního vinutí musí se v tomto případě magnetovací proud uvažovat, nebo je jej třeba zmenšit zmenšením magnetické indukce. Typový výkon transformátorů malých výkonů zjištěný z údajů primárního vinutí se z tohoto důvodu liší od údajů, zjištěných ze sekundárního vinutí (nebo sekundárních vinutí).

U transformátorů malých výkonů plechy, z nichž se skládá magnetický obvod, nebývají izolované, neboť se se zmenšujícími se rozměry zmenšuje i vliv ztrát v jádru. Na ztrátech transformátorů malých rozměrů se nerozezná ani vliv kvality použitých plechů, někdy výsledky měření bývají i opačné. Výseky plechů pro transformátory malých výkonů - do 100 VA nemusí být proto ani izolovány. Výsledné ztráty jsou ovlivněny technologií výroby výseků i stahováním jádra. Převažují však ztráty ve vinutí. U transformátorů velkých výkonů je tomu naopak. U transformátorů od jednotek kVA se úzkostlivě kontroluje izolace plechů. Odpor mezi plechem na 1 cm<sup>2</sup> plochy a vodivou destičkou přitlačenou silou 10 N musí být větší než 10 Ω. Nespolehlivost této izolační vrstvy může vést i k tepelnému zničení transformátoru.

Výkon ztracený hysterezními ztrátami na 1 kg jádra se vyjadřuje empiricky odvozeným vzorcem

$$p_h = K_h (f / 100) (B / 1,5)^x,$$

kde exponent bývá v rozmezí 1,5 až 2,8. Větší exponent odpovídá plechům spíše s pravoúhlým průběhem hysterezní smyčky. Obvykle se počítá s exponentem 2. Pro oceli Eo  $K_h = 1$  až 1,5.

Výkon ztracený vřívými proudy na 1 kg jádra se rovněž vyjadřuje empiricky odvozeným vztahem

$$p_w = K_w ((f / 100) (B / 1,5))^2 (K_v / 1,11)^2,$$

kde  $K_w$  bývá v rozmezí 1,5 až 2,  $K_v$  je činitel tvaru. Se zkreslením křivky napětí na transformátoru se zvětšují i ztráty vřívými proudy. Složka ztrát hysterezí není na průběhu křivky napětí závislá. Pro plechy Eo jsou ztráty vřívými proudy přibližně 25 % z celkových ztrát, pro plechy Ei o tloušťce 0,5 mm jsou 30 %.

Proto je možné pro odhad měrného ztrátorového výkonu použít vzorec, který slučuje obě jeho složky

$$p_v = p_{1,5} (B / 1,5)^2.$$

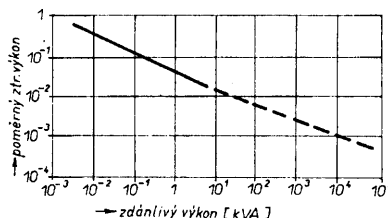
Protože se transformátory navrhují převážně pro síťový kmitočet 50 Hz, vyjadřují se ztráty v jádře ztrátorovým

číslem  $p_1, p_{1,5}, p_{1,7}$ , které udává ztráty vytážené na 1 kg plechu pro magnetickou indukci 1, 1,5 a 1,7 T při harmonickém průběhu magnetické indukce o kmitočtu 50 Hz. Použijí-li se některé z těchto údajů a je-li určena hmotnost jádra, výsledek se obvykle zvětšuje o 20 % (aby se kompenzovalo zvětšení ztrát vlivem výroby výstržků a sestavení jádra). U transformátorů velkých výkonů s plechy Eo10 sycenými na 1,6 T byly zjištěny ztráty v jádru při uvažování přidavných ztrát asi o 12 % větší, než jaké byly zjištěny uvedenými výpočty.

Vliv kmitočtu na ztrátorový výkon je znatelný - Eo10 s  $p_{1,5} = 1$  při 50 Hz má při 60 Hz  $p_{1,5} = 1,3$ .

Součet ztrátorových výkonů v jádru i ve vinutí, které transformátor s ohledem na svoji tepelnou třídu může odvést svým povrchem, je úměrný druhé mocnině lineárních rozměrů. Poměr ztrátorového výkonu a jmenovitého výkonu je proto nepřímoúměrný druhé mocnině lineárních rozměrů, proto přípustná proudová hustota ve vodiči vinutí se zmenšuje se zvětšující se velikostí transformátoru, aby se zmenšil ztrátorový výkon a aby tak nebyla překročena maximální přípustná teplota vinutí. Zmenšující se přípustný poměrný ztrátorový výkon se při zvětšujících se rozměrech transformátoru projeví na účinnosti transformátoru, která se při zvětšující se velikosti transformátoru zvětšuje.

Přibližný průběh poměrných celkových ztrát transformátorů, z nichž



Obr. 8. Poměrný ztrátorový výkon silových transformátorů

lze určit jejich účinnost, je na obr. 8. Z grafu je patrné, že síťové transformátory s výkonem menším než 10 VA jsou pro svoji malou účinnost nevýhodné pro miniaturizaci napájecích. Spínací zdroje a dvojčinná zapojení s kmitočtem desítek kHz, které tuto oblast vyplňují, v tomto směru podstatně zlepšují účinnost napájecích malých výkonů.

Ztrátorový výkon v jádru způsobený hysterezí a vřívými proudy je úměrný hmotnosti jádra. Zvětšuje se s třetí mocninou lineárních rozměrů. Ztrátorový výkon v jádru není závislý na výkonu transformátoru přenášeném, je stejný jak při chodu naprázdno, tak při zatížení. U transformátorů malých výkonů je ztrátorový výkon v jádru asi 1/10 celkových ztrát. Je-li možné ztráty v jádru proti ztrátám ve vinutí zanedbat, účinnost je na oteplení transformátoru nezávislá. Převládají-li

ztráty v jádru nad ztrátami ve vinutí, tak se oteplení se zvětšujícím se přenášeným výkonem v téhož transformátoru jen mírně zvětšuje a účinnost se rovněž mírně zvětšuje.

### Síťové transformátory s plechy M a E/I

Úkolem síťového transformátoru je přenáset co nejúčinněji i značné elektrické výkony. Magnetická indukce bývá velká, protože s jejím zvětšováním se zmenšují rozměry transformátoru a zvětšuje se přenášený výkon. Se zvětšující se magnetickou indukcí se však zvětšují i ztráty, které transformátory větších výkonů oteplují. Zdrojem tepla je i odpor vinutí. Udržet oteplení v přípustných mezích při současně co nejmenších rozměrech transformátoru při zadaném přenášeném výkonu je vlastním úkolem návrhu.

Připojením nezatiženého transformátoru na síť o harmonickém průběhu napětí prochází jeho vinutím magnetovací proud  $I_m$ , který nemá harmonický průběh. Harmonický průběh má však magnetický indukční tok, který je úměrný magnetické indukci v jádru transformátoru.

Pro názor je na obr. 9a znázorněn při harmonickém průběhu napětí průběh magnetovacího proudu v jádře, které je složeno z transformátorových plechů TN-1,6-0,35 pro  $B = 1,4$  T. Vzhledem k hysterezí jádra je magnetovací proud posunut vzhledem k indukčnímu toku tak, že jej předvíhá, což na obrázku pro zjednodušení není uvedeno. Maximální hodnota magnetovacího proudu je

$$I_{m \max} = H I_s / N_1,$$

kde  $H$  je maximální hodnota intenzity magnetického pole, náležející k indukci  $B$ .

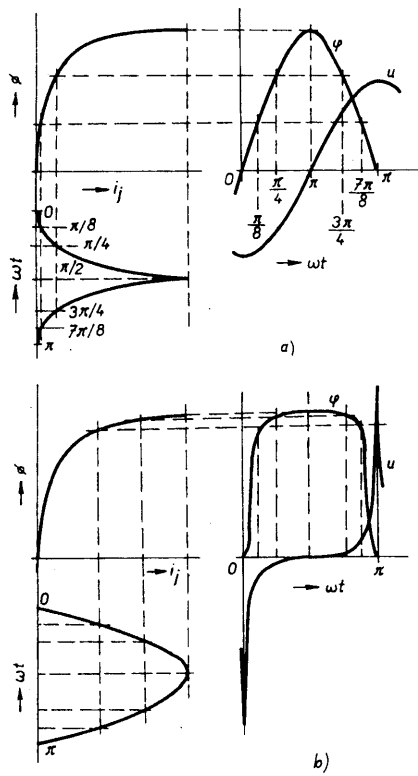
Efektivní hodnota magnetovacího proudu je závislá na činiteli výkyvu  $K_v$

$$I_m = (1 / K_v) (H I_s / N_1).$$

Jako příklad je uveden v tab. 6 činitel výkyvu  $K_v$  pro transformátorovou ocel TN-1,6-0,35 a Ei 55 (zjištěno na jádrech bez mezer).

Tab. 6. Činitel výkyvu pro transformátorovou ocel TN-1,6-0,35 a Ei 55-0,5. (Pro  $B$  menší než 0,6 T lze přibližně předpokládat, že  $B$  a  $H$  mají současně harmonický příhled protože  $K = 1,41$ )

| $B$ [T] | $K_v$       |           |
|---------|-------------|-----------|
|         | TN-1,6-0,35 | Ei 55-0,5 |
| 0,8     | 1,6         | 1,43      |
| 0,9     | 1,65        | 1,49      |
| 1,0     | 1,70        | 1,55      |
| 1,1     | 1,75        | 1,62      |
| 1,2     | 1,90        | 1,72      |
| 1,3     | 2,15        | 2,00      |
| 1,4     | 2,35        | 2,20      |
| 1,5     | -           | 2,35      |
| 1,6     | -           | 2,45      |



Obr. 9. Průběhy okamžitých hodnot indukčního toku a napětí, které jsou odvozené ze zjednodušeného průběhu magnetovací křivky, harmonický průběh a) magnetické indukce, b) magnetovacího proudu

Někdy se  $H$  na magnetovacích křivkách pro materiály napájecích transformátorů vyjadřuje v efektivních hodnotách, vždy proto musí být uvedeno, zda je velikost  $H$  určena stejnospěrným měřením, či zda se vztahuje k údajům, které byly zjištěny z efektivní nebo maximální hodnoty proudu.

Síťový transformátor bývá zadán napětím a kmitočtem sítě, na kterou je připojen, a zdánlivým výkonem, který transformátor má na sekundární straně odevzdat. Má-li transformátor několik výstupních vinutí, sečetly by se všechny dílčí výkony na jednotlivých jeho vinutích, aby se získal celkový výkon na sekundární straně.

Zdánlivý výkon  $P_{j_1}$  na primární straně transformátoru, zanedbají-li se ztráty transformátoru a magnetovací proud, je roven zdánlivému výkonu  $P_{j_2}$  na jeho sekundární straně a tím i přenášenému zdánlivému výkonu  $P_{j_1}$ . Tento zdánlivý výkon je

$$P_{j_1} = U_1 I_1.$$

Dosáhne-li transformátor zatížením při teplotě okolo  $40^{\circ}\text{C}$  ustálené teploty, která odpovídá jeho tepelné třídě, je zdánlivý výkon jeho typovým výkonem. Výkon, který transformátor dodává do zátěže, např. jako usměrněný proud při dosažení teploty odpovídající rovněž jeho tepelné třídě, je

jmenovitý výkon. Ten, jak bylo uvedeno, může být menší než jeho typový výkon. Přerušováním odběru, např. při svařování maximálním jmenovitým proudem, se ustálí teplota transformátoru na maximální přípustné velikosti, bude-li typový výkon transformátoru asi jen 0,6 maximálního jmenovitého svařovacího výkonu.

Dosadí-li se do posledně uvedeného vztahu za  $U_1$  výraz pro napětí z transformátorové rovnice a za  $I_1$  proud protékající vinutím, získá se vztah pro zdánlivý výkon transformátoru. Proud  $I_1$ , procházející vinutím, je omezen maximální přípustnou prouduhou hustotou ve vodiči vinutí o průřezu  $S_v/2 = S_{v1}$ , která je vymezena pro průřez primárního vinutí, a dále počtem závitů  $N_1$ .  $S_v$  je celková plocha, která je pro vinutí použitelná. Je-li dále činitel vinutí  $a_v$  a činitel plnění mědi  $f_{Cu}$ , je

$$I_1 = \sigma (\pi / 4) a_v (S_{v1} / N_1) = \sigma f_{Cu} (S_{v1} / N_1).$$

Dosadí-li se tento vztah za proud  $I_1$  do předchozí rovnice a za  $U_1$  napětí z transformátorové rovnice, získá se vztah mezi průřezem jádra, okénkem pro vinutí a přenášeným zdánlivým výkonem transformátoru

$$S_j S_{v1} = P_j / 4,44 \sigma f_{Cu} f B.$$

Proudová hustota se volí podle výkonu, závisí na tepelné třídě transformátoru. Pro tepelnou třídu A, která je běžná, jsou uvedeny orientační velikosti v tab. 3. Činitel plnění mědi závisí na průměru použitého vodiče, pro malé transformátory do 100 VA je přibližně 0,5, pro větší výkony 0,6. Magnetická indukce se volí podle druhu materiálu, velikosti transformátoru a podle přípustných proudu při zapínání transformátoru - možnosti udává tab. 3. Hledá se soulad mezi touto rovnici a jádrem, jehož cívkové tělísko poskytuje okénko pro vinutí  $S_v$  a jehož průřez jádra  $S_j$  tuto rovnici splňuje.

Obvykle se používají typizované velikosti transformátorů, z těch je nutno vybrat vhodný typ jádra, jehož průřez a okénko pro vinutí odpovídá vypočtenému součinu.

Zbývá tudíž konstruktéru rozhodnout se pro některý typ a počítat s údaji uvedenými v tabulkách typizovaných velikostí, v nichž bývají všechny potřebné další vztahy jako hmotnost magnetického jádra, střední délka magnetické siločáry apod. Někdy je uváděn i přenášený výkon. Příklad pro jádra a plechy M je v tab. 7. Není podstatných rozdílů při návrhu síťových transformátorů s plechy M nebo EI. Potřebná data pro návrh transformátoru s plechy EI jsou podrobně uvedena v [2].

Pro výpočet primárního vinutí se vychází z transformátorové rovnice, která je základním vzorcem pro

výpočet indukovaného napětí. Z tohoto vzorce se vypočítá potřebný počet primárních závitů. Magnetická indukce pro transformátorové plechy za tepla zpracované se uvažuje v rozsahu 0,8 až 1,4 T, pro jádra z plechů magneticky izotropních za studena válcovaných 1 až 1,5 T a pro jádra z magneticky anizotropních materiálů 1,2 až 1,75 T (viz tab. 4). Pro transformátory s výkony do 200 VA se používají plechy Ei55 s  $p_1 < 1,7 \text{ W/kg}$  tloušťky 0,5 mm. U malých transformátorů, které mají mít malý proud naprázdno, se volí magnetická indukce i v rozsahu 0,6 až 0,8 T (platí pro 50 Hz). Pro jiný kmitočet se volí podle ztrát v jádru. Pro transformátory s výkony do 200 VA není volba plechu s ohledem na ztráty příliš kritická. Pro výkony transformátorů větší než 200 VA je třeba uvažovat oteplení jádra. Potom je nutné volit plech s menším ztrátovým číslem, nebo zmenšit magnetickou indukci tak, aby se zmenšily ztráty.

Počet sekundárních závitů se určuje buď z transformátorové rovnice nebo z poměru žádaného napětí k napětí na primární straně a z počtu primárních závitů.

$$N_2 = N_1 (U_2 / U_1).$$

Kdybychom však použili takto vypočítaný počet závitů, bylo by ve skutečnosti sekundární napětí při zatížení transformátoru menší než žádané. Tento pokles napětí je způsoben ztrátami jak ve vinutí, tak v jádře a rozptylovou indukčností. Proto je nutné počet vypočtených závitů upravit podle různých výkonů transformátoru o úbytek napětí na vinutí. Pro ilustraci je uveden přibližný úbytek napětí pro jádra s plechy M v tab. 7. Opraví-li se počet závitů způsobem, jak je dále uvedeno, je to obvykle dostačující. Úbytek napětí při zatížení se uvažuje, že je ve fázi s napětím na zátěži, takže se k tomuto napětí algebraicky přičítá. Protože úbytky napětí na vinutí jsou u transformátorů malých výkonů způsobeny převážně odporem vinutí a zátěž je obvykle odporová, je tento předpoklad přípustný. Kdyby se měl stanovit přesný počet závitů, muselo by se zmenšení sekundárního napětí zpřesnit podle proměnného vzorku transformátoru, který je jmenovitě zatížen.

Vlivem ztrát ve vinutí je na sekundární straně napětí menší o

$$U_z = R_{v1} I_1 (U_2 / U_1) + R_{v2} I_2.$$

Označí-li se

$$(R_{v1} / U_1) I_1 = k_{u1} \text{ a } (R_{v2} / U_2) I_2 = k_{u2}$$

a celkový poměrný úbytek

$$U_z / U_2 = k_{u1} + k_{u2} = k_u$$

potom je na primárním vinutí transformátoru napětí (při uplatnění odporu vinutí)

Tab. 7. Výpočtová tabulka pro napájecí transformátory s plechy M podle oborové normy NT-N 02

| Označení M  |                           | 12      | 17        | 20      | 23      | 29      | 34      | 35      | 5z                    | 7     | 7z    |
|---|---------------------------|---------|-----------|---------|---------|---------|---------|---------|-----------------------|-------|-------|
| Vhodné pro výkon [VA]<br>(50 Hz) a magn. indukci                    | 1,4 T                     | 5       | 14        | 29      | 60      | 82      | 140     | 210     | -                     | -     | -     |
|   | 1,2 T                     | 4       | 12        | 25      | 50      | 70      | 120     | 180     | -                     | -     | -     |
| Šířka stř. sloupku [mm]   |                           | 12      | 17        | 20      | 23      | 29      | 34      | 34      | 5                     | 7     | 7     |
| Počet plechů<br>[ks]  | 0,35 mm                   | 28      | 37        | 50      | 61      | 61      | 68      | 144     | $t = 0,05 \text{ mm}$ |       |       |
|   | 0,5 mm                    | 39      | 52        | 71      | 87      | 87      | 96      | 104     | $t = 0,01 \text{ mm}$ |       |       |
| Čistý průřez jádra<br>[mm <sup>2</sup> ]                            | 0,5 mm                    | 1,65    | 3,2       | 5,1     | 7       | 9       | 11,5    | 17,1    | -                     | -     | -     |
|   | 0,35 mm                   | 1,5     | 2,8       | 4,5     | 6,2     | 7,9     | 10      | 15      | -                     | -     | -     |
| Délka magn. siločáry [cm]   |                           | 10,2    | 13,1      | 15,5    | 17,6    | 19,7    | 23,8    | 23,8    | 5,2                   | 6,56  | 6,56  |
| Hmotnost jádra [kg]   |                           | 0,13    | 0,31      | 0,58    | 0,91    | 1,28    | 1,98    | 3       | 0,011                 | 0,031 | 0,047 |
| Šířka vinutí<br>[cm]  | maxim.                    | 2,6     | 3,25      | 3,7     | 4,3     | 4,9     | 6,1     | 6,1     | 1,3                   | 1,7   | 1,7   |
|   | s vývody po jedné straně  | 2,3     | 2,95      | 3,4     | 3,95    | 4,55    | 5,7     | 5,7     | 1,2                   | 1,6   | 1,6   |
|   | s vývody po obou stranách | 2,1     | 2,75      | 3,2     | 3,7     | 4,3     | 5,4     | 5,4     | 1,1                   | 1,5   | 1,5   |
| Výška vinutí [cm]   | maxim.                    | 0,7     | 0,85      | 1       | 1,2     | 1,1     | 1,35    | 1,35    | 0,3                   | 0,4   | 0,4   |
|   | pro dráty do prům. 0,6 mm | 0,6     | 0,75      | 0,9     | 1,08    | 0,98    | 1,2     | 1,2     | 0,25                  | 0,35  | 0,35  |
|   | pro dráty o prům. >0,6 mm | 0,55    | 0,7       | 0,85    | 1,025   | 0,92    | 1,15    | 1,15    | -                     | -     | -     |
| Střední délka závitu při plnění 100 % [cm]                          |                           | 8,35    | 11,45     | 13,58   | 16,1    | 16,7    | 19,4    | 23,3    | 3,6                   | 5,4   | 5,9   |
| Dovolená proudová hustota pro oteplení o 60 °C [A/mm <sup>2</sup> ] |                           | 5,5     | 4,6       | 4       | 3,6     | 3,4     | 3,2     | 3       | -                     | -     | -     |
| Počet závitů na 1 V<br>( $t = 0,35/0,5 \text{ mm}$ )                | B = 1,2 T                 | 25/22,7 | 13,3/11,7 | 8,3/7,3 | 6/5,3   | 4,7/4,4 | 3,8/3,2 | 2,5/2,2 | -                     | -     | -     |
|   | B = 1,4 T                 | 21/19,8 | 10,6/10   | 7,1/6,2 | 5,1/4,5 | 4/3,5   | 3,2/2,7 | 2,1/1,9 | -                     | -     | -     |
| Zmenšení napětí [%] pro max. výkon                                  |                           | 40      | 23        | 16      | 12      | 9,5     | 7,5     | 7       | -                     | -     | -     |
| Poměrný úbytek napětí $k_u$   |                           | 0,55    | 0,3       | 0,2     | 0,13    | 0,1     | 0,08    | 0,07    | -                     | -     | -     |

Zvolená magnetická indukce pro žádaný výkon transformátoru musí odpovídat přípustným ztrátám plechů, nemá-li být překročeno přípustné oteplení jádra. Orientačně lze posoudit podle obr. 13.

Pro plechy Et a Ei od Ei70 výše lze použít magnetickou indukci 1,2 T, pro plechy od Ei60 niže magnetickou indukci 1,4 T.

$$U_1 (1 - k_{u1}) = U_1 (1 - k_u / 2),$$

a na sekundární straně, má-li být na záťaze napětí  $U_2$ , musí být napětí na prázdro

$$U_{20} = U_2 (1+k_{u2}) = U_2 (1 + k_u / 2).$$

Počet primárních závitů  $N_1$  navrhovaného transformátoru se proto zmenší a vypočítá se ze vzorce

$$N_1 = U_1 n (1 - k_u / 2),$$

kde  $U_1$  je jmenovité napětí a  $n$  počet závitů na 1 V, který se vypočítá z transformátorové rovnice. Počet sekundárních závitů se naproti tomu zvětší. Počet závitů kterého sekundárního vinutí je

$$N_k = U_k n (1 + k_u / 2).$$

O tuto velikost nutno zvětšit sekundární napětí transformátoru, abychom dosáhli při jmenovitém zatížení žádané

napětí. Počet závitů  $n$  na 1 V odpovídá maximální povolené magnetické indukci, které se dosáhne u jádra s dolní mezi tolerance jeho geometrického průřezu, násobeného předpokládaným činitelem plnění, pro síťový kmotocet 49,5 Hz pro transformátory s jmenovitým kmotocetem síťě 50 Hz a se síťovým napětím zvětšeným o 10 % proti napětí jmenovitému s ohledem na kolísání síťového kmotocetu a jeho napětí. Pokles síťového napětí není nebezpečný. Bude-li transformátor zatížen menším výkonem  $P_s'$  než je výkon  $P_s$ , který zvolená velikost jádra umožňuje přenést pro přípustné oteplení a bude-li okénko pro vinutí plně využito, bude úbytek napětí  $k_u'$  menší než úbytek uváděný v tabulkách

$$k_u' = k_u (P_s' / P_s).$$

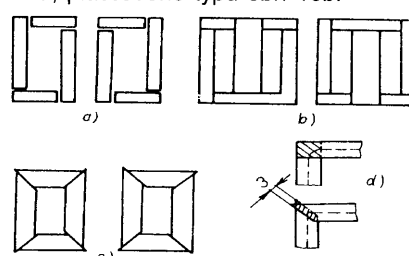
Zbývá stanovit průměr vodičů pro jednotlivá vinutí s ohledem na jejich oteplení. Označí-li se proudová hustota  $\sigma$  [A/mm<sup>2</sup>] a proud vodičem [A], je potřebný průměr vodiče [mm]

$$d = 1,13 \sqrt{I / \sigma} \quad [\text{mm}; A, A/\text{mm}^2]$$

Pro transformátory s plechy M je možné volit proudovou hustotu zhruba podle údajů v tab. 7.

#### Jádra síťových transformátorů skládaná ze stříhaných pásů

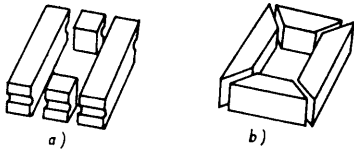
Překračuje-li požadovaný výkon transformátoru výkony typizovaných jader, která jsou k dispozici, což je pro výkony větší než 1 kVA, jádra se skládají z pásů stříhaných z tabulí oceli zn. Eo. Možnosti skládání jádra transformátoru jádrového typu jsou na obr. 10a, plášťového typu obr. 10b.



Obr. 10. Skládání jádra transformátoru z pásů plechu, a) jádrový, b) plášťový typ, c) přeplátování 45 °, d) oblast případných ztrát při skládání plechů pod úhly 90 a 45 °

Plechy jádra z obr. 10a, b jsou přeplátovány pod úhlem  $90^\circ$ , plechy jádra z obr. 10c pod úhlem  $45^\circ$ . Přeplátováním pod úhlem  $90^\circ$  vznikají v rozích přídavné ztráty, neboť magnetický tok v rozích se uzavírá magneticky nevhodným směrem. Překrytí přeplátování plechů pod úhlem  $45^\circ$  postačuje 3 mm (obr. 10d), takže se značně omezí oblast přídavných ztrát. Otvory v pásech pro stahování plechů nejsou, plechy do jader se stahují rámy a úhelníky. Nastříhané pásy se před montáží podrobují regeneračnímu tepelnému zpracování v ochranné atmosféře nebo ve vakuu ( $800^\circ\text{C}$ , 2 h) podle vlastnosti izolační vrstvy.

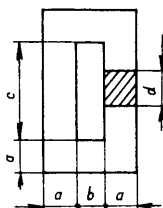
Jiná technologie a sestavování jader skládaných z pásků stříhaných z tabulí je podobná technologii výroby jader C z materiálu Eo. Nastříhané pásy, složené v přípravcích do částí jader - modulů (obr. 11) se regeneračně tepelně



Obr. 11. Díly jádra složeného se stykem natupo s úhlem  $90^\circ$  (a) a  $45^\circ$  (b)

zpracují. Potom se svazky z plechů vzájemně slepí epoxidovými pryskyřicemi a části, které na sebe natupo doléhají, se zabrouší a vylapují se. Zkraty vzniklé mezi plechy zabrušováním se odstraní leptáním kyselinou solnou (35 %) nebo kyselinou dusičnou (25 %). Leptá se několik minut, jen co se objeví mezery mezi jednotlivými plechy. Po skončení se leptané plechy opláchnou čpavkovou vodou. Tupý styk může být vytvořen na  $90^\circ$  nebo  $45^\circ$ . Pro styk  $90^\circ$  vzniká náhradní mezera velikosti 2 až 3  $\mu\text{m}$ . Styk pod úhlem  $45^\circ$  bývá vyroben s menší přesností - rozevření může dosáhnout několika desítek mikronů. Bez zhoršení magnetických vlastností je možné po sestavení celého transformátoru díly jádra na styčných hranách (rozích) vzájemně elektricky svařit nekovovou elektrodu. Tím se usnadní mechanické upevnění transformátoru.

Poměr výšky c okénka pro vinutí k jeho šířce b (obr. 12) bývá u



Obr. 12. Rozměry jádra

transformátorových jader 2,5 až 3,5. Průřez jádra bývá čtvercový až obdélníkový s poměrem stran až 1:2. Větším poměrem výšky okénka k šířce se zvětšuje poměr hmoty jádra k hmotě vinutí a tím se i ovlivňují cenové náklady. Transformátory s tímto větším poměrem mají menší činitel rozptylu indukčního toku a menší odpor vinutí pro

menší střední délku závitu. Zvětšuje-li se tento poměr, zmenšuje se využití okénka pro vinutí vlivem nezbytné izolace vinutí a potřebné vzdálenosti od jádra. Tato okolnost vede ke zmenšování průřezu vodiče, to způsobuje zvětšení proudové hustoty vodičů a oteplování vinutí. Čtvercovým průřezem jádra se dosahuje největšího pravoúhlého průřezu jádra při dané délce obvodu. Takovými průřezy se dosahuje úspory mědi a menšího odporu vinutí.

Označí-li se  $S_j'$  průřez okénka pro vinutí, které je k dispozici na transformátorovém jádru, lze tento průřez pro vinutí využít asi jen ze 70 %

$$S_v = 0,7 S_j'$$

Pro primární vinutí je k dispozici jen polovina této plochy. Proto

$$S_{v1} = 0,7 \cdot 0,5 S_j'$$

Při uvažovaném činiteli plnění jádra 0,95 je geometrický průřez jádra  $S_j'$

$$S_j' = S_j / 0,95$$

Činitel plnění mědi, vzhledem k předpokládaným větším výkonům a tím i větším průměrům vodičů, se volí 0,6. Proudová hustota se pro větší výkony transformátorů uvažuje  $2,5 \text{ A/mm}^2$ . Dosazením za  $S_{v1}$ ,  $S_j$ ,  $f_{cu}$ ,  $f = 50 \text{ Hz}$  a  $B = 1,7$  do již uvedeného vztahu pro  $S_v$ ,  $S_j$  dostaneme

$$S_v S_j' = P_j / 188 \cdot 10^6$$

Budou-li se uvažovat takové rozměry plechů, které složí jádro s poměrem výšky okénka k jeho šířce 3 a se čtvercovým průřezem jádra (tj. pro  $a = d$ , obr. 12) bude pro uvedený příklad

$$a = 0,0065 \cdot \sqrt[4]{P_j},$$

je-li např.  $P_j = 1000 \text{ VA}$ , bude  
 $a = 4 \text{ cm}$ .

Tím jsou určeny výchozí rozměry jádra.

Bude-li se uvažovat např. jednoduché provedení transformátoru, tj. jádro tvaru U, složené z plechů Eo 10 s jednou cívkou, navrhne se transformátor včetně rozměrů cívkového tělíska a prokladů. Při návrhu se zpřesní činitel využití okénka pro vinutí, činitel plnění mědi a proudová hustota s ohledem na přípustné oteplení. Postup se opakuje. Uvažuje se kolísání napájecího napětí a kmotučtu tak, že magnetická indukce nepřekročí 1,7 T. Úplný návrh musí uvažovat teplotní třídu transformátoru, podle ní se volí izolace vodičů a izolační materiály. Zjistí se ochlazovaná plocha jádra a vinutí a vypočítá se oteplení transformátoru. Při nepříznivém výsledku se musí zmenšit magnetická indukce jádra, aby se zmenšily jeho ztráty a proudová hustota, čímž se změní rozměry celého transformátoru. Postup se zpřesňuje do etapy výroby vzorku a jeho ověřování.

## Oteplení transformátoru

Vinutí transformátoru a jeho jádro jsou při provozu transformátoru zdrojem tepla. Při ustálení teploty nesmí být překročena maximální teplota, která je určena teplotní třídou, pro kterou je transformátor konstruován.

Oteplení transformátorového jádra z teploty  $\vartheta_0$  o teplotu  $\Delta\vartheta$  je vyjádřeno vztahem

$$\Delta\vartheta_j = P_v / C_{vj} \quad [\text{K}; \text{W}, \text{W/Km}^2, \text{m}^2],$$

kde  $P_v$  je ztrátový výkon jádra transformátoru,  $C_v$  je celková ochlazovací plocha jádra a  $c_v$  je ochlazovací konstanta ( $1/c_v C_v$  je tepelný odpor  $R_{th}$  [K/W]).

Teplo se odvádí sáláním a prouděním. Ochlazovací konstanta sáláním  $c_{js}$  je pro transformátory

$$c_{js} = 4,8 + 0,03 \Delta\vartheta.$$

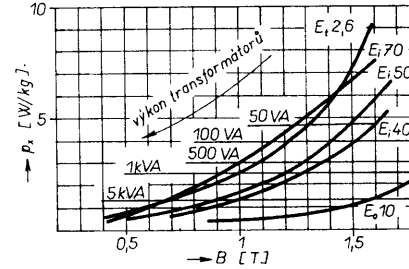
Pro klidný vzduch a přirozené proudění je ochlazovací konstanta prouděním

$$c_{jp} = 6,5 + 0,05 \Delta\vartheta.$$

V obou případech je  $\Delta\vartheta$  z oboru 10 až  $100^\circ\text{C}$ . Sloučením obou vlivů se používá

$$c = 11,3 + 0,08 \Delta\vartheta,$$

jeho velikost bývá 14 až  $23 \text{ W/Km}^2$ . Zmenšuje se s lakováním jádra a jeho impregnováním. Ochlazovací konstanta pro plechy napříč izolací je 10 až 15, pro plechy podél 30 až 65. Povrchová teplota jádra se zjišťuje kontaktním termistorovým teploměrem. Jak velký měrný ztrátový výkon se z jádra transformátoru odvede prouděním a sáláním, je zřejmé z obr. 13 pro transformátory plášťového typu.



Obr. 13. Empiricky odvozené údaje pro volbu materiálu jádra a magnetické indukce pro transformátor plášťového typu podle výkonu, nemá-li oteplení jádra být větší než  $60^\circ\text{C}$

Je zřejmé, že se zvětšujícím se výkonem transformátoru je nutné použít kvalitnější plech, popř. menší magnetickou indukci, není-li k dispozici plech s malými ztrátami.

Ochlazovací plocha má plný účinek, není-li v její blízkosti do 16 mm jiná plocha, která by ochlazování omezovala. Je-li taková plocha blíže než 8 mm, ochlazovací účinek není žádný.

Výkon  $P_c$  ztracený ve vinutí a plocha povrchu vinutí  $C_v$ , která teplo povrchem odvádí, určuje oteplení vinutí  $\Delta\vartheta_v$

$$\Delta\vartheta_v = P_c / (c_v C_v) \quad [\text{K}; \text{W}, \text{W/Km}^2, \text{m}^2],$$

kde  $c_v$  je ochlazovací konstanta cívky, bývá 10 až 18 W/Km<sup>2</sup>, zvětšuje se impregnováním transformátoru. Pro transformátory zalité v epoxidových pryskyřicích je ochlazovací konstanta 0,9 W/Km<sup>2</sup>.

Proudová hustota je závislá na povoleném oteplení transformátoru. Oteplení závisí na přípustné teplotě nejteplejšího místa vinutí transformátoru. Je omezeno tepelnou odolností použitých izolačních materiálů (izolace vodičů), odolností prokladového materiálu, materiálu cívkových tělísek apod. Obvykle se žádá, aby oteplení nepřestoupilo 60 °C. Pak lze proudovou hustotu určit ze vztahu

$$\sigma = 0,51 \sqrt{\Delta \vartheta_v / (1 + h_v / 3) h_v} \quad [\text{A/mm}^2, \text{K,cm}]$$

kde  $\Delta \vartheta_v$  je oteplení nejteplejšího místa vinutí nad teplotu okolí a  $h_v$  je celková výška vinutí v cm.

Často se jako střední hodnota u malých transformátorů používá hustota  $\sigma = 3,5 \text{ A/mm}^2$ , při níž pro dovolené oteplení o 60 °C a výšku vinutí 1 cm<sup>2</sup> (transformátory s výkonem 100 až 150 VA) vychází jednoduchý vztah pro průměr drátu

$$d = \sqrt{I / 2,75} \quad [\text{mm, A}]$$

Oteplení vinutí se obvykle určuje ze změřeného odporu vinutí za studena,  $R_0$ , tj. při teplotě okolí  $\vartheta_0$  a odporu  $R$ , kterého dosáhne vinutí při plném zatížení transformátoru. Toto teplotní převýšení je

$$\Delta \vartheta_v = \{(R - R_0) / R_0\}(1/\alpha),$$

kde  $\alpha$  je teplotní činitel odporu mědi ( $\alpha = 0,0039/\text{°C}$ , teplotní činitel odporu vodičů z hliníku je  $0,0043/\text{°C}$ ). Tuto konstantu lze použít, je-li oprávněný předpoklad rovnoměrné rozložené teploty ve vinutí. Protože však teplota vinutí nebývá rovnoměrně rozložená, bylo ověřeno měřením teploty termočlánkem, že pro první vinutí, obvykle primární, je náhradní činitel 3,2 až  $3,5 \cdot 10^{-3}/\text{°C}$ , pro impregnovaná vinutí 3,3 až  $3,6 \cdot 10^{-3}/\text{°C}$ . Menší údaje náležejí transformátorům s menšími jádry a opačně. Pro další vinutí, blíže k povrchu, jsou činitelé 2,9 až  $3,2 \cdot 10^{-3}/\text{°C}$  u neimpregnovaných a 3,0 až  $3,5 \cdot 10^{-3}$  u impregnovaných transformátorů. Oteplení vinutí závisí na druhé mocnině proudové hustoty. Chybňý odhad proudové hustoty např. o 10 % způsobí při realizaci transformátoru změnu oteplení o 20 % proti očekávanému.

Oteplení jádra transformátoru je způsobeno ztrátovým výkonem  $P_z$ , přemagnetováním jádra a ztrátami výřivými proudy

$$P_z = \epsilon m_j p_x,$$

kde  $m_j$  je hmota transformátorového jádra,  $p_x$  je měrný ztrátový výkon při provozní indukci a kmotočtu a  $\epsilon$  je součinitel větší než 1 a zhodnocuje vliv zvětšení ztrát vlivem ražení výseků a stahování jádra, uvažuje se v rozsahu 1,1 až 1,5.

Potřebná je znalost doby, za níž se po zapnutí zvyšující se teplota transformátoru ustálí. Kdyby nebyl transformátor ochlazován okolním prostředím, zvětšovalo by se oteplení při mojměrně s časem. Tím však, že je ochlazován a toto ochlazování je stále mocnější se zvětšujícím se rozdílem teplot, zvětšuje se oteplení pomaleji (exponenciálně). Konečného oteplení transformátor prakticky dosáhne po době  $t = 4,6\tau$ . Pro transformátory chlazené vzduchem bez nuceného proudnění je

$$\tau = [(c_{cl} m_c / P_c) + (c_j m_j / P_z)] \Delta \vartheta,$$

kde  $c_{cl}$  a  $c_j$  je měrné teplo vinutí a jádra,  $m_c$  a  $m_j$  jejich hmota [kg] a  $P_c$ ,  $P_z$  ztrátový výkon ve vinutí [W] a v jádru [W]. Oteplení transformátoru jako celku, tj. vlivem vinutí i jádra, je  $\Delta \vartheta$ .

Po dosazení měrného tepla mědi 385 Ws/kgK a transformátorové oceli 485 Ws/kgK a úpravou času v minutách se získá vztah

$$t = 7,7 \Delta \vartheta (385 m_c / P_c) + (485 m_j / P_z) \cdot 10^{-2} \quad [\text{K, kg, W, min}]$$

Obyčejně se dovoluje oteplení  $\Delta \vartheta = 60 \text{ } ^\circ\text{C}$  nad teplotu okolí.

Zavede-li se do uvedeného vzorce střední specifické teplo pro měď i železo 430, hmota celého transformátoru  $m$ , a součet všech ztrátových výkonů  $P_z$ , získá se velmi jednoduchý vztah

$$t \approx 2 m_{tr} / P_z \cdot 10^3 \quad [\text{kg, W, min}]$$

### Vodiče pro vinutí

Vinutí zhotovujeme navíjením vodiče většinou na cívkové tělísko (kostru), v některých případech se vodiče vinou přímo na izolované jádro, zejména u kruhových jader. Vinutí u bezjádrových transformátorů bývá zhotovené z koaxiálních vodičů.

Vinutí spolu s jádrem umožní dosáhnout požadované indukčnosti, současně s tím však vzniknou jevy nežádoucí jako odpor vinutí, rozptylová indukčnost, dielektrické ztráty apod., u silových transformátorů vývin tepla. Udržet tyto nepříznivé vlivy v potřebných mezech je úkolem výpočtu a návrhu vinutí.

Zatímco u silových transformátorů se vinutí navrhuje s ohledem na přípustný vývin tepla, u cívek se sleduje nejčastěji požadavek dosáhnout dané indukčnosti při dovolených ztrátách s ohledem na požadovanou velikost činitele jakosti v kmotčovém rozsahu, v němž cívka působí. U sdě-

lovacích transformátorů mimo požadavek nejmenších ztrát je zdůrazněn požadavek minimální kapacity vinutí a rozptylové indukčnosti nebo velké symetrie vinutí, které mají vliv na přenosové vlastnosti transformátoru.

V největší míře se pro vinutí cívek i transformátorů využívá lakovaného vodiče LC z měkké elektrovodné mědi (ČSN 42 30001.1). Lakovaný vodič je podle normy ČSN 34 7325 značen třemi písmeny: L značí lak a C měděné jádro, třetí písmeno druh lakové izolace, která splňuje určitou tepelnou třídu. Polyesterimidový lak značený I splňuje teplotní třídu F (155 °C), T je tereftalátový lak pro teplotní třídu B (130 °C), polyamidový lak P pro teplotní třídu E (120 °C). Samopájitelné laky s polyuretanovou izolací se značí U (teplotní třída B (130 °C)). Vodiče LC s lepicí vrstvou jsou slinovatelné. Jejich vlastnosti jsou v normě ČSN 34 7380. Všechny tyto vodiče se vyrábějí s jednoduchou nebo zesílenou izolací v různých průměrových řadách.

Na výrobu vinutí, jejichž konce lze přímo spájet bez odstraňování lakové vrstvy, se používají vodiče izolované lakem polyuretanovým. Pro navíjení cívek, u nichž se izolace při navíjení mechanicky odírá, jako např. u kruhových navíječek, se používají lakované vodiče opředené jednoduchou nebo dvojitou vrstvou hedvábí, nebo vodiče se zesílenou izolací (kromě toho se rovněž používají v případech, kdy chceme zmenšit kapacitu vinutí nebo dosáhnout větší mezizávitové elektrické pevnosti). V zahraničí se vyrábějí vodiče i s třemi vrstvami lakové izolace. Elektrická pevnost jejich izolace je 4000 V (pro vinutí transformátorů měničů, u nichž je velké mezizávitové napětí).

Vinutí, která mají mít shodné elektrické vlastnosti na témže jádru, se vinou buď současně vodiči odvíjenými ze dvou cívek o shodných vnějších průměrech a stejných průměrech vodiče (tzv. paralelní vinutí), nebo se vinou párovaným vodičem. Párované vodiče jsou izolované vodiče se stejným průměrem, vzájemně stočené. Párovaným vodičem se však nevyužije prostor vinutí tak, jako u vinutí paralelního. Paralelní vinutí se značně omezuje rozptylový indukční tok, avšak zvětší se kapacita vinutí a nedosáhne se takové shodnosti kapacity vinutí jako při použití párovaného vodiče, s nímž lze dosáhnout lepší symetrii odporové, indukční i kapacitní.

Vlivem povrchového jevu (skinfektu) se při zvyšujícím se kmotčtu zvětšuje odpor vodiče. Pro zmenšení elektrického povrchového jevu se používají tzv. vysokofrekvenční lanka. Vysokofrekvenční lanka jsou vyrobena ze stočených lakovaných vodičů s určitou délkou zkrutu. Celek je jednou až dvakrát opředen hedvábím.

Vysokofrekvenční lanka jsou normalizovány (ČSN 34 7380), podle této normy se značí ZCA. Z je značka vodiče, C je jádro tvořené mědí a A opředení polyamidovým hedvábím.

Poměr prakticky navinutých závitů k teoretickému předpokladu se jmenuje činitel vinutí a označuje se  $a_v$  ( $d$  je čistý průměr vodiče,  $d_i$  vnější průměr a  $p$  je činitel přesnosti vinutí ~0,85)

$$a_v = p(d^2 / d_i^2).$$

Činitel vinutí  $a_v$  pro menší průměry vodičů se zmenšuje vlivem většího poměrného přírůstku izolace vodiče. Tento přírůstek se ještě zvětšuje u vodičů se zesílenou izolací nebo u vodičů ovinutých hedvábím. Je-li činitel vinutí známý, lze vypočítat počet závitů, které se vejdu do okénka, vy mezeného pro vinutí

$$N = a_v(S_v / d^2).$$

Někdy se v literatuře uvádí činitel plnění mědi  $f_{cu}$ , který je dán poměrem celkového průřezu mědi v okénku pro vinutí k ploše  $S_v$ , která je pro vinutí k dispozici

$$f_{cu} = (N\pi d^2 / 4) / S_v.$$

Souvislost mezi činitelem vinutí  $a_v$  a činitelem plnění mědi  $f_{cu}$  je tedy

$$f_{cu} = (\pi / 4)a_v.$$

## Síťové transformátory s jádry C a Q

Jádra C je označení jader pro transformátory, která mají tvar "C". Magnetický obvod transformátoru se skládá ze dvou nebo čtyř jader C. Jádry C označuje nás výrobce řadu jader C a jádra C řady "Q".

Elektrotechnické ocele typu Eo dosahují příznivě orientované magnetické struktury ve větších tloušťkách pásov. Tlušťky pásu 0,30 až 0,35 mm této možnosti ještě využívají. Tato tloušťka je kompromisem mezi dosazením dobré magnetické anizotropie a přijatelnými ztrátami výřivými proudy pro síťové transformátory s technickým kmitočtem 50 a 60 Hz. V tloušťkách 0,13, 0,08 a 0,05 mm je magnetická anizotropie méně výrazná. Kmitočet 2000 Hz je horním mezním kmitočtem využitelnosti těchto ocelí. Kromě zmenšování tloušťky pásu při jejich používání na vysších kmitočtech se musí zmenšit i pracovní magnetická indukce. Ztráty jádra nemají být tak velké, aby teplota jádra překročila přípustnou teplotu 130 °C, při níž se poruší soudržnost vzájemně k sobě slepených vinutých pásků ocele. Velikost těchto maximálních ztrát leží v oblasti 10 až 20 W/kg jádra. Zatímco při tloušťce 0,32 až 0,35 mm a kmitočtu 50 Hz nemá být překročena

indukce 1,75 T, při tloušťce pásu 0,1 mm a kmitočtu 400 Hz nemá být indukce větší než 1,5 T, při téže tloušťce a kmitočtu 800 Hz již jen 1 T a při tloušťce 0,05 mm a kmitočtu 2000 Hz již jen 0,45 T. Pro kmitočty ještě vyšší jsou proto již výhodnější feritová jádra, která se k této velikosti indukce již také přibližují.

Jádra C a Q jsou u nás vyráběna z elektrotechnických ocelí zn. Eo11 svíjením z nařezaných pásov.

Ekvivalentní mezera kvalitně zábroušených a leštěných stykových ploch, kterou lze nahradit styk obou částí jádra, je 2x 0,001 mm. Při montáži jader se dosedací plochy očistí, správně se orientují a jádra se k sobě přitlačí stahovacím páskem silou kolem 20 až 50 N/cm² na dosedací plochy. U jader menší velikosti se používá menší tlak. Tlakem se omezuje mezera, která zvětšuje magnetovací proud. Mezera je také zdrojem hluku transformátoru s jádry C. Větší tlak porušuje soudržnost jádra. Jádra z pruhů 0,30 až 0,35 mm mají činitel plnění 0,92 až 0,95, pro pruh 0,13 mm je činitel plnění 0,85, pro 0,08 mm je 0,8. U transformátorů bývá indukce 1,7 T, u transformátorů větších výkonů s jádry C až 1,75 T. Pro indukci 1,7 T je ztrátový výkon v jádrů menší než 2,2 W/kg. Příkon transformátoru s jádry C naprázdno včetně příkonu pro zmagnetování mezér nebyvá větší než 20 VA/kg.

Jalový příkon  $P_q$  potřebný k vytvoření indukce  $B$  v mezere o objemu  $V$  je

$$P_q = (2\pi f / \mu_0)(B^2 V / 2).$$

Např. pro jádro Q9,2, jehož hmotnost je přibližně 1 kg a průřez přibližně 10 cm² a jehož mezera jednoho styku je přibližně 1 µm, je reaktanční příkon pro vytvoření indukce 1,7 T

$$P_q = (2\pi \cdot 50 / 0,4\pi \cdot 10^{-6}) \cdot 1,7^2 \cdot 2 \cdot 10^{-6} \cdot 10^{-3} / 2 = 0,72 [\text{var}].$$

Jalový příkon potřebný pro zmagnetování jádra je

$$P_q = 2\pi f B H V / 2,$$

kde  $H$  je složka intenzity magnetického pole, která je ve fázi s  $B$ . Pro malé ztráty v jádru lze připustit, že magnetovací příkon je tvořen převážně jalovou složkou. Magnetické indukce 1,7 T se u kvalitních materiálů pro tato jádra (zjištěno na toroidech) dosáhne intenzitou magnetického pole 1,5 A/cm. Pro tento případ je jalový příkon uvažovaného jádra Q9,2, které má střední délku magnetické silové čáry 24 cm,  $2\pi \cdot 50 \cdot 1,7 \cdot 150 \cdot 0,24 \cdot 10^{-3} / 2 = 10 [\text{var}]$ .

Na zmagnetování magnetického obvodu, který by byl tvořen jedním tímto jádrem Q, je potřebný nezanedbatelný příkon pro tuto mezera. Je

patrný škodlivý vliv i velmi malé mezery.

Při střední délce magnetické silové čáry tohoto jádra 24 cm a při magnetické indukci 1,7 T, které se dosáhne při poli 1,5 A/cm, je potřebné magnetické napětí pro vytvoření této indukce v mezere

$$U_{mm} = (B / \mu_0) I_m = \{1,7 / (0,4\pi \cdot 10^{-6})\} \cdot 2 \cdot 10^{-6} = 2,7 [\text{A}]$$

a v jádru

$$U_{mj} = H_j / = 150 \cdot 0,24 = 36 [\text{A}].$$

Relativní délka mezery je v tomto uvažovaném případě jen  $10^{-5}$  a je patrný její vliv na zhoršování vlastnosti magnetického obvodu. Tento příklad ukazuje, jak pečlivá montáž musí být věnována magnetickému obvodu s jádry C, aby se náhradní mezera uplatnila co nejméně.

Jádra C a Q se používají pro jednofázové transformátory v provedení jednoduchém (jedno jádro, jedna cívka), pro transformátory jádrového typu (jedno jádro, dvě cívky) a plášťového typu (dvě jádra, jedna cívka). Transformátory jádrového typu mají menší rozptyl indukčního toku než transformátory plášťové. Indukční tok v cívkách a tím i jejich rozptylové toku mají opačný smysl a tak se částečně kompenzují mimo transformátor, čímž se zmenší indukované napětí síťového kmitočtu ve smyčkách obvodů. Velikost rušení rozptylovým indukčním tokem však dále závisí na směru, v němž se zjišťuje, a na velikosti indukce. Rozdelením vinutí na dvě cívky se zvětší jejich ochlazovací povrch o 20 %. Ochlazovací konstanta jader C a Q je v rozmezí 12 až 18 W/Km². U jádrových transformátorů se primární i sekundární vinutí rozděluje rovnoměrně na obě cívky. Nerozdělí-li se tato vinutí, takže primární vinutí je na cívkovém tělisku jednoho sloupku a sekundární vinutí na druhém, má takový transformátor větší rozptylovou indukčnost a tím i větší úbytek napětí při zatížení transformátoru, zlepší se však prostorové oddělení vinutí, čímž se zvětší elektrická bezpečnost a popř. i odolnost proti zkratu.

Transformátory jádrového typu jsou výrobě nákladnější a hmotnější v poměru 5:4 vzhledem k transformátorům plášťovým stejněho výkonu. Rozšířenější jsou transformátory plášťového provedení. Zásluhou především cen jader tvaru C jsou transformátory s jádry C několikanásobně dražší než transformátory s plechy EI stejného výkonu. Transformátory s jádry C a Q, zvláště pracují-li ve vyšší tepelné třídě, dobře využívají suroviny, protože pro transformátor o téměř výkonu jich potřebují méně.

Tab. 8. Údaje pro návrh plášťových transformátorů s jádry Q (transformátor je tvořen dvěma jádry a jednou cívkou).  
Údaje o oteplení se týkají hlavně vinutí, oteplení jádra je menší, jádra u nás zavedena do výroby)

| Proudová hustota při oteplení vinutí o 80 °C [A/mm²] | Účinnost $\eta$ | Typ jádra | Výkon [VA] při oteplení $\Delta\vartheta$ [°C] |      |      |              |      |      | Úbytek napětí [%] při oteplení z teploty okolí o |      |      |       |      |      | Počet závitů na 1 V | Prům. délka magn. siločáry [cm] | Prům.-geom. průřez jednoho jádra [cm²] | Okénko pro vinutí na cívku tělesku [mm²] |  |  |  |  |
|--|-----------------|-----------|--|------|------|--------------|------|------|--|------|------|-------|------|------|---------------------|---------------------------------|--|--|--|--|--|--|
|  |                 |           | neimpregnovaný                                 |      |      | impregnovaný |      |      | 25 °C  |      |      | 40 °C |      |      |                     |                                 |  |  |  |  |  |  |
|  |                 |           | 60   | 80   | 100  | 60           | 80   | 100  | 60   | 80   | 100  | 60    | 80   | 100  |                     |                                 |  |  |  |  |  |  |
| 5,9  | 0,58            | Q5,1      | 16   | 20   | 23   | 17           | 23   | 27   | 34   | 36   | 38   | 36    | 38   | 40   | 14,5                | 9,96                            | 0,96                                   | 374                                      |  |  |  |  |
| 5,1  | 0,74            | Q5,2      | 29   | 33   | 35   | 35           | 40   | 43   | 25   | 26,2 | 27,5 | 26    | 27,3 | 28,6 | 9,68                | 12,8                            | 1,44                                   |  |  |  |  |  |
| 4,5  | 0,80            | Q5,3      | 38   | 44   | 50   | 43           | 53   | 60   | 17   | 17,8 | 18,7 | 17,5  | 18,4 | 19,3 | 7,24                | 4,83                            | 1,92                                   |  |  |  |  |  |
| 3,8  | 0,87            | Q5,4      | 60   | 66   | 70   | 66           | 73   | 78   | 13,6   | 14,5 | 15   | 14,1  | 15,5 | 16,4 | 4,83                |                                 | 2,87                                   |  |  |  |  |  |
| 4,1  | 0,83            | Q6,3      | 73   | 85   | 93   | 77           | 89   | 97   | 15,3   | 16,1 | 16,6 | 16,2  | 17   | 17,5 | 6,0                 | 16,2                            | 2,3                                    |  |  |  |  |  |
| 3,8  | 0,86            | Q6,4      | 88   | 102  | 112  | 103          | 120  | 132  | 13,6   | 14,1 | 14,6 | 14,5  | 15   | 15,5 | 4,8                 |                                 | 2,87                                   | 614                                      |  |  |  |  |
| 3,8  | 0,86            | Q7,3      | 110  | 130  | 145  | 120          | 145  | 155  | 13,3   | 13,8 | 14,2 | 14,1  | 14,6 | 15,1 | 4,8                 | 18,1                            | 2,87                                   | 800                                      |  |  |  |  |
| 3,6  | 0,88            | Q8,2      | 180  | 205  | 225  | 200          | 225  | 240  | 10   | 10,3 | 10,6 | 10,5  | 10,8 | 11,1 | 4,0                 | 21                              | 3,45                                   |  |  |  |  |  |
| 3,3  | 0,91            | Q8,3      | 230  | 265  | 280  | 276          | 310  | 340  | 8,8  | 8,9  | 9,0  | 9,4   | 9,5  | 9,6  | 3,0                 |                                 | 4,6                                    | 1140                                     |  |  |  |  |
| 2,85   | 0,93            | Q8,4      | 290  | 350  | 400  | 320          | 390  | 430  | 7,6  | 8,0  | 8,4  | 8,1   | 8,5  | 8,9  | 2,23                |                                 |  |  |  |  |  |  |
| 3,4  | 0,89            | Q9,2      | 320  | 370  | 410  | 350          | 400  | 450  | 10,5   | 11   | 11,5 | 11,1  | 11,6 | 12,1 | 3,2                 | 25,8                            | 4,31                                   |  |  |  |  |  |
| 3,0  | 0,92            | Q9,3      | 420  | 500  | 560  | 460          | 550  | 620  | 7,9  | 8,1  | 8,3  | 8,4   | 8,6  | 8,8  | 2,4                 |                                 | 5,74                                   |  |  |  |  |  |
| 2,6  | 0,94            | Q9,4      | 570  | 650  | 710  | 615          | 700  | 760  | 5,9  | 6,4  | 6,9  | 6,2   | 6,8  | 7,3  | 1,8                 |                                 | 7,65                                   | 1760                                     |  |  |  |  |
| 2,7  | 0,93            | Q10,2     | 600  | 690  | 780  | 650          | 770  | 860  | 6,9  | 7,1  | 7,3  | 7,5   | 7,66 | 7,8  | 2,0                 | 30,6                            | 6,89                                   |  |  |  |  |  |
| 2,5  | 0,95            | Q10,3     | 850  | 980  | 1090 | 910          | 1090 | 1250 | 5,5  | 5,7  | 5,9  | 6,0   | 6,2  | 6,45 | 1,5                 |                                 | 9,2                                    | 2573                                     |  |  |  |  |
| 2,4  | 0,96            | Q11,2     | 1900   | 2180 | 2400 | 2000         | 2400 | 2700 | 4,4  | 4,9  | 6,1  | 4,9   | 5,1  | 5,4  | 1,1                 | 39,8                            | 12,26                                  | 3800                                     |  |  |  |  |

Tab. 9. Údaje pro návrh plášťových transformátorů s jádry Q

|                                |              |                |               |               |              |             |                |             |              |               |              |               |             |               |             |
|--------------------------------|--------------|----------------|---------------|---------------|--------------|-------------|----------------|-------------|--------------|---------------|--------------|---------------|-------------|---------------|-------------|
| $d$ [mm]<br>$S_{vk}/N_k$ [mm²] | 0,1<br>0,021 | 0,125<br>0,031 | 0,14<br>0,038 | 0,16<br>0,047 | 0,18<br>0,06 | 0,2<br>0,07 | 0,224<br>0,086 | 0,25<br>0,1 | 0,3<br>0,15  | 0,315<br>0,16 | 0,355<br>0,2 | 0,375<br>0,22 | 0,4<br>0,24 | 0,425<br>0,27 | 0,45<br>0,3 |
| $d$ [mm]<br>$S_{vk}/N_k$ [mm²] | 0,5<br>0,36  | 0,53<br>0,4    | 0,56<br>0,45  | 0,6<br>0,45   | 0,63<br>0,55 | 0,71<br>0,7 | 0,75<br>0,77   | 0,8<br>0,86 | 0,85<br>0,96 | 0,9<br>1,1    | 0,95<br>1,2  | 1<br>1,2      | 1,06<br>1,5 | 1,12<br>1,6   | 1,18<br>1,8 |
| $d$ [mm]<br>$S_{vk}/N_k$ [mm²] | 1,25<br>1,9  | 1,32<br>2,2    | 1,4<br>2,5    | 1,5<br>2,9    | 1,6<br>3,3   | 1,7<br>3,6  | 1,9<br>4,6     | 2,0<br>5,1  | 2,12<br>5,1  | 2,24<br>6,7   | 2,36<br>7,0  | 2,5<br>7,8    | 2,65<br>8,8 | 2,8<br>9,5    | 3,0<br>11,0 |

Mezinárodně normalizované typy jader C mají označení Q. Řada C byla navržena našim výrobcem jader C, bez ohledu na zahraniční ekvivalenty nebo mezinárodní doporučení. Rozměry jader této řady a jejich vlastnosti jsou podrobně uvedeny v [2]. Řada Q (podle dokumentu IEC 209) má 30 členů a umožňuje konstrukci jednofázových transformátorů od výkonu přenášených jedním jádem 10 VA až do 900 VA. Mezinárodně normalizovaná řada R je určena pro trifázové transformátory pro výkony od 100 VA do 3400 VA. Provedení transformátorů s jádry C není u nás jednotné. Protože náš výrobce jader C výrobu montážních prvků pro transformátory nezajišťuje, každý spotřebitel si sestavu - armaturu - vyvíjí a výrobně zajišťuje sám.

Do navinutého těleska cívky, které je obvykle složeno z pertinaxových dílů, jsou vložena jádra C, která jsou vzájemně stažena šrouby prostřednictvím kovového pásku a spony. K jádrům C jsou přiloženy kovové rámečky, vzájemně sešroubované, které jednak nejsou svorkovnice s vývody vinuti, jednak se jimi transformátory upveřejní. Rámečky umožňují montáž transformátorů ve třech rovinách k sobě kolmých. Sestavené transformátory bývají vakuově impregnované. Impregnace odstraňuje jejich hlučení a zlepšuje odvod tepla.

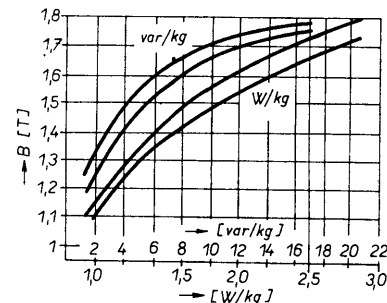
Přehled o změřených přenášených činných výkonech  $P_s$  střídavého proudu

kmitočtu 50 Hz pro transformátory plášťového provedení zjištěných pro různá oteplení je v tab. 8. V téže tabulce jsou i poměrné úbytky napětí  $k_u$  zatíženého transformátoru, se kterými se uvažuje při jejich návrhu. V tabulce je dále uvedena plocha okénka pro vinutí jednotlivých sestav a počet závitů na 1 V. Tento počet závitů  $n$  na 1 V odpovídá max. indukci 1,7 T, dosažené u jader s dolní tolerancí průřezu, s činitelem plnění 95 %, pro kmitočet 49,5 Hz a napětí na primární straně většimu o 10 % proti jmenovitému napájecímu napětí, tedy nejepříznivějšímu případu. Při výpočtu průměru vodičů  $d$  se vychází ze vztahu

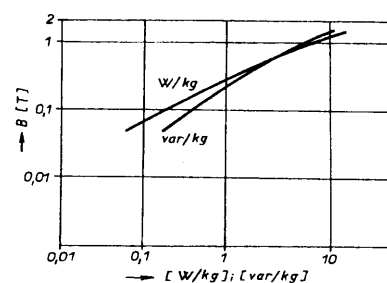
$$S_{vk} / N_k = d^2 / a_{vk},$$

kde  $S_{vk}$  je okénko pro vinutí vyhrazené ktemu vinutí,  $a_{vk}$  je činitel vinutí kteho vinutí náležející vodiči o čistém průměru  $d$ . Uvažuje se, že od tabelovaného okénka pro vinutí je odečtena plocha pro ostatní vinutí i plocha nutná pro izolaci mezi jednotlivými vinutími i pro obal vinutí navinuté cívky. Polovina celkové plochy pro vinutí je přidělena primárnímu vinutí, druhá polovina je rozdělena na jednotlivá vinutí, jejichž okénka pro vinutí  $S_{vk}$  jsou úměrná přenášeným výkonům. Proklady ve vinutí přibližně vždy po 100 V jsou zahrnuty do činitele vinutí. Průměr vodiče určený z předchozí rovnice je v tab. 9. V tabulce je již zahrnut vliv činitele vinutí. Při zkoušení transformátorů vyrobených

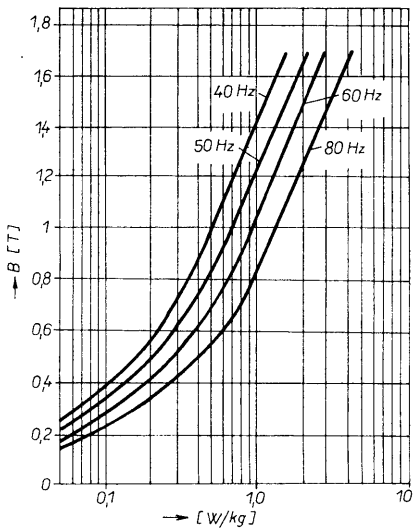
podle těchto údajů odpovídá proud naprázdno obvykle příkonu asi 20 VA na 1 kg hmoty jader. Tento příkon je u transformátorů s menšími typy jader, např. Q5 a Q6, větší, u transformátorů s většími typy jader (např. Q10) je obvykle menší. Jsou-li uvedené údaje překročeny, svědčí to buď o špatné montáži jader nebo o chybém návrhu transformátorů. Některé další údaje o vlastnostech jsou na obr. 14, 15 a 16.



Obr. 14. Ztrátový výkon a reaktanční příkon u jader Q pro 50 Hz. Pásek tloušťky 0,35 mm



Obr. 15. Totéž jako na obr. 14 pro 400 Hz. Pásek tloušťky 0,1 mm



Obr. 16. Ztrátový výkon jader Q pro f v okolí 50 Hz. Pásek t = 0,35 mm

Hlavní podmínka, která omezuje výkon transformátorů, je vývin tepla ve vinutí. Vývin tepla je závislý na druhé mocnině proudu procházejícího vinutím. Připustí-li se zvětšení oteplení vinutí transformátorů o 50 %, tj. např. ze 40 na 60 °C, může se proudová hustota zvětšit jen o 22 %. Výkon transformátorů se rovněž zvětší o 22 %, účinnost transformátorů se však nezmění. Úbytek napětí zjištěný odlehčením transformátorů je rovněž větší o 22 %. Protože cena jader C i Q v porovnání s ostatními jádry je vyšší, je třeba co nejvíce využívat přípustného oteplení a tím zhoršovat použité materiály. Tato stručná úvaha má tyto možnosti naznačit. S využíváním možností magnetických vlastností jader C a Q a přípustných oteplení vinutí, které je umožněno vhodnými izolačními materiály, se současně dosahuje úspor mědi, ocele, hmotnosti, objemu i elektrické energie (pro menší ztráty těchto jader). Při přechodu na výkonové transformátory vyšší tepelné třídy jsou tyto úspory ještě pronikavější.

### Síťové transformátory s toroidními jádry

Nejstarší naši značkou ze skupiny elektrotechnických ocelí s magnetickou texturou, z nichž se vyráběly vinuté toroidy, byl Sonaperm. Plech se užíval i pro výrobu jader C. V normě ČSN 35 1420, která platí od roku 1956 a dosud je doporučena, se na magnetovací křivce v rozsahu středních intenzit magnetického pole zaručovaly vlastnosti, které jsou proti současné u nás vyráběným značkám - Ortoperm a Trafoker - poloviční. V oblastech malých polí má Trafoker více než pětinásobnou permeabilitu. Na základě údajů z katalogu a některých měření lze tento materiál ztotožnit s materiélem zn. Trafoperm N2 firmy Vacuumschmelze GMBH - Hanau. Blízké vlastnosti má také náš materiál s označením Eo10. Ze statistického zpracování výsledků měření elek-

tromagnetických veličin orientovaného transformátorového pásu jakosti Eo10 byly získány typické údaje, které jsou v tab. 10.

Tab. 10. Typické velikosti elektrotechnických veličin plechu Eo10 (ham. průběh B, 50 Hz, t = 0,3 mm)

| Měrný ztrátový výkon [W/kg] |                  |                  | Magnetická indukce [T] |                |                 |                  |
|-----------------------------|------------------|------------------|------------------------|----------------|-----------------|------------------|
| P <sub>1,0</sub>            | P <sub>1,5</sub> | P <sub>1,7</sub> | B <sub>0,3</sub>       | B <sub>5</sub> | B <sub>25</sub> | B <sub>100</sub> |
| 0,43                        | 0,995            | 1,48             | 1,319                  | 1,7            | 1,895           | 2,015            |

Trafoker se vyrábí v tloušťkách 0,35 mm a 0,30 mm. Zaručovaná magnetická indukce nezapouzdřených toroidních jader při kmitočtu 50 Hz je v tab. 11.

Typickou vlastností Trafokera je velká permeabilita v širokém rozmezí magnetické indukce, velká magnetická indukce nasycení a malé přemagnetovací ztráty. Toroidy se vyrábějí s rozměry vnějšího průměru od 40 mm až do 700 mm, vnitřního průměru od 30 mm až 500 mm a výšky od 20 do 200 mm. Výrobce je ochotný vyrábět toroidy i s odlišnými rozměry. Toroidy dosahují činitele plnění 0,95. Průběhy některých magnetických vlastností jsou na obr. 17 až 21.

Nejmenší vnitřní průměry toroidu pro tloušťku pásu 0,3 mm se připoštějí 30 mm. Optimální průměr výšky toroidu k jeho vnitřnímu průměru se pohybuje kolem 1, výjimečně až 2,5.

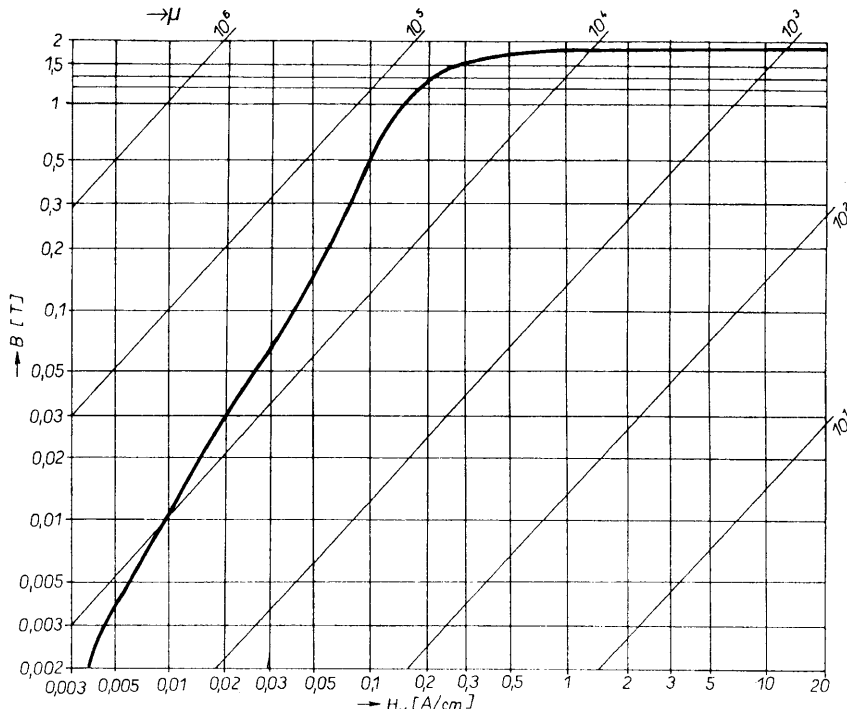
Velkou možnost mohou poskytnout tyto toroidy jako jádra pro výkonové transformátory, které jsou např. v zahraničních zařízeních často používány pro tyto své výhody: při stejném přenášeném výkonu zaujmají přibližně poloviční objem a dosahují jen poloviční hmotnosti proti běžným transformátorkům s plechy EI. Na úspore hmotnosti se přibližně stejnou měrou podílejí úspory na magnetickém materiálu jádra a úspory mědi na vinutí transformátoru. Vzhledem k větší ochlazovací ploše vinutí toroidních transformátorků oproti pláštovým se používá větší proudová hustota, spoří se tím měd. Teplo vzniklé v jádru prostupuje k povrchu vinutí, odkud se odvádí. Povrchem vinutí se odvádí teplo vzniklé jak ve vinutí, tak v jádru. Oteplení transformátoru s toroidním jádrem se odhaduje podle

$$\Delta\vartheta = (P_c + P_v)/(10 \text{ až } 18)C_v \quad [\text{K}, \text{W}, \text{m}^2]$$

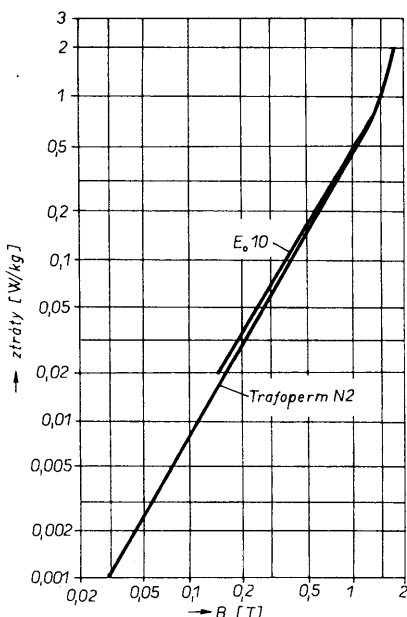
Jejich rozptylové magnetické pole je jen malou částí pole běžných pláš-

Tab. 11. Zaručovaná magnetická indukce nezapouzdřených toroidních jader z Trafokera při kmitočtu 50 Hz

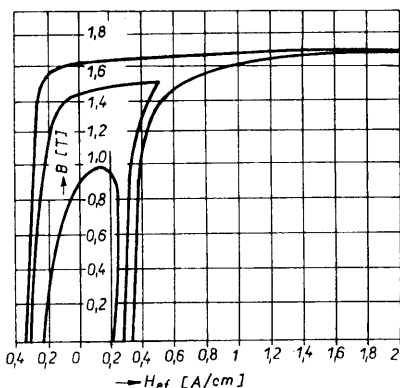
| Kvalita   | Tloušťka pásku [mm] | Intenzita magn. pole (ef) [A/cm] | Magnetická indukce (harm. průběh) [T] |
|-----------|---------------------|----------------------------------|---------------------------------------|
| normální  | 0,35                | 0,03                             | 0,055                                 |
|           |                     | 0,3                              | 1,3                                   |
|           |                     | 1                                | 1,7                                   |
| speciální | 0,3                 | 0,03                             | 0,075                                 |
|           |                     | 0,3                              | 1,4                                   |



Obr. 17. Magnetovací křivka Trafokeru při 50 Hz a harmonickém průběhu magnetické indukce (t = 0,3 mm)



Obr. 18. Ztrátový výkon plechu Eo10 při kmitočtu 50 Hz a harmonickém průběhu magnetické indukce (tloušťka 0,3 mm)



Obr. 20. Hysterezní smyčky Trafopermu N2 při 50 Hz a harmonickém průběhu indukce (tloušťka 0,3 mm)

tových transformátorů. Nevznikají proto problémy s jejich orientací v zařízeních a jejich konstrukce může být stěsnanější. Jejich nejčastější použití je pro výkony 10 až 200 VA. Transformátory s toroidními jádry nehnuci. Některé údaje o rozměrech a hmotnosti síťových transformátorů s toroidními jádry zahraniční výroby jsou v tab. 12.

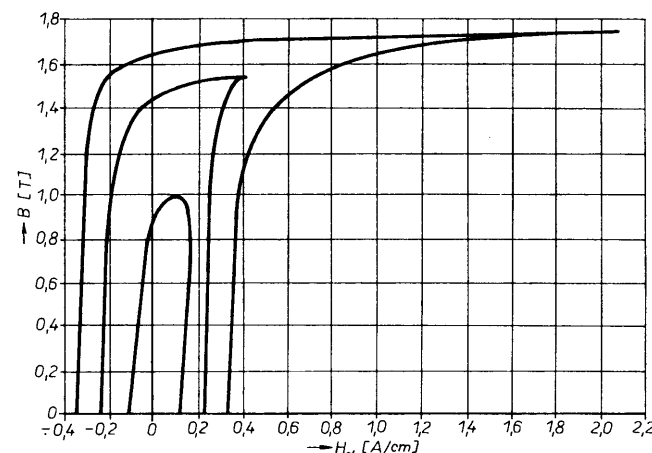
Mnohorstvovým ovíjením se změní tvar ovinutého toroidu tak, jak ukazuje obr. 22. Přípustný vnitřní průměr d<sub>0</sub> je určen plochou vymezenou pro vinutí, jeho minimální průměr je určen rozdíly zásobníku použité kruhové na-víječky.

Vnější průměr transformátoru

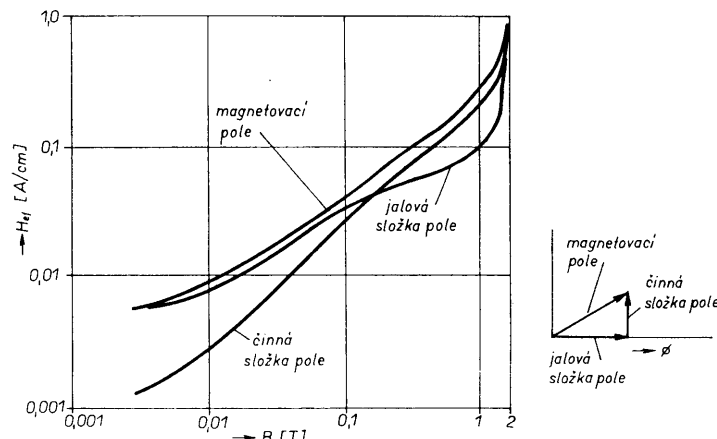
$$d_v = \sqrt{d_3^2 + d_4^2 - d_0^2},$$

výška

$$h_v = h_2 + d_4 - d_0,$$



Obr. 19. Hysterezní smyčky plechu Eo10 při kmitočtu 50 Hz a harmonickém průběhu magnetické indukce (tloušťka 0,3 mm)



Obr. 21. Složky magnetovacího pole (proudu) základní harmonické u materiálu Eo10 při kmitočtu 50 Hz, harmonický průběh indukce (tloušťka 0,3 mm)

průřez pro jednoduché vinutí

$$S_v = (\pi/4)(d_4^2 - d_0^2).$$

K získání průřezu pro dvoudílné, čtyřdílné nebo šestidílné vinutí je nutné odečíst průřez přepážek, které jednotlivá vinutí od sebe oddělují.

Střední délka závitu vinutí

$$I_v = 2h_2 + (\pi/4)(d_4 - d_0 + d_v - d_3 + \sqrt{(d_3 - d_4)^2 + (1/4)(d_4 - d_0 + d_3 - d_v)^2})$$

střední délka magnetické siločáry

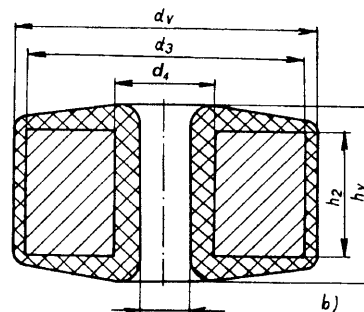
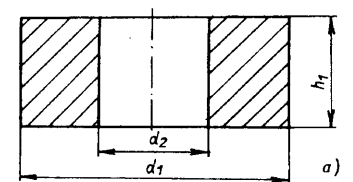
$$I_s = (\pi/2)(d_1 + d_2),$$

magneticky činný průřez jádra

$$S_j = 0,95h_1\{(d_1 - d_2)/2\}$$

Ještě jedna konstrukční odchylka vzhledem k plášťovým transformátorům je významná. U transformátorů, u nichž je jádro přístupné doteku, musí jádro proti vinutí vyhovět elektrické zkoušce 2 kV/1 min. U toroidních jáder, protože jejich celý obvod je ovinutý, je izolace mezi vinutím a jádem dimenzována jen na provozní napětí transformátoru. Jádro se před vinutím ovíjí jen izolační páskou, která

zamezí proříznutí izolace vodiče. Používá se také fluidizace i lakování jádra. Tloušťka vrstvy, podle velikosti jádra, bývá od 0,75 mm do 2 mm. Primární vinutí se izoluje např. třemi vrstvami polyesterové fólie tloušťky 0,05 mm. Taková izolace by vyhověla požadavku elektrické pevnosti až 4 kV/1 min mezi primárním a sekundárním vinutím. Má-li být primární vinutí elektric-



Obr. 22. Rozměry a) toroidu, b) izolovaného a ovinutého toroidu

ky stíněné od vinutí ostatních, vše se na izolované primární vinutí jedna vrstva stínícího vinutí vodičem o tenčím průměru, než jaký je vinuto vinutí primární. Ze stíněného vinutí se vydává jen jeden vývod a celé se opět izoluje. Při maximálním napětí na primárním vinutí, které je způsobeno kolísáním síťového napětí, by neměla být překročena indukce 1,7 T.

Rozhodujícím podnětem pro uplatnění transformátorů s toroidními jádry je však jejich cena. V zahraničí transformátory 10 až 1000 VA s toroidními jádry jsou sice dražší než obvyklé typy, avšak toroidní transformátory 1 kVA až 5 kVA jsou již levnější.

### Autotransformátory a regulační autotransformátory

Autotransformátor má jedno vinutí s odbočkou, proto spotřebič není galvanicky oddělen od sítě.

Autotransformátory pro transformování výkonů potřebují menší velikost než transformátory s dvěma vinutími pro týž výkon.

V proudu  $I_1$  (obr. 23) je obsažena složka magnetovacího proudu. Při zanedbání tohoto proudu bude (vektorově)

$$I_3 = I_2 - I_1,$$

z rovnosti ampérzávitů

$$I_1 N_1 = I_2 N_2$$

a z předchozí rovnice vyplývá velikost proudu  $I_3$

$$I_3 = I_2 \{ (N_1 - N_2) / N_1 \} = I_2 \{ U_1 - U_2 \} / U_1.$$

Vlastní výkon (vnitřní nebo průchodní výkon) autotransformátoru je

$$P_j = U_2 I_3 = U_2 I_2 \{ (U_1 - U_2) / U_1 \}.$$

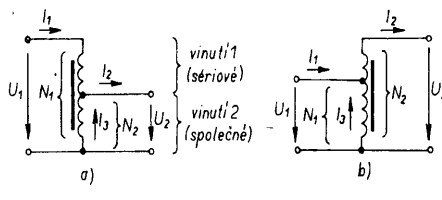
Výkon sériové části autotransformátoru, tj. výkon vinutí 1 je

$$P_j = (U_1 - U_2) I_1 = I_1 U_1 (U_1 - U_2) / U_1.$$

Protože je (při neuvažování odporů vinutí a ztrát v jádru) výkon ode-

Tab. 12. Některé údaje síťových jednofázových transformátorů s toroidními jádry

| Výkon transformátoru [VA] | Hmotnost transformátoru [kg] | Zmenšení napětí při zatížení [%] | Rozměry transformátoru [mm] |       |
|---------------------------|------------------------------|----------------------------------|-----------------------------|-------|
|                           |                              |                                  | vnější průměr               | výška |
| 16                        | 0,43                         | 43                               | 70                          | 20    |
| 22                        | 0,4                          | 25                               | 70                          | 30    |
| 30                        | 0,55                         | 20                               | 70                          | 40    |
| 63                        | 0,85                         | 17                               | 90                          | 50    |
| 90                        | 1,1                          | 15                               | 90                          | 55    |
| 120                       | 1,4                          | 14                               | 95                          | 60    |
| 160                       | 1,8                          | 10                               | 115                         | 65    |
| 300                       | 3,2                          | 8                                | 115                         | 70    |
| 500                       | 4,2                          | 7                                | 135                         | 70    |
| 750                       | 6,8                          | 6                                | 165                         | 75    |
| 1000                      | 9                            | 6                                | 165                         | 85    |
| 1500                      | 12                           | 5                                | 205                         | 85    |
| 2000                      | 15                           | 5                                | 205                         | 95    |
| 3000                      | 23                           | 4                                | 250                         | 100   |



Obr. 23. Autotransformátor  
a) zmenšující napětí, b) zvětšující napětí

bíraný ze sítě  $U_1 I_1$ , a výkon předávaný do spotřebiče  $U_2 I_2$  stejný, je výkon sériového vinutí i vlastní výkon autotransformátoru týž (viz poslední dva vztahy).

Cinitel  $\{U_1 - U_2\} / U_1$  je tzv. redukční cinitel autotransformátoru. Např. pro zadaný výkon, který má být přenášen autotransformátorem, se použije jen taková typová velikost jádra pro transformátor, která bude schopná přenášet výkon  $\{(U_1 - U_2) / U_1\}$ krát menší. Sériová i společná část vinutí zaujmí stejný průřez vinutí. Průměry vodičů ve společném vinutí  $d_2$  a v sériovém vinutí  $d_1$ , za předpokladu stejné hustoty, jsou v poměru

$$d_1 / d_2 = \sqrt{(U_1 - U_2) / U_2}.$$

Sériové vinutí je dimenzováno na proud  $I_1$ .

Maximální vnitřní výkon regulačního transformátoru je uprostřed jeho regulačního rozsahu. Na obě strany regulačního rozsahu se výkon blíží nule. Štítkový údaj výkonu regulačního transformátoru je uváděn pro výstupní napětí  $U_2 = U_1 / 2$ .

Regulační autotransformátory malých výkonů jsou obvykle vinuty na toroidních jádrtech, která jsou buď izolována ovinutím izolační fólie, nebo jsou vložena do pouzder z plastické hmoty. Pouzdra mají na jedné čelní ploše (nebo na vnějším obvodu) kruhové zvýšení, přes které se po vinutí jádra pohybuje sběrač. Jádra opatřená izolací nebo pouzdry jsou ovinuta jednou vrstvou vinutí na vnějším obvodu závit vedle závitu, v úhlu asi

320° vodičem o stejném průměru. Jádra jsou dosti robustní, aby jednak mohl být uložen potřebný počet závitů po vnějším obvodu do jedné vrstvy a jednak bylo napětí na jeden závit malé (několik desetin voltů až 1 V podle výkonu autotransformátoru). Aby bylo možno napětí regulovat bez přerušení, sběrač musí zkratovat vždy několik závitů. Je třeba, aby zkratový proud byl malý, aby izolace vodiče nebyla příliš tepelně namáhána. Omezení zkratového proudu vyžaduje použit vhodné uhlíkové sběrače. Šířka uhlíku bývá 1 mm, délka 10 mm. Jejich doba života se uvádí až 100 000 protocení. Přechodový odpor měď-uhlík omezí mezizávitový zkratový proud. Tomu napomáhá i to, že vinutí bývá někdy navinuto dvěma vodiči současně, „paralelními“ vodiči se také lépe ovíjí jádro než jedním vodičem o větším průřezu. Velikost napětí na jeden závit souvisí však i s požadavkem jemnosti regulace napětí. Regulační autotransformátory pro velký poměr objemu jádra k objemu vinutí mají velký magnetovací proud a tím i velký zapínací proud. Ten se omezuje, způsobuje-li potíže, rezistorem s odporem řádu  $\Omega$ , zapojeným v sérii s autotransformátorem. Rezistor se překlene kontakty relé se zpožděným přitažením, které je současně s autotransformátorem připojeno na síť.

Dostupné u nás jsou vhodné toroidy z materiálů s magnetickou texturou zn. Sonaperm, Ortoperm a Trafoker. Jádra ze Sonapemu jsou vinuta z pásků tloušťky 0,35 mm, 0,13 mm a 0,08 mm. Toroidy z Ortopermu, jejichž základem jsou pásky vyrobené z materiálu Eo9 a Eo10, jsou vyráběny z pásků tloušťky 0,35 mm. Jádra z Trafokeru (kvalita N) jsou z pásků tloušťky 0,35 mm a jádra z téhož materiálu, avšak s magneticky lepšími vlastnostmi (kvalita S) z pásku tloušťky 0,30 mm. Pro regulační transformátory jsou vhodné toroidy z materiálů Ortoperm a Trafoker.

Zjednodušený návrh regulačního autotransformátoru odpovídá tomuto postupu: Z požadovaného výkonu a napájecího napětí  $U_1$  se zjistí výstupní proud

$$I_2 = P_j / (U_1 / 2).$$

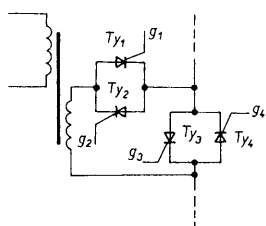
Průměr vodiče vinutí je dimenzován na proud  $I_2 / 2$ . Vzhledem k dobrému chlazení vinutého toroidu se používá velká proudová hustota. Při použití 0,5 V/1 závit je třeba při napájecím napětí 220 V na odbočce 440 závitů. Celkový počet závitů pro výstupní napětí do 250 V je 500. Z transformátorové rovnice při volbě indukce 1,6 T pro jádro z Trafokeru a 1,5 T pro jádro z Ortopermu se určí jeho požadovaný průřez. Geometrický průřez jádra se zvětší s ohledem na činitel plnění. Pro pás tloušťky

0,35 mm je činitel plnění toroidů 0,92. Vnější průměr  $D$  izolovaného toroidního jádra se určí z rovnice

$$(320/360) \cdot \pi \cdot D = 500 d_1$$

S ohledem na malou šířku sběračů by neměl být vnější průměr  $d$ , vodiče menší než 0,6 mm. Vnitřní průměr izolovaného toroidu musí být poloviční, neboť na něm budou navinuty dve vrstvy vodiče. Z katalogu výrobce toroidních jader by se vybral blízký typ, jemuž by se přizpůsobil počet závitů, průměr vodiče a úhel ovinutí.

Číslicová technika umožnuje řešit regulační transformátory spínáním binárně odstupňovaných sekcí sekundárního napětí transformátoru. Činnost se řídí impulsy z jednočipového mikropočítače v závislosti na žádaném výstupním napěti. Např. rozsah výstupního napěti od 0 do 255 V s regulačním krokem 1 V se dosáhne osmibitovým binárním číslem. Sekundární vinutí transformátoru obsahuje 8 sekcí s napětím 1, 2, 4, 8, 16, 32, 64 a 128 V. Jednotlivé sekce se spínají antiparalelním zapojením tyristorů. Zapojení jedné sekce je na obr. 24.



Obr. 24. Regulační transformátor s elektronicky spinanými sekczemi

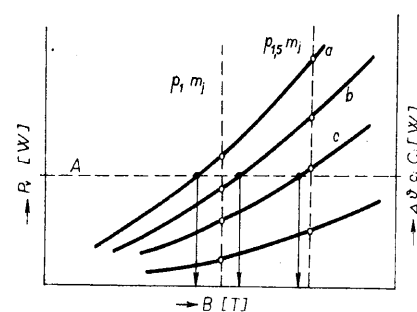
Vedou-li tyristory  $Ty_1$  a  $Ty_2$ , řízené impulsy z  $g_1$  a  $g_2$ , tj. vede-li tyristor  $Ty_1$  v kladné půlperiodě a tyristor  $Ty_2$  v záporné půlperiodě, tyristory  $Ty_3$  a  $Ty_4$ , které jsou řízeny impulsy z  $g_4$  a  $g_3$ , nevedou. V tomto případě se napětí této sekce přičítá k ostatnímu. Nemá-li se přičítat napětí této sekce k ostatním, tyristory  $Ty_1$  a  $Ty_2$  nevedou,  $Ty_3$  a  $Ty_4$  vedou.

### Elektrotechnické plechy

Magnetické obvody silových transformátorů a točivých strojů jsou zhotoveny z elektrotechnické oceli vyválcované do tenkých tabulí nebo pásů, které se označují jako elektrotechnické plechy. U nás jsou k dispozici typy označované Eo a Ei. Nejstarším typem, nedávno vyběhlým z výroby, byly ocele zn. Et (elektrotechnické plechy tabulové). Jejich mechanické i magnetické vlastnosti byly odlišné od současně vyráběných ocelí. Magnetické vlastnosti plechů Eo a Ei jsou propracované, cílem při výrobě je dosáhnout úzkých tolerancí tloušťek plechů a neproměnnost tloušťek v různých

ných jejich místech, aby se dosáhlo co největšího plnění magnetického obvodu a co největší stálosti magnetických vlastností. Kritickými se stávají magnetické vlastnosti u elektrických strojů velkých výkonů, u nichž se ne-příznivě zmenšuje poměr povrchu k objemu a zhoršuje se tím jejich chlazení. Přípustné oteplení se stává jednou z rozhodujících podmínek omezujičejich jejich výkon. Magnetické vlastnosti elektrotechnických plechů jak pro výrobu strojů, tak transformátorů malých výkonů nejsou tak kritické. Nezmění se, je-li magnetický obvod složen z plechů o jeden nebo i několik stupňů lepší kvality. Silně se projevuje vliv mechanického zpracování plechů do výrobků, stahování, kvalita lisovačního nástroje apod., takže se někdy dojde i k protichůdným závěrům o magnetické kvalitě použitého materiálu. U transformátorů s výkonem nad 100 kVA z celkových ztrát připadá asi 50 % na ztráty způsobené magnetickým materiálem jádra, u transformátorů s výkonem nad 10 kVA asi 25 %, u transformátorů s výkonem do 1 kVA kolem 10 %. Uvažujme transformátor s výkonem 1 kVA, s účinností 95 % a podílem ztrát v jádru 20 %. Na jádro připadá tedy 10 W ztrátového výkonu. Vezme-li se na jádro tak kvalitní plech, že se ztráty zmenší na polovinu, zvětší se tím účinnost transformátoru jen o 0,5 %. Kvalitní elektrotechnické plechy nepodmiňují úspěšnou výrobu malých transformátorů, ale přímo určují možnost výroby velkých transformátorů a strojů. U malých transformátorů je výběr vhodného materiálu předně otázkou ekonomickou a až v druhé řadě technickou. Požadavek přispívající ke zlepšování technických vlastností zařízení, vyráběných z těchto plechů při současném snižování ceny zařízení je, aby střední velikosti magnetických vlastností byly co nejbližší krajní zaručované velikosti, a aby tyto vlastnosti dalším zpracováním byly zachovány. Vlastnosti materiálů jsou potom dobré využity.

Technologická náročnost výroby kvalitních tříd elektrotechnických plechů se projevuje i v jejich ceně. Následné třídění vyrobených plechů ovlivňuje i počet tříd kvality, které jsou odstupňovány v desetinách a jednotkách ztrátového čísla. Je věcí konstrukterů rozhodnout o volbě materiálu jádra transformátoru. Volba je výslednicí technické a hospodářské úvahy. Na obr. 25 je soubor křivek průběhu celkového ztrátového výkonu jádra z elektrotechnických plechů kvality a, b, c ... v závislosti na magnetické indukcii. Ke zvolené velikosti jádra o hmotnosti  $m_j$  a volbě zn. plechu nalezejí celkové ztráty v jádru  $P_{v,j}$ . Transformátor v přirozeném prostředí může povrchem jádra, které je ve styku s volně proudícím vzduchem, odvést jen určitý ztrátový výkon, který odpovídá oteplení, ochlazovací konstantě  $c_j$  a chladicímu povrchu jádra



Obr. 25. Schematicky naznačená souvislost mezi poměrným ztrátovým výkonem plechů, přijatelnými ztrátami v jádru a přípustnou magnetickou indukcí,  $m_j$  je hmotnost jádra, A - přijatelné celkové ztráty s ohledem na dovolené oteplení transformátorového plechu

C. Tuto podmínu splňují plechy, ne-překročí-li se u nich vyznačená magnetická indukce. Čím větší je ztrátové číslo plechu a čím je tedy plech levnější, tím menší indukce musí být použita. Zvětšuje se však oteplení vinutí, neboť musí být použit vodič menšího průměru. Vyřeší-li se, aby byl v souladu tento technický problém, nemusí být příznivě ekonomické hledisko, neboť náklady na materiál jádra a vinutí nemusí být vyvážené. Pak je obvykle třeba zvolit plech jiné jakosti, popř. jádro jiné velikosti.

### Elektrotechnické plechy Eo

Tabulové plechy pro transformátory jsou nahrazovány kontinuálně vyráběnými svítky pásu Eo, válcovanými za studena. Technologickým zpracováním dochází k orientaci krytalů a tím k magnetické textuře.

Pásy jsou kontinuálně oboustranně opatřovány izolační vrstvou Kerisol o tloušťce 2 a 5 µm, která zabírá jednak vzájemnému svaření svítků při tepelném zpracování, jednak vzájemně elektricky izoluje plechy v magnetickém obvodu pro zmenšení ztrát vlivem proudy. Pásy mají hladký povrch, rovnoramenné i mechanické vlastnosti. Pásy tepelně zpracované jsou dodávány ve svítích o průměru do 1,1 m o šířce pásu 500 až 750 mm a jako plechy o šířce 500 až 750 mm a délce 1500 a 2000 mm a hmotnosti až 2,5 t. Výseky z těchto plechů se již obvykle dále tepelně ne-zpracovávají. Je-li to nutné, doporučuje se regenerační tepelné zpracování při teplotě 820 °C po dobu dvou hodin v ochranně nebo normální atmosféře podle druhu izolace. Tyto plechy jsou označovány jako Eo (elektrotechnický plech orientovaný). Elektrotechnické plechy Eo se v zahraniční literatuře označují jako plechy se strukturou GOSS (Grain Oriented Silicon Steel).

Plechy Eo se vyrábějí v druzích Eo 10, Eo 11, Eo 12, Eo 13, Eo 15 a Eo 17 a v tloušťkách 0,3 až 0,35 mm s tolerancí +10 %. Čísla znamenají ztrátové číslo  $p_{1,5}$ , vyjádřené v deset-

nách W/kg. Nejdůležitější vlastnosti jsou popsány v normách ČSN 420231 a ČSN 426341. V zahraničí se vyrábějí v tloušťkách 0,32, 0,30, 0,27, 0,12, 0,08, 0,05 a 0,025 mm. Těchto malých ztrát však dosahují plechy jen tehdy, uzavírá-li se indukční tok ve směru válcování. V tomtéž směru dosahují tyto plechy indukce blízké nasycení při menších polích než dříve vyráběné plechy Et. Právě tyto vlastnosti způsobují jejich široké uplatnění, ačkoliv jejich cena na 1 kg je proti ceně plechů Et několikanásobně vyšší. Navzdory tomu pro menší ztráty v magnetickém obvodu a snadněji dosahované větší indukce umožňují zmenšit magnetické obvody, takže při rozboru celkových nákladů se dosahuje úspor několika tisíc Kč na 1 t plechů. Nejpoužívanější jsou plechy Eo 10 a Eo 11, některé jejich vlastnosti jsou v tab. 13. Činitel plnění plechů Eo při tlaku 40 až 50 N na cm<sup>2</sup> je 97 až 98 %. Činitel stárnutí

$$A_p = (p_b - p_a) / p_a \cdot 100 \%$$

se zjišťuje ze změny  $p_{1,5}$  u plechů ohřátých po dobu 120 hodin na 120 °C. Je menší než 3 %. Počet ohybů podél směru válcování má být větší než 3. Izolační odpor zjištěný při tlaku do 100 N/cm<sup>2</sup> je větší než 20 Ω. Při větším tlaku se izolace poruší. Nebezpečí ztráty izolačních vlastností vrstvy mechanickým tlakem nepřiznivě ovlivňuje i magnetovací charakteristiku.

→ V jádřech transformátorů by tento tlak neměl být větší než 40 až 50 N/cm<sup>2</sup>.

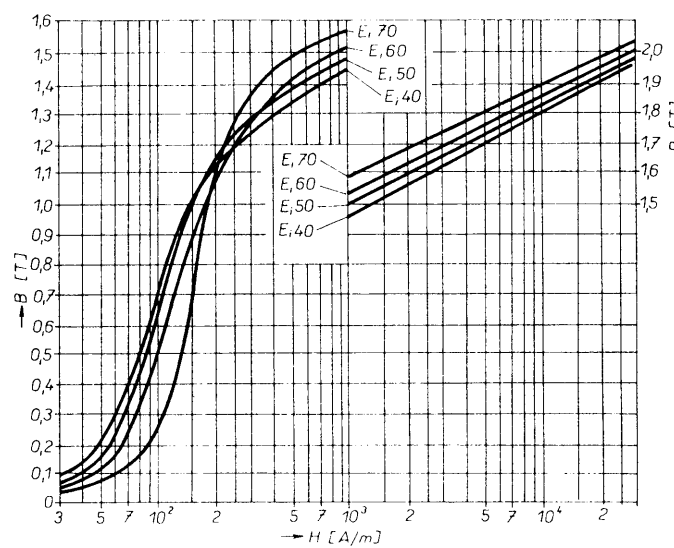
Při zpracování plechů Eo vzniká odpad, z něhož se po ořezání na určité šířky vyrábějí jádra C. Tím se dále z hospodářní použití těchto materiálů.

### Elektrotechnické plechy Ei

Při výrobě asynchronních elektromotorů a pro výsekry plechů pro jádra malých transformátorů se používají elektrotechnické plechy Ei. Tyto plechy jsou magneticky izotropní. Jejich magnetické vlastnosti měřené

Tab. 14. Některé magnetické vlastnosti plechů pro elektrotechniku z pásov, válcovaných za studena, magneticky izotropní, podle ČSN 41 0234. U značky jakosti první součíslí je stonásobek měrného ztrátového výkonu, druhé stonásobek jmenovité tloušťky plechu. Poslední číslice označuje druh zpracování a obsah křemíku (zjištěno na „malém“ Epsteinově přístroji podle ČSN 34 5887)

| Značka | Značka   | Tloušťka | Měrný ztrátový výkon max. |           | Min. indukce [T] při amplitudě int. magn. pole [A/m] |      |       | Činitel anizotropie [%] | Hustota [g/cm <sup>3</sup> ] |
|--------|----------|----------|---------------------------|-----------|--|------|-------|-------------------------|------------------------------|
|        |          |          | $p_1$                     | $p_{1,5}$ | 2500   | 5000 | 10000 |                         |                              |
| Ei70   | 700-65-4 | 0,65     | 3                         | 6,8       | 1,56   | 1,65 | 1,76  | ±12                     | 7,80                         |
| Ei60   | 630-65-4 | 0,65     | 2,6                       | 6,0       | 1,56   | 1,65 | 1,76  | ±12                     | 7,75                         |
| Ei80   | 800-50-4 | 0,50     | 3,5                       | 8,0       | 1,58   | 1,68 | 1,78  | ±12                     | 7,80                         |
| Ei70   | 700-50-4 | 0,50     | 3,0                       | 6,8       | 1,58   | 1,67 | 1,78  | ±12                     | 7,80                         |
| Ei60   | 600-50-4 | 0,50     | 2,6                       | 6,0       | 1,58   | 1,67 | 1,78  | ±12                     | 7,75                         |
| Ei55   | 580-50-4 | 0,50     | 2,3                       | 5,3       | 1,56   | 1,65 | 1,76  | ±12                     | 7,75                         |
| Ei50   | 500-50-4 | 0,50     | 2,0                       | 4,7       | 1,55   | 1,64 | 1,75  | ±14                     | 7,70                         |
| Ei45   | 440-50-4 | 0,50     | 1,8                       | 4,3       | 1,54   | 1,64 | 1,74  | ±14                     | 7,70                         |
| Ei40   | 400-50-4 | 0,50     | 1,7                       | 4,0       | 1,53   | 1,62 | 1,73  | ±14                     | 7,65                         |



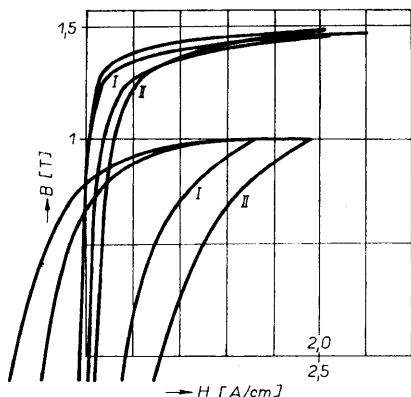
Obr. 26. Dynamická magnetovací křivka (50 Hz, sin B, tloušťka 0,5 mm)

v různých směrech, hlavně ve směru válcování nebo kolmo k němu, jsou prakticky stejné. Plech je hladký, dosahuje se dobrého činitele plnění. Pásy se dodávají ve svitcích o váze do 2,5 t o průměru do 2,5 m a šířce pásu zatím 500 mm, plechy v délkách od 1400 do 2500 mm.

Tab. 13. Některé magnetické vlastnosti plechů a pásov pro elektrotechniku, válcovaných za studena, s magnetickou texturou podle ČSN 42 0231, pro tloušťky 0,3 a 0,35 mm. U značky jakosti je první dvoučíslí stonásobkem měrných ztrát, druhé stonásobkem jmenovité tloušťky plechu. Poslední číslice 1 představuje zvětšenou permeabilitu plechu, 2 plechy se zmenšenými ztrátami a 3 s běžnými magnetickými vlastnostmi. Údaje byly zjištěny měřením na „malém“ Epsteinově přístroji podle ČSN 34 5887

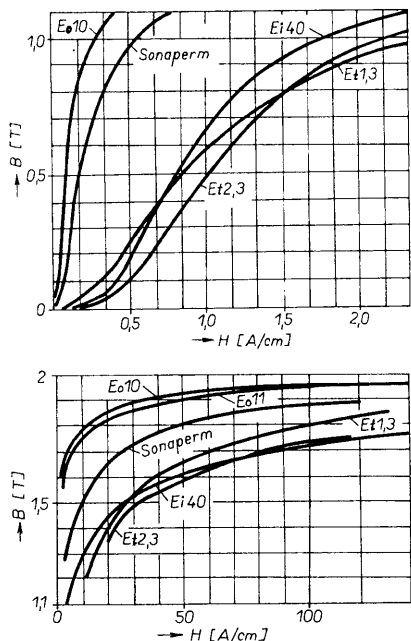
| Značka jakosti | Měrný ztrátový výkon max. |           | Min. indukce [T] při amplitudě intenzity magn. pole [A/m] |      |      |       | $\rho$ [μΩcm] | Značka výrobce |
|----------------|---------------------------|-----------|---|------|------|-------|---------------|----------------|
|                | $p_{1,5}$                 | $p_{1,7}$ | 100   | 1000 | 2500 | 10000 |               |                |
| 140-30-2       | 1,40                      |           | 1,61  | 1,77 |      |       |               |                |
| 150-30-2       | 1,50                      |           | 1,60  | 1,77 |      |       |               |                |
| 150-35-2       | 1,50                      |           | 1,61  | 1,77 |      |       |               |                |
| 160-35-2       | 1,60                      |           | 1,60  | 1,77 |      |       |               |                |
| 092-30-3       | 0,92                      | 1,55      | 1,80  | 1,90 | 1,98 |       | 40            | Eo10           |
| 097-30-3       | 0,97                      | 1,60      | 1,77  | 1,85 | 1,98 |       |               | Eo10           |
| 107-30-3       | 1,07                      | 1,70      |   | 1,80 | 1,96 |       |               | Eo11           |
| 101-35-3       | 1,01                      | 1,65      |   | 1,80 | 1,88 | 1,98  |               | Eo11           |
| 110-35-3       | 1,11                      | 1,75      |   | 1,70 | 1,84 | 1,96  |               | Eo11           |
| 120-35-3       | 1,20                      | 1,90      |   | 1,70 | 1,80 | 1,94  |               | Eo12           |
| 130-35-3       | 1,30                      | 2,10      |   | 1,67 | 1,80 | 1,92  |               | Eo13           |
| 150-35-3       | 1,50                      | 2,40      |   | 1,62 | 1,76 | 1,90  |               | Eo15           |

Plechy Ei se vyrábějí v kvalitě Ei 40, Ei 45, Ei 50, Ei 55, Ei 60, Ei 70, Ei 80 o tloušťkách 0,50 a 0,65 mm ± 8 %. Čísla opět znamenají ztráty v desetinách wattu na kilogram při 1,5 T, 50 Hz. Ztráty a indukce jsou v tab. 14. Dynamické křivky magnetování jsou na obr. 26. Z dalších vlastností jsou významné: Klínovitost, která při šířce pásu od 300 mm do 500 mm a při tloušťce 0,5 mm napříč pásu musí být menší než 0,02 mm, ohyby mají být 30 až 60, napříč 25 až 55, pevnost v tahu 280 až 450 N/mm<sup>2</sup>, tažnost 15 až 25 %, stárnutí max. 6 % při  $p_{1,5}$  a 150 °C/150 h, anizotropie magnetické indukce  $B_{25}$ , zjištěná jako rozdíl ve směru a kolmo ke směru válcování při 25 A/cm je menší než 0,13 T. Rozdíl  $p_{1,5}$  v těchže směrech je rovněž menší než 12 %. Pásy jsou po obou stranách opatřeny organickým lakem zn. Sulfisol. Tloušťka vrstvy je 5 μm. Výsekry nevyžadují dodatečné tepelné zpracování. Charakter technologie výroby plechů typu Ei je obdobný výrobě plechů Eo. Plechy Ei



Obr. 27. Změna statických nenasycených hysterezních smyček stárnutím u Ei 60

I - před zkouškou stárnutím, II - po zkoušce stárnutím



Obr. 28, 29. Magnetovací křivky ve středních a silných polích. Harmonický průběh B, 50 Hz

mají však ještě menší obsah křemíku (1 až 1,6 %) než plechy Eo,  $\rho = 30 \mu\Omega\text{cm}$ . Na obr. 27 je změna tvaru hysterezních smyček vlivem stárnutí.

Vlastnosti elektrotechnických plechů Ei jsou zaručované normou „Plechy a pásky za studena válcované“, ČSN 42 0234. Z elektrotechnických plechů dosahují plechy Ei největšího objemu výroby. Aby se dosáhlo co nejlepšího využití vlastností plechů, navrhují se výrobky podle typických nebo katalogových údajů materiálů, které udávají střední vlastnosti dosažované výrobcem.

Plechy jsou členěny podle měřených ztrát a průběhu magnetické indukce za kolencem magnetovací křivky. Průběh v oblasti malých indukcí není zaručován. Lze jen usuzovat, že čím menší jsou ztráty, tím větší je počáteční permeabilita. Podobně je větší počáteční permeabilita u plechů s větším obsahem křemíku, naproti

tomu je menší jejich indukce nasycení.

Transformátorové plechy Ei se používají i pro jádra sdělovacích transformátorů. V některých případech je požadavek velké počáteční permeabilita sdělovacích transformátorů kombinován s požadavkem velké indukce nasycení, neboť kromě malých intenzit hovorových proudů přenášejí tyto sdělovací transformátory i proudy vyzváněcí mnohonásobně větší. Právě pro tyto účely jsou v zahraničí používány plechy válcované za studena s poloorientovanou texturou.

Jádra síťových transformátorů pro slaboproudou techniku tvaru M nebo Ei se vyrábějí většinou z plechu Ei 40 nebo Ei 50. Část jader transformátorů je nahrazována jádry C, která jsou vyráběna z plechu Eo.

Vzájemné porovnání vlastností elektrotechnických plechů je na obr. 28 a obr. 29.

#### Další druhy elektrotechnických plechů

V zahraničí jsou vyráběny plechy, které mají v pásu dva vzájemně kolmé směry snadného magnetování. Jsou označovány jako plechy s kubickou strukturou. Zatímco se u plechů se strukturou GOSS při zmenšování tloušťky plechu zhoršuje uspořádání krystalické struktury, takže např. počáteční permeabilita pro tloušťku plechu 0,05 mm se zhorší 7x proti tloušťce 0,32, je toto zhoršení u plechů s kubickou texturou ani ne dvojnásobné. Svým složením i účelem používají patří plechy s kubickou texturou rovněž do skupiny elektrotechnických plechů, které jsou ocelemi. Průmyslově jsou v zahraničí vyráběny od r. 1957. Jejich předností je, že není prakticky rozdíl v magnetických vlastnostech ve směru válcování nebo kolmo k němu. Ztráty jsou jen o 17 % větší kolmo ke směru válcování, zatímco u plechů s texturou GOSS jsou o 260 % větší (tab. 15). Nedostatkem však je nákladnost jejich výroby.

Zcela novým materiélem pro stavbu výkonových transformátorů je slitina Fe92Si5B3, vyráběná technologií rychlého chlazení. Proti současným nejlepším ocelím pro elektrotechniku má jen třetinové ztráty - očekává se, že se průmyslově ke stavbě transformátorů uplatní již v druhé polovině devadesátých let. Technologie výroby magnetických materiálů rychlým chlazením umožňuje vyrábět pásky o

Tab. 16. Některé údaje magnetických materiálů zn. CV49 (49 % Co, 49 % Fe, 2 % V, 50 Hz, sin. průběh B, tloušťka 0,2 mm)

| Označení | $p_1$ | $B_{25}$ [T, A/cm] | $B_{100}$ [T, A/cm] | $\rho$ [ $\mu\Omega\text{cm}$ ] |
|----------|-------|--------------------|---------------------|---------------------------------|
| CV49     | 1     | 2,2                | 2,33                | 27                              |

tloušťce jen několik desítek mikronů - magnetickými obvody jsou toroidy a jádra C.

Vzhledem k rychlému chlazení nedojde buď k nukleaci zárodku krystalického zrnu vůbec nebo je jejich růst velmi omezen. Výsledkem je mezikrystalická struktura, v níž atomy nezaujmají rovnovážné polohy. Materiály mají vlastnosti velmi odlišné od kovových krystalických látek. Mají omezenou tepelnou stabilitu (přibližně do jedné poloviny Curieho teploty vyjádřené v K), malou magnetickou anizotropii, velký elektrický odpor, nulovou magnetostriktci, velkou korozivzdornost, velkou pevnost a velkou otěruvzdornost. Mimo silové transformátory velkých výkonů, kde má být těžiště jejich uplatnění, se používají pro měřící transformátory proudu, magnetonfonové hlavy a stínění.

Pro nekrystalickou strukturu se označují také jako magnetické amorfické látky nebo magnetická skla. Používá se již několik druhů složení, např. CoFeSiB, CoNbZr apod.

Pro speciální výrobu malých strojů a transformátorů se používají slitiny Fe, Co s 35 % nebo 49 % Co. Vybrané údaje magnetických vlastností slitiny CV49, která se vyrábí u nás, jsou v tab. 16.

Kvalita výroby elektrotechnických plechů, vyráběných ve velkém objemu s rovnoměrnými vlastnostmi, je značně závislá na úrovni měřicích metod a měřicích přístrojů. Vlastnosti se kontrolují v celém výrobním procesu a hodnotí se statistickými metodami. Tyto metody, zvláště pak statistické zjišťování magnetických vlastností, jsou ověřeny úspěšnou praxí výrobců plechů i spotřebitelů. Základem pro zjišťování magnetických vlastností plechů Ei a Eo je malý Epsteinův přístroj (ČSN 34 5871) a pro všechny druhy třídicí linky fy Siemens-Halske, na níž se měří celá výroba. Na lince se průběžně zjišťuje  $p_1$ ,  $p_{1,5}$  a  $B_{25}$ . Korelace mezi timto zařízením a Epsteinovým přístrojem se uskutečňuje metodami regresivní analýzy. Výsledky zpracovává počítač.

Tab. 15. Porovnání průměrně dosažovaných velikostí typických veličin u plechů se strukturou GOSS a s kubickou strukturou

| Struktura       | $B_{160}$ [T, A/m] |                      | $p_{1,5}$          |                      |
|-----------------|--------------------|----------------------|--------------------|----------------------|
|                 | ve směru válcování | kolmo ke směru válc. | ve směru válcování | kolmo ke směru válc. |
| kubická textura | 1,7                | 1,65                 | 0,95               | 1,1                  |
| GOSS            | 1,67               | 1,2                  | 1                  | 2,7                  |

Měření magnetické indukce a ztrát elektrotechnických plechů náleží k nej-přesnějším měřicím metodám pro zjištování magnetických vlastností. Reprodukovatelnost naměřených výsledků (tj. porovnání s výsledky naměřenými na jiných pracovištích) je lepší než 2 %. Na údajích magnetické indukce (uvádí se v katalogech na tři místa) je patrný tlak spotřebitelů. Katalogové údaje indukce se u světových výrobců elektrotechnických plechů vzájemně odlišují o méně než 1 % a již i takto malá odlišnost působí konkurenčním tlakem.

Měřicí metoda Epsteinovým přístrojem je vzájemně dohodnutá přejímací metoda, zatím nejdokonalejší, mezi výrobcem a spotřebitelem. Vychází však z tvaru vzorku, který vzhledem k prakticky používaným magnetickým obvodům je velmi malý a má i velmi malou hmotnost. Pro vyhodnocování naměřených výsledků používá některých smluvěných údajů, jako je střední délka magnetické siločáry a měrná hmotna vzorku. Výsledky získané na Epsteinově přístroji neposkytují proto úplnou záruku úspěchu při převádění naměřených hodnot z Epsteina přístroje na konstruované zařízení. S tímto rizikem při používání elektrotechnických plechů je nutné počítat.

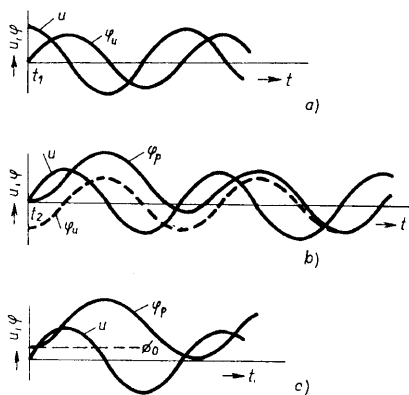
### Zapínací proudy u jednofázových transformátorů

U zařízení, která mají síťový transformátor, se při nevhodně dimenzovaných pojistikách stává, že se jakoby náhodně přeruší při zapínání zařízení. Při zapnutí zařízení totiž vzniká proudový náraz, jehož velikost závisí na fázi napětí právě připojeného k transformátoru. Při zjednodušení a uvažuje-li se transformátor naprázdno je, má-li síťové napětí průběh

$$u = U_{\max} \cos \omega t$$

ustálený průběh indukčního toku

$$\phi_u = \Phi \sin \omega t$$



Obr. 30. Průběh indukčního toku transformátoru při jeho připojení v době a) minimálního napětí, b) nulového napětí, c) nulového napětí, má-li transformátor zbytkovou remanenci

shodný i s průběhem magnetovacího proudu. Zapne-li se transformátor v době  $t_1$  (obr. 30a), odpovídá vrcholové hodnotě napětí nulový indukční tok a tedy i nulový magnetovací proud. Proudový náraz nevznikne a vznikne ihned indukční tok ustáleného průběhu. Zapne-li se však v okamžiku  $t_2$ , kdy  $u = 0$ , je v tomto okamžiku  $i = \phi = 0$ . Proto vzniká přechodná složka indukčního toku o amplitudě, která se rovná amplitudě indukčního toku, které se dosahuje při ustáleném stavu. K této složce toku se superponuje indukční tok cosinového průběhu ustáleného stavu. V součtu dosáhnou oba toky za polovinu periody dvojnásobné hodnoty (obr. 30b). Vzniklá stejnosměrná složka toku postupně dozínává.

Oba toky v době  $T/2$  dosáhnou velikosti  $2\Phi$ . Mělo-li jádro ve výchozím stavu kladný zbytkový indukční tok, zvětší se vrcholová hodnota indukčního toku při přechodném jevu ještě o tento zbytkový indukční tok (obr. 30c), takže maximální hodnota přechodné složky indukčního toku v tomto případě bude

$$\Phi_{\max} = \Phi_0 + 2\Phi .$$

Nepříznivá pro naznačené průběhy napěti je kladná zbytková remanence. U plechů s magnetickou texturou je třeba uvažovat zbytkovou remanenci 0,9 až 1 T, u ostatních druhů 0,6 až 0,75 T.

Je-li např. transformátor navržen pro indukci v jádru 1,7 T a kdyby se indukční tok uzavíral jen průřezem jádra, indukce v jádru při přechodném ději by dosáhla až 3,4 T, je-li při připojení transformátoru síťové napětí rovno nule a jádro bez zbytkové indukce. To povede k přesycení jádra. Výsledkem bude prudké zvětšení magnetovacího proudu (obr. 31), který dosahuje až několikanásobku jmenovitého primárního proudu. Indukční tok mimo průřez jádra prochází i vinutím, kterým je ohraničen. Uzavírá se dvěma paralelními cestami: průřezem jádra  $S_j$  a průřezem (průměrným) vinutí  $S_p$  (obr. 32). Proto

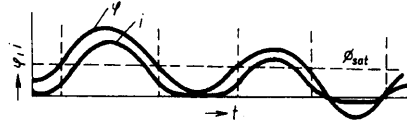
$$\Phi_{\max} = B_{j\max} S_j + B_{p\max} S_p ,$$

kde  $B_{j\max}$  a  $B_{p\max}$  jsou maximální indukce v jádru a v ploše  $S_p$  při přechodném ději.

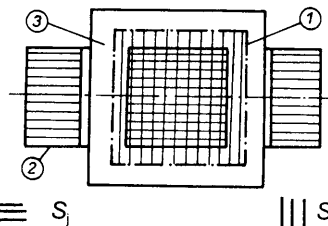
Přitom  $B_{j\max} > B_{sat}$ . Oba indukční toky jsou buzeny týmž magnetickým napětím, kde  $N_1$  je počet primárních závitů a  $I_{m\max}$  vrcholová hodnota magnetovacího proudu při přechodném ději. Je tedy

$$B_{p\max} = \mu_0 H_{\max}, \\ B_{j\max} = B_{sat} + \mu_0 H_{\max},$$

kde  $H_{\max}$  je vrcholová hodnota intenzity magnetického pole, o které předpokládáme, že je stálá na střední délce magnetické siločáry magnetického obvodu. Po dosazení uvedených rov-



Obr. 31. Průběh indukčního toku a magnetovacího proudu u transformátoru při jeho připojení v době nulového napětí



Obr. 32. Označení ploch k výpočtu  $\Phi_{\max}$  (kolmý řez k ose plášťového transformátoru). 1 - střední délka závitu, kterou je přibližně ohrazen indukční tok. Uvnitř v průřezu vinutí je tok rovnoměrně rozložen. Výsledný tok, který prochází jádrem, je větší než tok, procházející vinutím, 2 - jádro, 3 - vinutí,  $S_j$  je průřez jádra,  $S$  celková plocha, kterou prochází indukční tok,  $S_p = S - S_j$  je střední průřez vinutí, kterým prochází indukční tok

nic do vztahu pro  $\Phi_{\max}$  se získá

$$\Phi_{\max} = B_{sat} S_j + \mu_0 H_{\max} (S_j + S_p) = \\ = B_{sat} S_j + \mu_0 H_{\max} S_p .$$

Tento indukční tok není rovnoměrně rozložen v celé ploše  $S$ . Tato rovnice umožňuje určit  $H_{\max}$  a potom odhadnout maximální magnetovací proud

$$I_{m\max} = (H_{\max} l_s) / N_1 .$$

Nepřesnost výpočtu spočívá především v tom, že se odhaduje délka siločáry, na které je  $H_{\max}$  stálá, a dále v určení plochy  $S_p$ .

Při zatížení transformátoru se magnetovací proud v primárním vinutí daleještě zvětšuje o proud do záteže. S přesycováním jádra transformátoru se zvětšuje rozptylová indukčnost, neboť magnetická vodivost jádra se zmenší. Zvětšuje se na ní a na odporu vinutí úbytek napětí. To opět zmírňuje zvětšení magnetovacího proudu přechodným jevem. Přechodná složka magnetovacího proudu se zmenší půdle časové konstanty obvodu, v němž se tento děj uskutečňuje. Může trvat desítky, stovky i tisíce period. U transformátorů menších výkonů trvá přechodný děj déle než u transformátorů větších výkonů.

Přeruší-li se napájecí napětí v době, kdy magnetovací proud prochází nulou, prochází nulou (podle předpokladu) i indukční tok. Napětí na transformátoru se ihned zmenší na nulu. V druhém extrémním případě, kdy se napájecí napětí přeruší v době maxi-

ma napájecího proudu, vznikne přechodný jev: na transformátoru bude napětí takové velikosti a polarity, aby umožnilo pokračování magnetovacího proudu a jeho zmenšování k nule. Cesta magnetovacího proudu se může uzavírat sekundárním obvodem, umožní-li to jeho impedance. Nejčastěji však jiskra na kontaktech vypínače způsobí vodivou dráhu mezi kontakty vypínače a magnetovací proud se uzavírá primárním okruhem. Při bezkontaktním vypínání může však vzniknout napětí, které způsobí průraz některé ze součástek a tím otevře cestu zanikajícímu magnetovacímu proudu. Velké napětí na vinutí výstupních transformátorů může vzniknout při jejich náhlém odlehčení, čímž se mohou poškodit.

### Jištění jednofázových transformátorů malých výkonů

Velikost magnetovacího proudu z hlediska zvětšení nárazového proudu při připojování na síťové napětí omezuje provozní schopnost transformátoru vzhledem k jeho bezpečnému jištění. Zvláště je tomu u transformátorů s toroidními jádry pro jejich malou rozptylovou indukčnost. V těchto případech se používá předřadný rezistor řádu jednotek ohmů, který je po několika periodách zkratován kontakty relé se zpožděným přitahem. Je možné, jak bylo uvedeno, při návrhu zmenšit magnetickou indukci v jádru. Jinou možností je zvolit jádro s větším poměrem vinutí k průřezu jádra.

Tavné pojistky, které jistí transformátory, se používají se zpožděným působením, aby se při krátkodobém zvětšení proudu pojistka nepřerušila. Kde nelze pojistku použít, musí se volit plechy s malou remanencí a menší musí být i pracovní indukce.

Poměr magnetovacího proudu  $I_{m \max}$  k proudu provoznímu / je

$$I_{m \max} / I = (4,44 H B f V_j) / P_j$$

Vzorec je odvozen z rovnice pro výpočet intenzity magnetického pole v jádru a transformátorové rovnice.  $H$  je intenzita magnetického pole, při které se dosáhne pracovní indukce  $B$ . Přirozený je požadavek co největšího zdánlivého přenášeného výkonu  $P_j$  (tj. využívat plně přípustného oteplení vinutí i jádra). Protože výkon je úměrný součinu průřezu vinutí a průřezu jádra, bude pro magnetovací proud příznivější takový typ jádra, u něhož poměr průřezu vinutí bude převažovat nad průřezem jádra. Při porovnání výhodnosti např. mezi výseky M a E1 jsou v tomto ohledu příznivější transformátory s plechy M.

Vzhledem ke zvětšenému zapínacímu proudu se transformátory jistí tav-

nou pojistikou, která musí splnit mezi přetěžování (ČSN 35 7401, Pojistky n.n. - všeobecná část).

Při zvětšené spotřebě vlivem selhání některých obvodových částí, které jsou transformátorem napájeny, při němž by se proud transformátoru zvětšil trvale i jen o 10 % nad max. přípustný proud, bude transformátor tepelně přetížen a posléze se zničí. Tomu zabráňují tepelné pojistky vkládané do vinutí transformátorů, u plášťových transformátorů jedna, u jádrových transformátorů dvě, do každé cívky jedna. Tepelné pojistky nejsou však transformátor proti jeho krátkodobému přetížení. Tepelné pojistky jsou založené na tavitelných pájkách. Nejčastěji jsou nastaveny na teplotu  $96 + 2^\circ\text{C}$  (ČSN 42 3990, Snadno tavitelné pásky na tepelné pojistky). Vyrábějí se v pěti druzích pro ochranu v teplotním rozsahu od  $62$  do  $162^\circ\text{C}$ . Vlastnosti jsou popsány v normách ČSN 42 3989 až ČSN 42 3993 a ČSN 42 3995. Ani tento způsob ochrany však dokonale nezabezpečuje vinutí transformátorů. Používají se proto i termistory s kladným teplotním činitelem odporu (pozistory), které se vkládají mezi vinutí. Jejich odpor se zvýhodňuje při zvýšení teploty o  $2^\circ\text{C}$ , nebo 1000krát se zvětší při zvýšení teploty o  $20^\circ\text{C}$ . Těmito typy lze překlenout rozsah  $60$  až  $180^\circ\text{C}$ . Změna odporu se elektronicky vyhodnotí a transformátor se odpojí od sítě. Používají se i elektronická jištění, která reagují také na zmenšení výstupního napětí, popř. jeho zkrat. Využívají se opticky vázaného triaku (např. SITAC BRT22 firmy Siemens) - při zmenšení výstupního napětí se poruší optická vazba a triak se uzavírá. Zdroj pak lze znova nastartovat pozistorem, který přemosťuje triak a má za studena malý odpor. Firma Siemens vyuvinula pro transformátory jistič výkonu 3VU13, na němž lze nastavit přípustný zapínací proud, přípustný proud nakrátko a přípustné oteplení při nadproudovém zatížení.

### Předmagnetování

S rostoucím předmagnetováním stejnosměrným proudem se zmenšuje vratná permeabilita magnetických

materiálů a tím se zmenšuje indukčnost vinutí cívky. Vratná permeabilita je stálá přibližně do  $1/4$  až  $1/2$  indukce nasycení, pak se náhle zmenší. Její průběh pro některé používané druhy magnetických materiálů je na obr. 33. Nahrazovat některé z vlastností, které popisují magnetické materiály průběhem jediné křivky, je značně zjednodušené. Vlastnosti, které nejsou zaručovány technickými podmínkami nebo státními normami, mohou mít rozptyl od střední hodnoty až několikanásobný - obr. 34 tento rozptyl ukazuje právě na průběhu vratné a inkrementální permeability u jader Q, u nichž je technickými podmínkami obvykle zaručována pouze minimální magnetická indukce při určitém magnetickém poli o frekvenci 50 Hz. Průběhy jsou vyneseny v závislosti na relativní délce mezery a intenzitě magnetického pole předmagnetování.

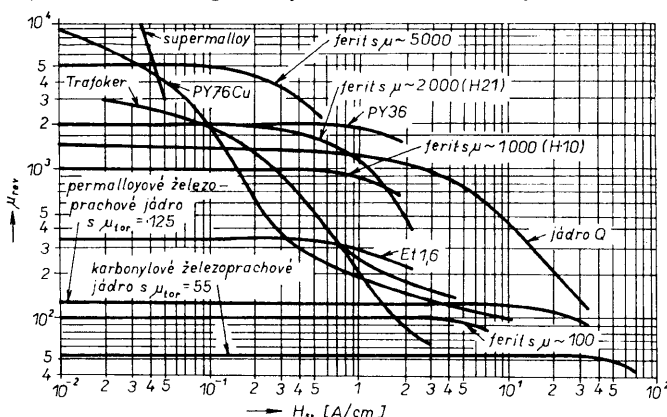
Průběhy magnetických vlastností, uváděné v literatuře, mohou být typické nebo mohou být i průběhy, zjištěnými pouze na jediném vzorku. Pro kusové nebo sériové výrobky s magnetickými materiály je proto nezbytné uvažovat meze, v nichž se využívané vlastnosti vyskytují a tyto meze je nutné zjišťovat měřením.

Požadavek určité indukčnosti vnitřní a určitého stejnosměrného proudu  $I_0$ , který prochází vinutím vyhlašovacích tlumivek nebo sdělovacích transformátorů s předmagnetováním způsobuje, že přípustná intenzita magnetického pole, při níž se dosud neprojevuje náhlé zmenšení vratné permeability, může být překročena.

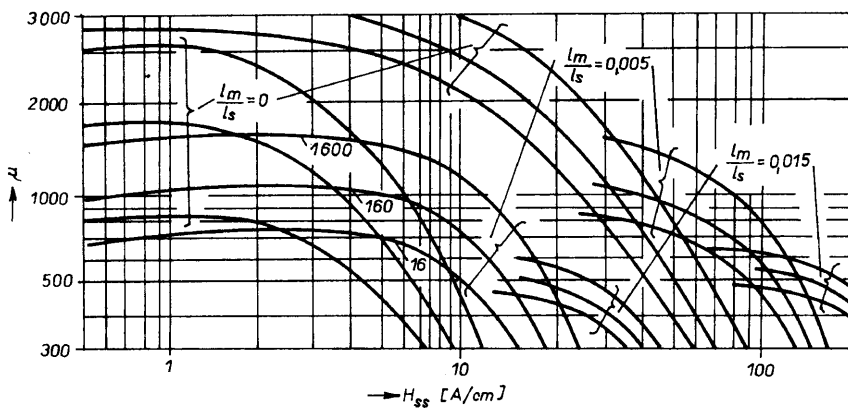
Zavedením mezery do magnetického obvodu se zmenší intenzita magnetického pole v magnetickém materiálu jádra na

$$H_j = H_0 (\mu_e / \mu)$$

Protože relativní zmenšení permeability vlivem předmagnetování se zavedením mezery projeví méně než kolikrát se vlivem mezery zmenší permeabilita, je možné se zvětšující se mezerou zvětšovat přípustné předmagnetování v materiálu jádra. V tom je právě těžiště problému - vhodnou velikostí mezery zmenšit efektivní per-



Obr. 33. Závislost vratné permeability  $\mu_{rev}$  na intenzitě předmagnetovacího pole pro některé magnetické materiály



Obr. 34. Průběhy permeability u jader Q v závislosti na intenzitě předmagnetování, na velikost relativní délky mezery a na intenzitě střídavého magnetického pole (uvezeny jsou přibližné krajní meze). Superponované střídavé pole: 16 mA/cm, 160 mA/cm, 1600 mA/cm

meabilitu jádra tak, aby intenzita magnetického pole, vzniklá předmagnetovacím proudem, neprekročila v magnetickém materiálu přípustnou velikost, a aby se přes případné kolísání předmagnetování (např. vlivem kolísání napájecího napětí) měnila indukčnost vinutí jen v přípustných mezích.

Indukčnost vinutí cívky s jádrem s homogenním magnetickým průřezem, jehož obvod je přerušen mezrou, je

$$L = \mu_0 \mu_e N^2 (S_j / l_s)$$

Je-li v magnetickém obvodu intenzita magnetického pole v materiálu jádra  $H_j$  a v mezere  $H_m$ , platí, že

$$H_j I_j + H_m l_m = N I_0 = H_0 I_s,$$

kde  $H_j$ ,  $H_m$  a  $H_0$  jsou velikosti stejnosměrného magnetického pole při předmagnetování proudem  $I_0$ .  $H_0$  je intenzita magnetického pole, která je vztahena k myšlenému jádru týchž rozměrů, které však není přerušeno mezrou a jehož permeabilita je  $\mu_e$ . (Předpokládá se, že délka geometrické mezery  $l_m$  je shodná s délkou mezery  $l_m$ , která v obvodu skutečně působí)

$$H_0 = N I_0 / l_s$$

Určíme-li z uvedených rovnic součin  $L I_0^2$  a určíme-li, že  $I_j = I_s$  a že objem jádra  $V = S_j l_j$ , získáme vztah

$$L I_0^2 / V = \mu_0 \mu_e [H_j + H_m (l_m / l_s)]^2$$

Z náhrady součinu průřezu jádra a délky magnetického siločáry objemem jádra vyplývá, že tento postup výpočtu je vhodný jen pro jádra s homogenním magnetickým obvodem, jako jsou jádra složená z plechů tvaru M, EI, C a jádra Q. Pro jádra s ferity, které nemívají homogenní magnetický obvod, se používá postup jiný.

Výraz  $L I_0^2 / V$  je nezávislý na počtu závitů. Dosadíme-li dále za  $H_m = H_j \mu$ , což vyplývá ze shodnosti mag-

meability např. o 10 % vzhledem k velikosti bez předmagnetování. Velikost  $H_j$  a jí odpovídající  $\mu(\mu_{rev})$  volíme podle zvoleného materiálu z obr. 33. Po výpočtu relativní délky mezery  $l_m / l_s$  zpětně kontrolujeme vhodnost navržené mezery. Nejprve se určí z obr. 2 pro vypočtenou relativní délku a permeabilitu jádra velikost efektivní permeability jádra, dále se z velikosti požadované indukčnosti vinutí a známé efektivní permeability jádra určí z rovnice pro indukčnost cívky s jádrem (druhá rovnice v této kapitole) počet závitů. Konečně z určeného  $N$  a známého  $l_0$  a  $l_s$  se určí  $H_0$ . Předpokládáme-li určité kolísání  $H_0$ , můžeme z rovnice

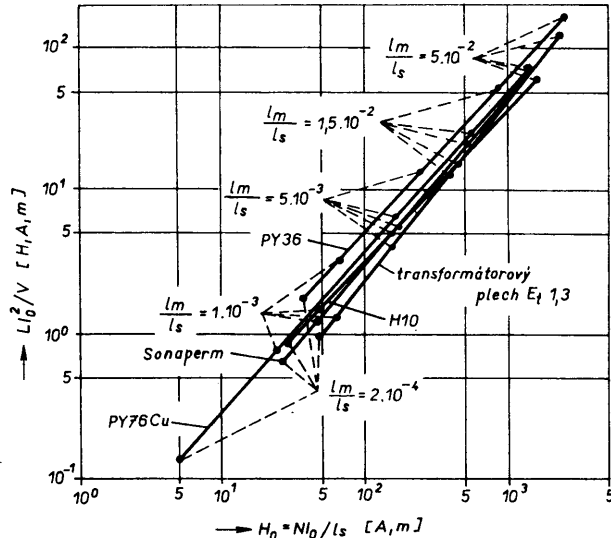
$$H_j = H_0 / \{1 + \mu(l_m / l_s)\}$$

posoudit, v jakých mezích kolísá  $H_j$  a tedy i v jakých mezích se bude měnit  $\mu$ . Bude-li tato změna  $\Delta\mu$ , bude se  $\Delta\mu_e$  měnit jen podle vztahu

$$\Delta\mu_e = \Delta\mu (\mu_e / \mu)^2$$

Podobně je závislá i indukčnost vinutí. Bude-li tato změna zbytečně malá, takže by materiál jádra nebyl využit, volíme větší  $H_j$  a návrh opakujieme. V opačném případě, nemůžeme-li podmínce vyhovět, volíme jinou velikost jádra nebo jiný materiál. Délka mezery, kterou tímto způsobem zjistíme, je její zdánlivá velikost. Jsou-li jádra vyráběna s určitými mezery nebo jsou-li u jader doporučeny velikosti mezer, volí se mezera nejbližše větší.

Výpočet transformátoru s předmagnetováním tímto způsobem je dosti pracný. Pro snazší návrh jsou uvedené závislosti zpracovány graficky. Podle prvního konstruktéra těchto diagramů se nazývají Hannaovy (1927). Na obr. 35 jsou Hannaovy diagramy pro transformátorovou ocel



Obr. 35. Hannaovy diagramy pro transformátorovou ocel Et1,3, PY36, PY76Cu, Sonaperm a feritovou hmotu H10

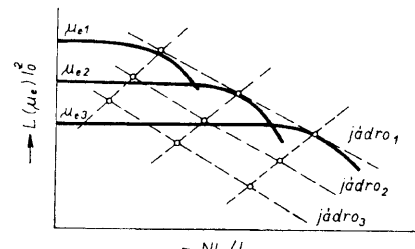
Et1,3, PY 36, PY 76Cu, Sonaperem a feritovou hmotou H10, z nichž lze určit pro požadovanou velikost  $L/I_0^2 / V$  vhodnou velikost mezery i počet závitů, které je nutno na cívku navinout. Grafy jsou sestaveny pro podmíinku, při níž se změna  $H_0$  o 10 % projeví změnou indukčnosti vinutí o 1 %. Pro relativní délku mezery větší než  $5 \cdot 10^{-2}$  průběhy všech materiálů vzájemně splývají, takže z hlediska předmagnetování neposkytují materiály žádné přednosti. Do uvedené relativní délky mezery jsou pro předmagnetování výhodnější takové materiály, které mají při stejné počáteční permeabilitě větší indukci nasycení. Bylo ověřeno (pro technickou praxi s vyhovujícími přesnostmi), že mezní intenzita  $H_{jh}$  magnetického pole předmagnetování, od které se vratná permeabilita začne zmenšovat, je

$$H_{jh} \equiv (B_s - B_r) / (2\mu\mu_0) [\text{A/m, T, H/m}],$$

kde  $B_s - B_r$  je rozdíl magnetické indukce nasycení a remanentní indukce a  $\mu$  je počáteční permeabilita. Údaje náležejí k materiálu jádra. Při ještě hrubším přiblížení se uvážuje, že indukce způsobená předmagnetováním může být nejvýše  $B_s/2$ .

Pro hrnčková jádra, nebo jiná jádra, která nemají homogenní magnetický obvod, nelze Hannaovy diagramy sestrojit.

Pro vybranou feritovou hmotu a jádro, např. hrnčkové jádro s rozměry 36/22, se sestrojí průběh  $L(\mu_e)I_0^2$  v závislosti na  $Nl_0 / I_0$ , kde proměnnou je  $I_0$  ( $\mu_e$  je např. zvoleno 250,  $N$  je počet závitů cívky,  $l_0$  je předmagnetovací proud a  $l_e$  je náhradní délka magnetické silové čáry jádra 36/22). Změřením průběhu např. pro jádro s  $\mu_{e1} = 250$  se získá průběh, který je na obr. 36 (pro tvarově stejná jádro z téhož materiálu s efektivní permeabilitou  $\mu_{e2}$  např. 160 a posléze pro  $\mu_{e3}$  např. 100 další průběhy). Kroužky na průbězích jsou vyznačeny body, pro něž se indukčnost proti počáteční zmenší ještě o přijatelnou velikost (např. 10 %). Totéž se opakuje s rozdílově jiným hrnčkovým jádrem, např. 26/16 ( jádro 2) a 18/11 ( jádro 3).

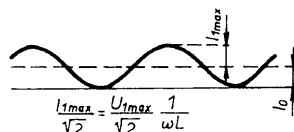


Obr. 36. Soubor grafů k určení vhodné velikosti jádra a jeho efektivní permeability. Ef. permeabilita feritového jádra je pro měření zvolena. Závislost pro jádra 2 a 3 není uvedena

3), pro tytéž efektivní permeability z téhož feritového materiálu (průběhy na obrázku nejsou vyznačeny). Body náležející témuž jádru a týmž permeabilitám se propojí. Z takové sítě grafů se zjistí pro zadané  $L/I_0^2$  vhodné jádro, jeho efektivní permeabilita i počet závitů vinutí. Takové grafy jsou v katalogozích výrobců feritových jader.

### Vyhazovací tlumivky

Vyhazovací tlumivka filtru, který začíná tlumivkou, se nazývá nárazová. Její návrh se pro dvojcestné usměrňovače odvozuje z minimálního odebíraného proudu. Od této velikosti proudu nárazová tlumivka výstupní vyhazovací napětí také částečně stabilizuje. Návrh vychází z úvahy, že při nekonečně velké indukčnosti by ji procházel jen stejnosměrný proud, neboť pro střídavá napětí vzniklá usměrněním by představovala nekonečně velkou reaktanci. Naopak při určité minimální indukčnosti lze dosáhnout alespoň toho, že se usměrněný proud  $I_0$  nezmenší v žádném okamžiku na nulu (obr. 37). Přibližný výpočet této induk-



Obr. 37. K návrhu vyhazovací tlumivky

čnosti předpokládá, že je amplituda zvlnění usměrněného proudu,  $I_{L\max}$ , současně amplitudou první základní harmonické  $I_{1\max}$ . Reaktance kapacity, kterou je filtr zakončen, se zanedbává, je-li  $X_L / X_C > 20$ .

Amplituda zvlnění napětí,  $U_{L\max}$ , na vstupu tlumivky se opět ztotožňuje se základní harmonickou  $U_{1\max}$ . Je-li amplituda usměrněného napětí  $U_{\max}$ , je pro dvojcestný usměrňovač velikost usměrněného napětí

$$U_s = (2/\pi)U_{\max}.$$

Základní harmonická zvlnění  $U_{1\max}$  má amplitudu

$$U_{1\max} = (4/3\pi)U_{\max} = 0,66U_s.$$

Po dosazení se určí, že

$$L_{\min} = U_{1\max} / (\omega l_{1\max}) = (0,66/2\pi f)(U_s/I_0) = (0,66/2\pi f)R_z,$$

kde  $R_z$  je zatěžovací odpor,  $f$  kmitočet základní harmonické. Např. pro dvojcestný usměrňovač (kmitočet 50 Hz) je  $f = 100$  Hz. Pro tento případ a za uvedených zjednodušujících předpokladů má být

$$L > R_z / 1000.$$

Návrh nárazové tlumivky vychází z volby jádra a jeho materiálu. Určením mezery magnetického obvodu musí být splněna rovnice pro  $(L/I_0^2) / V$ . Jádro má průřez  $S_j$  a délku magnetické siločáry  $l_s$ . Je zadané  $L$  a  $I_0$  a hledá

se počet závitů  $N$  vinutí s odpovídajícím průřezem vodiče. Pro jádra s magneticky homogenním obvodem se použije Hannaův diagram, který udává závislost  $L/I_0^2 / V$  na  $Nl_0 / l_s$  pro různé poměrné délky mezery a zvolený materiál. Z diagramu se určí  $Nl_0 / l_s$  a  $I_m / l_s$ , z nichž se určí  $I_m$  a  $N$ . Z okénka pro vinutí se určí průměr drátu a kontroluje se proudová hustota. Vypočítá se odpor vinutí a zjišťuje se, je-li oteplení přípustné. Nevyhoví-li výsledek požadavků, nebo je-li naopak jádro předdimenzováno, volí se jiný typ jádra. Pro návrh lze použít tabulky, v nichž výrobci uvádějí pro jednotlivá jádra součin  $L/I_0^2$ .

Použijí-li se plechy El nebo jádra C, u nichž je jádro přerušeno mezerou dvakrát, dosáhne se potřebné délky mezery vložením papírové lepenky tloušťky  $l_m / 2$ .

Ze znalosti velikosti mezery a z velikosti permeability použitého materiálu se určí  $\mu_e$  a z rozměrů jádra si můžeme potom touto cestou ověřit správnost určené indukčnosti (kapitola Magnetický obvod transformátorů a cívek). Pro homogenní obvody je  $I_0 = I_s$  a  $S_e = S_j$ .

Je-li  $1/\mu \ll I_m / l_s$ , tj. při relativně velkých mezerách, je indukčnost vinutí určena jen rozměry mezery ( $S_j = S_m$ )

$$L = \mu_0 N^2 (S_j / l_m).$$

### Transformátory pro měniče s kmitočtem do 400 Hz

Snahy o zmenšení hmotnosti i objemu napájecích zařízení vedou ke zvyšování kmitočtu napájecího napětí. Z transformátorové rovnice to vypadá přímo, neboť napájecí napětí je přímo úměrné součinu průřezu jádra a kmitočtu napájecího napětí. Zvýšení kmitočtu napájecího napětí umožní zmenšit průřez magnetického obvodu a tím jeho hmotnost i objem.

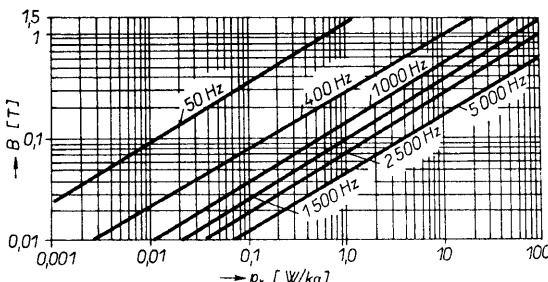
Pro jádra transformátorů složených z plechů lze jako nejvyšší kmitočet použít 400 Hz. Vyšší kmitočet umožňuje dále zmenšit kapacitu filtračních kondenzátorů a indukčnost tlumivek. Pro jádra z plechů volba kmitočtu souvisí s tloušťkou plechu pro materiály jádra, neboť ta ovlivňuje ztrátový výkon.

Měrný ztrátový výkon elektrotechnických plechů se vyjadřuje empirickými vzorce, např.

$$p_v = K_h f B^{1.6} + K_w t^2 f^2 B^2.$$

První člen vyjadřuje hysterezní ztráty, druhý ztráty vířivými proudy. Konstanty  $K_h$  a  $K_w$  jsou závislé na složení magnetického materiálu, na tvaru výseku a jeho ostří a na kvalitě izolování, na regeneračním žihání výseků, na pečlivosti složení magnetického obvodu a na tlaku při stahování výseků do magnetického obvodu.

Uvedené koeficienty, zjištěné na finálních výrobcích - transformáto-

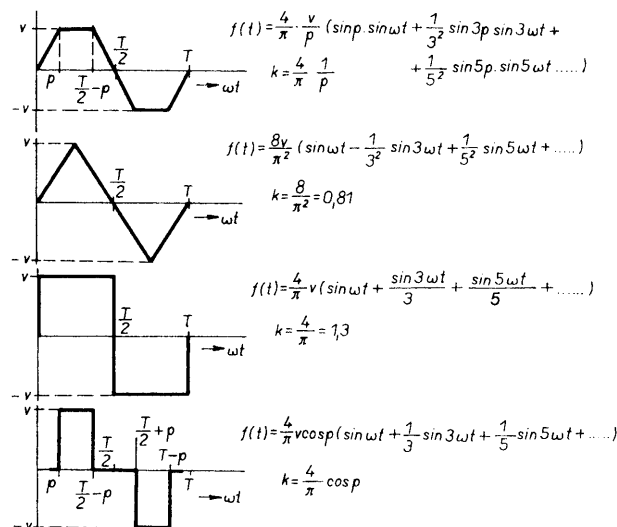


Obr. 38. Měrný ztrátový výkon pásků tloušťky 0,12 mm Fe-Si s magnetickou texturou v závislosti na kmitočtu

rech a motorech - proti hodnotám zjištěným na Epsteinově přístroji, který je dosud stále pokládán za nejexaktnější měřicí metodu pro zjišťování ztrát, mohou být u transformátorů malých výkonů nejen několikrát větší, ale i menší.

Při tloušťce plechu 0,12 mm, která je ještě přijatelná pro skládání obvodů z výseků a pro indukci zmenšenou na 0,5 T, lze s jádry z elektrotechnické oceli při kmitočtu 400 Hz dosáhnout 3x menšího průzezu jader napájecích transformátorů, což zmenší jejich objem asi desetinásobně při jinak stejném přenášeném výkonu. Informativní přehled o měrných ztrátech plechu Fe-Si tloušťky 0,12 mm s magnetickou texturou v závislosti na kmitočtu je na obr. 38. Při kmitočtu 400 Hz je možné dosud stále používat větší magnetické indukce v transformátorových jádrech skládaných z plechů než u feritových jader. Feritová jádra se proto do téhoto kmitočtů ne-používají.

Mezi kmitočty, které vymezují optimální využití magnetických kovových materiálů, se nemohou brát jako nepřekročitelné. První čs. televizní přijímač (1956), pro jehož výrobu bylo nutné používat jen čs. součástkovou základnu, používal pro rádkovací transformátor (15 kHz) výseky z transformátorové oceli za tepla válcované o tloušťce 0,2 mm, ačkoli se v té době v zahraničí pro tento účel již používala feritová jádra.



Obr. 39. Rozklad některých periodických průběhů do harmonických složek

transformátor. Zpětnovazební transformátor je malý, s jádrem s pravoúhlou hysterezní smyčkou. Podrobnější zdůvodnění takové volby bude uvedeno. Po odečtení úbytku napětí na tvarovacích tranzistorech se dostávají na primární vinutí bipolární, např. pravoúhlé impulsy  $U_1$ , např. o amplitudě 11 V a kmitočtu 50 Hz, které se mají transformovat na vrcholovou hodnotu  $U_{2 \max}$  (50 Hz) základní harmonické, tj. na  $\sqrt{2} \cdot 220$  V.

Pro pravoúhlé impulsy je

$$U_1 = 4N_1 S_1 Bf.$$

Odtud se určí počet závitů primárního vinutí.

Má-li se získat požadovaná vrcholová hodnota základní harmonické,  $U_{2 \max} = \sqrt{2} \cdot 220$  V, musí být amplituda pravoúhlých impulsů na sekundárním vinutí zmenšena činitelem  $k$ . Pro pravoúhlé impulsy (obr. 38) je tento činitel 1,3

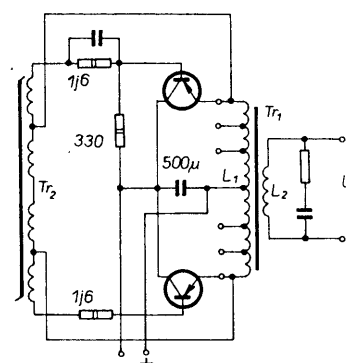
$$U_2 = (U_{2 \max} \text{ 50 Hz}) / k = 4N_2 S_2 Bf.$$

Odtud se určí počet závitů sekundárního vinutí.

Při výpočtu se však musí uplatnit úbytek napětí na primárním a sekundárním vinutí a uvažovat zmenšení napěti akumulátoru. Přizpůsobení je možné dosáhnout odbočkami na primárním vinutí. Indukce v jádru se volí jako u síťových transformátorů. Ze zadávaného výkonu se volí velikost jádra. Má-li být na vinutí napěti pravoúhlého průběhu, musí mit indukčnost vinutí vzhledem k době trvání impulsu a vzhledem k vnitřnímu a zatěžovacímu odporu určitou minimální velikost. Připustí-li se zmenšení temene impulsu o  $p\%$ , měla by být indukčnost sekundárního vinutí po celou dobu trvání impulsu

$$L_2 > (100 \delta T_d / p) R$$

kde  $\delta T_d$  je pro 50 Hz 0,01 s a  $R$  je paralelní kombinace zatěžovacího odporu a přetransformovaného vnitř-



Obr. 40. Zapojení kmitajícího střídavého transformátoru s dvěma transformátory ( $Tr_1$  - plechy M nebo EI, tloušťka 0,35, 0,5 mm,  $Tr_2$  - toroid, tloušťka 0,12 mm)

ního odporu zdroje impulsů na sekundární vinutí. Je-li zmenšení téměře impulu větší (připouští se 10 %), musí se zmenšit magnetická indukce a zvětšit počet závitů. Pro odrušení se používá jen sériový člen  $RC$ . Rezistor mívá odpor několik desítek ohmů (řádu jednotek W), kondenzátor kapacitu 0,5 až 1  $\mu F$  s provozním napětím 220 V.

Přibližná indukčnost vinutí  $L_2$  se zjistí připojením napětí 220 V na  $L_2$  (napětí se dělí magnetovacím proudem a úhlovým kmitočtem). Primární vinutí je odpojeno.

Protože napětí na výstupu střídače pro 220 V je životu nebezpečné, izolace mezi vinutími a izolace sekundárního vinutí proti kostře musí vyhovět elektrické zkoušce 4 kV/1 min. Na výstup střídačů lze připojovat jen ta zařízení, která jsou chráněna izolovacími kryty.

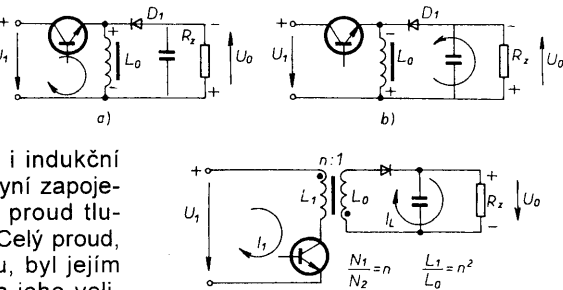
### Transformátory a filtrační tlumivky pro spínací napájecí zdroje

Spínací zdroje převádějí stejnosměrné napětí získané usměrněním síťového napětí nebo napětí akumulátorů na stejnosměrné napětí jiné velikosti. Používají se tři základní typy: blokující měnič, propustný měnič a dvojčinný měnič. Jejich spínací kmitočet bývá vyšší než 15 kHz. Používají se pro výkony jednotek wattů až do několika desítek kilowattů. Jejich výstupní napětí je obvykle stabilizované. Jako stabilizované zdroje dosahují ze známých napájecích zdrojů největší účinnosti (80 až 90 %). Měrný výkon vztažený k jednotce objemu bývá 60 až 120 W/dm<sup>3</sup>. Spojitě pracující regulátory mívají účinnost kolem 50 % a měrný výkon 10 až 20 W/dm<sup>3</sup>. Základní schéma spínacího zdroje je na obr. 41.

### Blokující měnič

U blokujícího měniče v době otevření spínacího tranzistoru (obr. 42) se energie, dodávaná zdrojem, hromadí v tlumivce. Dioda  $D_1$  zabraňuje přímému propojení vstupu měniče s jeho výstupem. V době uzavření spínacího tranzistoru se změní polaria na napětí na tlumivce na opačnou, neboť proud tlumivkou se začíná zmen-

Obr. 42. Blokující měnič se společnou indukčností. Tranzistor a) vede, b) nevede



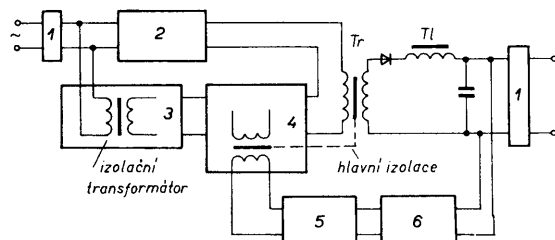
šovat, čímž se zmenšuje i indukční tok. Protože dioda  $D_1$  je nyní zapojena v propustném směru, proud tlumivky protéká do zátěže. Celý proud, který prochází tlumivkou, byl jejím magnetovacím proudem a jeho velikost se nejprve zvětšovala. V době uzavření spínacího tranzistoru se magnetovací proud zmenší z dosažené maximální velikosti a uzavírá se přes zatěžovací odpor. Umístěním spínače ve schématu byla odvozena další zapojení s odlišnými vlastnostmi.

Pro dosažení galvanického oddělení zdroje a spotřebiče má tlumivka druhé vinutí, těsně vázané s prvním a působí rovněž jako transformátor (obr. 43). Měnič se označuje jako izolovaný blokující měnič. Blokující měnič potřebuje jen jeden magnetický, vinutý prvek. Blokující měniče jsou nejlevnějším typem spínacího zdroje. Používají se pro napáječe do 100 W. Jsou součástí např. televizních přijímačů.

Blokující měnič pracuje periodicky s dobou periody  $T$ . Po dobu  $\delta T$  vtéká proud do primárního vinutí tlumivky, po dobu  $T(1 - \delta)$  teče proud u izolovaného měniče sekundárním vinutím do zátěže (obr. 43). Napětí se stabilizuje šířkovou modulací intervalu  $\delta T$ . Rozbor vlastností blokujícího měniče pro návrh obou vinutí tlumivky vychází z předpokladu, že časová konstanta indukčnosti  $L$  vinutí tlumivky a k ní vztaženého vnitřního odporu zdroje, odporu tranzistoru ve vodivém stavu a odporu vinutí tlumivky je mnohem delší než  $T$  a že časová konstanta indukčnosti  $L$  tlumivky, zatěžovacího odporu, odporu diody v předním směru a odporu vinutí tlumivky je mnohem delší než  $(1 - \delta)T$  v intervalu  $\delta T$  až  $T$ . Uvažuje se dokonalá vazba, bez rozptylu indukčního toku. Zjednodušená závislost mezi indukčností tlumivky  $L$ , proudem tlumivky  $I$ , napětím na ní  $U$  a časem  $t$ , která je používána pro vyjádření zvětšování proudu za těchto předpokladů je

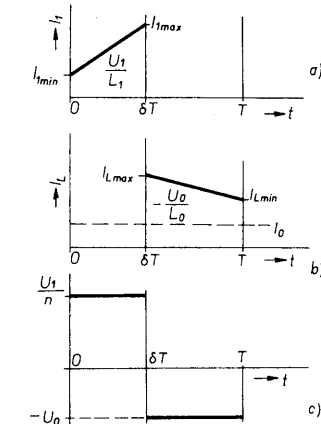
$$I = (U/L)t.$$

Indukčnost tlumivky se předpokládá dále stálá, nezávislá na indukčním



Obr. 41. Základní zapojení spínacího zdroje. 1 - odrušovací filtr, 2 - usměrňovač, 3 - usměrňovač pro rozbrež zdroje, 4 - spínací tranzistory, buzené do bází, 5 - převodník napětí / šířka impulsu, 6 - zpětnovazební obvod, Tr - transformátor měniče, 7 - filtrační tlumivka

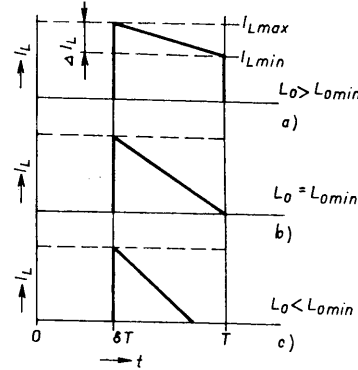
Obr. 43. Blokující izolovaný měnič.  $I_L$  - proud při sepnutí tranzistoru (napětí  $U_{CE} = U_1 + nU_0$ ),  $I_{Lmin}$  - proud, nevede-li tranzistor (napětí na diodě je  $(U_1/n) - U_0$ )



Obr. 44. Průběh napětí a proudu u blokujícího izolovaného měniče. a) proud kolektoru, b) proud diodou, c) napětí na sekundárním vinutí

toku. Protože jádro tlumivky blokujícího měniče má vždy v magnetickém obvodu napříč indukčnímu toku mezera (neboť tlumivku prochází stejnosměrný proud), je tento předpoklad oprávněný.

V době, kdy tranzistor vede (obr. 44), je-li primární napětí  $U_1$ , je směrnice zvětšování proudu  $U_1/L_1$ . Diagram je sestaven pro ustálený stav, kdy počáteční proud tlumivkou  $I_{Lmin}$  pro  $t = 0$  je stejný jako proud tlumivkou pro  $t = T$ . Nevede-li tranzistor, je napětí na sekundárním vinutí  $-U_0$  a směrnice poklesu proudu je  $-U_0/L_0$ . Při menším  $L_0$  je pokles rychlejší. Při určité minimální  $L_{0min}$  se proud zmenší z  $I_{Lmax}$  na nulu tak, že proud tlumivkou



Obr. 45. Proud tlumivkou při její různé indukčnosti a stálém odběru proudu

není ještě přerušen (obr. 45). Při ještě menším  $I_{L_{\max}}$  se proud tlumivkou přeruší, čímž se zvětšuje zvlnění usměrněného proudu.

Shodnost ampérzávitů primárního a sekundárního vinutí v přechodné době mezi vodivým a nevodivým stavem tranzistoru, tj. v době  $\delta T$ , zajišťuje spojitu změnu magnetovacího proudu.

V době  $\delta T$  proto platí

$$N_1(U_1 / L_1)\delta T = N_2(U_0 / L_0)T(1 - \delta)$$

a odtud

$$\begin{aligned} U_0 &= (N_1 / N_2) \cdot \\ &\cdot \{(U_1 \delta T) / (1 - \delta)\} (L_0 / L_1) = \\ &= (U_1 / n)(\delta / 1 - \delta) \end{aligned} \quad (\text{A.})$$

Pro zadané  $U_0$ , střední  $U_1$ , podle materiálu jádra určeného  $f$  ( $f = 1/T$ ) a střední hodnotu  $\delta$  rovnice určuje převod transformátoru. Z rovnice dále vyplývá, že napětí  $U_0$  je nezávislé na zatěžovacím proudu.  $I_0$  je určen rovností ploch

$$I_0 T = \{(I_{L_{\max}} + I_{L_{\min}}) / 2\}(1 - \delta) T .$$

Pro průběh proudu, při kterém minimální velikost indukčnosti,  $L_{0_{\min}}$ , zaručí ještě nepřerušování proudu tlumivkou a tím ještě malé zvlnění, bude

$$I_0 T = (\Delta I_L / 2)(1 - \delta) T \quad (I_{L_{\min}} = 0).$$

— Je-li proud tlumivkou na konci periody větší než proud tlumivkou na počátku této periody, posouvají se hysterezní smyčky k nasycení, zvětšuje se magnetovací proud, přesycuje se jádro a zničí se spínací tranzistor.

Protože rovněž současně platí, že

$$\Delta I_L = \{U_0(1 - \delta)T\} / L_{0_{\min}},$$

vyplývá z obou posledních rovnic, že

$$L_{0_{\min}} = \{U_0(1 - \delta)T\} / 2I_0 .$$

$L_{0_{\min}}$  se navrhuje pro nejnepříznivější případ, tj. pro  $\delta_{\max}$ .

Nejvyšší přípustný kmitočet  $1/T$  je omezen přijatelnou účinností měniče, která je dána především zotavovací dobou polovodičových součástek, ztrátami ve feritovém jádru a v diodě.

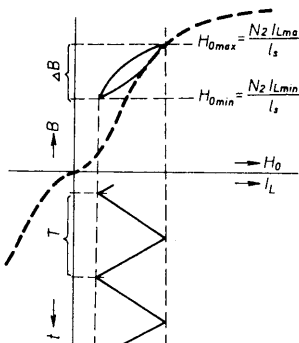
Celkový příkon  $P_1$  je

$$P_1 = P_0 + P_{\text{spinání}} + P_{\text{usměrnování}} + P_{\text{řidicích obvodů}} + P_{\text{vinuti}} + P_{\text{jádra}} .$$

Pro měniče napájené ze sítě je

$$U_{1_{\max}} = 220\sqrt{2} \cdot 1,1 = 340 \text{ V.}$$

Napětí se dále zvětšuje až o 50 % pro zákmity na vinutí tlumivky. Kontroluje se, jak tyto zákmity mohou být měničem zpracovány a je-li vinutí tlumivky (a obvodové prvky s ní spojené) dimenzované na takto velké napětí. Pro dosažení rychlé odezvy na



Obr. 46. Průběh malých hysterezních smyček filtrací tlumivky při napětí s pravoúhlým průběhem na vinutí

změnu napětí nebo odebíraného proudu není vhodné příliš zvětšovat indukčnost  $L_0$  tlumivky. Pro měniče napájené ze sítě se uvažuje, že je k dispozici stejnosměrné napětí od 220 do 340 V. Z výkonu měniče, zvětšeného o ztrátové výkony, se odvodí maximální primární proud (pro  $\delta = 0,5$ )

$$I_{1_{\max}} = 2U_0 I_0 / U_{1_{\min}} \delta_{\max} \eta .$$

Indukčnost primárního vinutí je

$$L_1 = V_{1_{\text{stf}}} \delta_{\text{stf}} T / I_{1_{\max}},$$

nalezne se vhodné jádro, které splňuje požadovaný součin  $L_1 / I_{1_{\max}}^2$ . Z náhradních rozměrů  $I_e$  a  $S_e$  tohoto jádra a ze žádané indukčnosti  $L_1$  se určí počet závitů  $N_1$ , z poměru  $U_{1_{\text{stf}}} / U_0$  se určí převod a tím i  $N_2$ . Změna magnetické indukce se určí ze vztahu

$$L = \Phi / I,$$

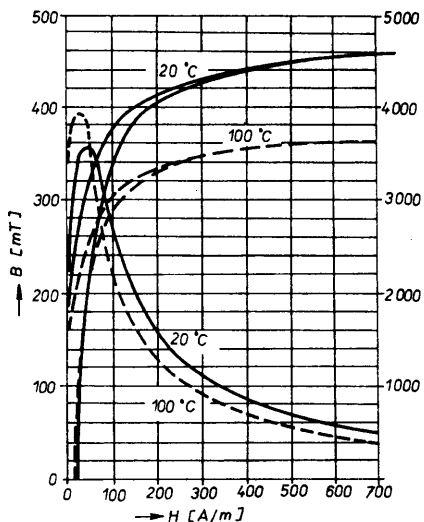
z něhož lze určit, že

$$\Delta B = L_{1_{\max}} / N_1 S_e.$$

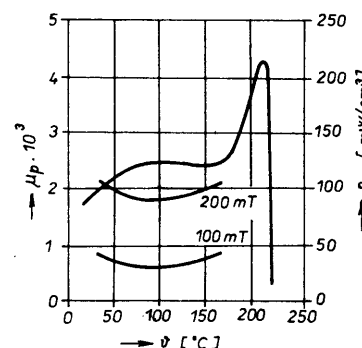
Na obr. 46 je průběh hysterezní smyčky, která popisuje magnetování jádra. Jádro je magnetováno pulsujícím stejnosměrným proudem, proto musí být magnetický obvod přerušen mezerou. Tím se zabrání neúměrnému zmenšení permeability jádra, k němuž by došlo, kdyby jádro nebylo mezerou přerušeno.

Pro návrh tlumivky s feritovými jádry je vhodné používat diagramy pro  $L_0 / I^2$  (obr. 35), které uvádějí ještě přípustnou velikost  $H_{0_{\max}}$ . Z těchto diagramů lze pro zvolené jádro určit přímo  $\mu_e$ , z jeho velikosti a požadované  $L_0$  se určí počet závitů.

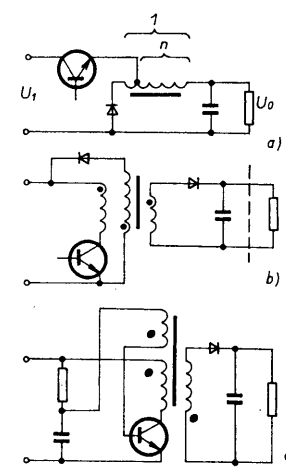
Pro jádra z hmot H21, N27, 3C8, která mají  $\mu_p \sim 2000$ , vychází  $\mu_e$  v rozsahu 20 až 150. Vlivem přechodných jevů (např. při zapínání zdroje) se může indukce zvětšit až 1,5násobně. Tomu odpovídá takové zvětšení magnetovacího proudu, který může mít za následek proudové přetížení tranzistorů. Aby se tomu zabránilo, uvažuje



Obr. 47. Statické hysterezní smyčky při dvou teplotách a závislost amplitudové permeability na teplotě pro feritový materiál H21



Obr. 48. Závislost počáteční permeability a měrného ztrátového výkonu při kmitočtu 16 kHz a magnetické indukci 100 a 200 mT (sin. průběh) na teplotě pro feritovou hmotu H21



Obr. 49. Některá zapojení blokujícího měniče; a)  $U_o = U_1 \delta / [n(1-\delta)+\delta]$ , b) zapojení s rekuperací diodou umožní činnost i nezatíženého měniče, c) kmitající zapojení měniče

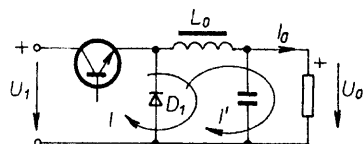
se kolektorový proud  $1,3I_{L\max}$ . Musí se přihlédnout i k oteplení jádra. Se zvýšující se teplotou se zmenší využitelná velikost  $\Delta B$ . O velké teplotní závislosti svědčí hysterezní smyčka používané feritové hmoty, která byla sejmuta při různých teplotách (obr. 47 a 48). Po zvýšení všech těchto vlivů bývá použitelné  $\Delta B$  v rozmezí 0,1 až 0,2 T. Vybraná zapojení blokujícího měniče jsou na obr. 49.

Volně kmitající blokující měniče mají proměnnou dobu periody s konstantní dobou sepnutí. Proměnná je doba  $(1-\delta)T$ . Indikuje se stav, při němž se mění napětí na zpětnovazebním vinutí transformátoru, které ovládá spínání tranzistoru.

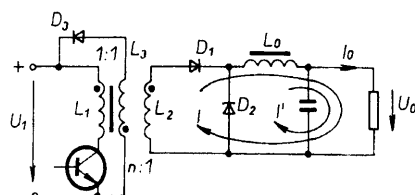
### Propustný měnič

Propustný měnič bez galvanického oddělení vstupu a spotřebiče používá jen tlumivku (obr. 50). Obvyklejší je typ s galvanickým oddělením, který používá transformátor a tlumivku (obr. 51). Při sepnutém spínači i při jeho otevření se přenáší energie do spotřebiče. Při sepnutém spínači proud ze zdroje prochází přes transformátor a diodu  $D_1$ , tlumivku do spotřebiče, při rozpojeném spínači proud tlumivkou, bez jeho přerušení, prochází spotřebičem přes diodu  $D_2$ . Proud do spotřebiče je dodáván tedy v době celé periody. Propustné měniče poskytují větší výkony než blokující měniče - do 500 W. Ze zdroje do spotřebiče se však energie dodává jen v části periody.

Propustný měnič pracuje rovněž periodicky s dobou periody  $T$ . Po dobu  $\delta T$ , při sepnutém spínačem tranzistoru, vtéká proud do primárního vinutí transformátoru a přes sekundární vinutí diodou  $D_1$  do zátěže. V té době pracuje jako impulsní transformátor.



Obr. 50. Propustný měnič bez galvanického oddělení vstupu a výstupu.  
I - proud při sepnutém, I' - při rozpojeném spínači



Obr. 51. Propustný měnič s galvanickým oddělením vstupu a výstupu.  
I - proud při sepnutém, I' - při rozpojeném spínači

Primárním vinutím transformátoru procházejí dvě složky proudu: stálá činná složka, transformovaná do zátěže, a magnetovací složka, která vyvolá indukční tok a kryje ztráty spojené s magnetováním. V této části periody se magnetovací proud v primárním vinutí zvětšuje. Po uzavření spínacího tranzistoru, po dobu  $(1-\delta)T$ , na  $L_2$  (i na ostatních vinutích transformátoru) se napětí změní na opačné. Změna polarity napětí na vinutích souvisí se zmenšením magnetovacího proudu a tím se zmenšením indukčního toku. V tomto intervalu dioda  $D_1$  izoluje transformátor od spotřebiče a tlumivka  $L_0$  pracuje jako u blokujícího měniče. Proud tlumivky  $L_0$  se uzavírá přes spotřebič a diodu  $D_2$ . V době přechodu spínacího tranzistoru z vodivého do nevodivého stavu je proud tlumivkou spojity. Protože transformátor je spínacem (tranzistor) a diodou  $D_1$  oddělen od cest, přes které by se mohla uzavřít cesta magnetovacího proudu transformátoru, uzavírá se magnetovací proud v době  $T(1-\delta)$  přes rekuperacní diodu  $D_3$  zpět do zdroje. V době otevření spínače se změní napětí na vinutích transformátoru na opačná a tím se otevře cesta magnetovacímu proudu transformátoru přes tuto diodu  $D_3$ . Magnetická indukce v jádru se zmenší na výchozí velikost. U propustných měničů, které jsou vždy připojeny k zátěži, může být rekuperacní dioda zapojena i na spotřebič. Vinutí pro rekuperacní diodu má stejný počet závitů jako vinutí, k jehož napětí je rekuperacní dioda připojena.

Charakteristický je průběh proudu tlumivkou  $L_0$ , který kolísá mezi  $I_{L\min}$  a  $I_{L\max}$  (obr. 52). Výchozí velikost proudu  $I_L$  v následující periodě musí být shodná s velikostí proudu  $I_L$  na jejím konci, jinak by se pracovní bod hysterezní smyčky posouval do oblasti nasycení jádra transformátoru, což by vedlo ke zvětšení proudu v době od 0 do  $\delta T$  od periody k periodě. To mu je zabráněno stabilizací výstupního napětí šířkovou modulací intervalu  $\delta T$ .

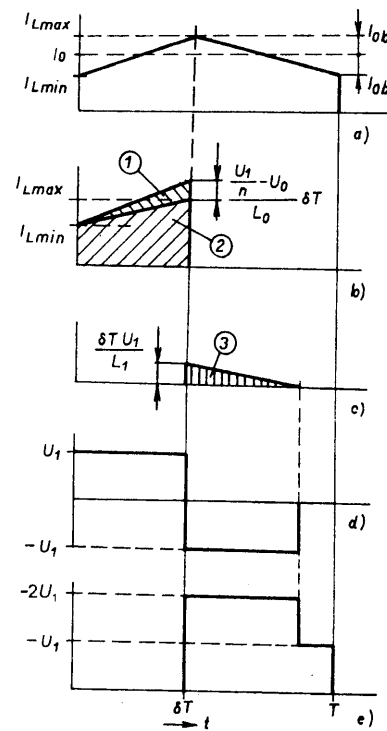
Náhradní schéma neizolovaného propustného měniče pro první část periody je na obr. 53a, pro druhou část na obr. 53b.

Průběh proudu propustného měniče s podmínkou, že proud na začátku periody pro  $t = 0$  a na konci periody pro  $t = T$  je týž, podobně jako i proud na konci intervalu  $0 < t < \delta T$  a na počátku intervalu  $\delta T < t < T$ , je

$$i_1(t) = I_{L\min} + \{(U - U_0)t\} / L_0 \quad \text{pro } 0 < t < \delta T,$$

$$i_2(t) = I_{L\max} - \{(U - U_0)t\} / L_0 \quad \text{pro } \delta T < t < T.$$

Rozbor vlastností vychází z předpokladu, že časová konstanta  $L_0/R_1$  i  $L_0/R_2$  je mnohem větší než perioda  $T$ ,

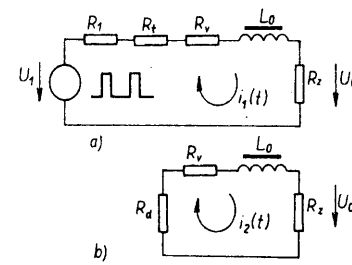


Obr. 52. Napětí a proudy v propustném izolovaném měniči. a) Proud do zátěže, b) 1 - magnetovací proud transformátoru, 2 - proud, přenášený transformátorem přes tlumivku  $L_0$  do zátěže, c) proud rekuperacní diodou, 3 - magnetovací proud se uzavírá přes rekuperacní diodu zpět do zdroje, d) napětí na primárním vinutí transformátoru, e) napětí na tranzistoru

že exponenciální závislost růstu proudu lze přibližně nahradit lineární závislostí a že indukčnost  $L_0$  je nezávislá na indukčním toku. Protože tlumivka propustného měniče je trvale magnetována pulsujícím stejnosměrným proudem, musí mít v magnetickém obvodu mezeru napříč magnetickému toku - její indukčnost lze proto pokládat za stálou.

$R_i$  je součet vnitřního odporu  $R_i$  zdroje, odporu  $R_t$  sepnutého tranzistoru, odporu  $R_v$  vinutí tlumivky a zatěžovacího odporu  $R_z$ .  $R_2$  je součet odporu  $R_d$  diody v propustném směru, odporu vinutí tlumivky a zatěžovacího odporu.

V době, kdy vede spínací tranzistor, proud prochází vinutím transformátoru. Z proudu  $I_{L\min}$  (obr. 52) se zvětší



Obr. 53. Náhradní schéma neizolovaného propustného měniče pro část periody: a)  $0 < t < \delta T$ , b)  $\delta T < t < T$

$$I_{L\max} = I_{L\min} + \{[(U_1/n) - U_0]/L_0\}\delta T$$

(neuváží se úbytky napětí na odporu vinutí transformátoru i tlumivky, na rozptylové indukčnosti, na spínacím tranzistoru a diodě). Na proud  $I_{L\min}$  se z  $I_{L\max}$  změní za dobu  $(1 - \delta)T$

$$I_{L\min} = I_{L\max} - \{(U_0/L_0)(1 - \delta)T\}.$$

Z obou rovnic vyplývá, že

$$U_0 = (U_1/n)\delta.$$

$$\text{Proud } I_0 = 0,5(I_{L\max} + I_{L\min}),$$

$$\text{zvlnění } I_{0b} = (I_{L\max} - I_{L\min})/2 = \{[U_0(1 - \delta)T]\}/2L_0.$$

Kláde se podmínka, aby  $I_0/I_{0b} > F$ . Filtrační činitel  $F$  se volí mezi 10 až 20. Čím větší se bude  $F$  volit, tím menší bude sice zvlnění, ale tím větší bude odezva  $t$ , přechodného děje na změnu zatížení zdroje. Při změně napětí o 10 % byl zjištěn vztah, že doba vyrovnaní napětí  $t_r \sim FT$ .

Indukčnost  $L_0$  lze určit z posledně uvedených vztahů

$$U_0(1 - \delta)T / (2I_0L_0) \sim 1/F.$$

Indukčnost je minimální pro  $F = 1$ . Při této indukčnosti proud tlumivkou není ještě přerušován

$$L_0\min = U_0\delta T/2I_0 = \{U_0(1 - \delta)T\}/2I_0.$$

Tlumivka se konstruuje stejně jako tlumivka u blokujícího měniče. Připustný proud spinacího tranzistoru musí odpovídat požadavku

$$I_{C\max} > (I_0/n\delta)\{1 + (1/F) + p\} + I_{1m\max},$$

kde  $p$  je poměrné zvětšení proudu tranzistoru oteplením. Tranzistor musí v závěrném směru vyhovovat napětí

$$U_{CE} > 2U_1.$$

Pro sekundární vinutí transformátoru platí vztahy

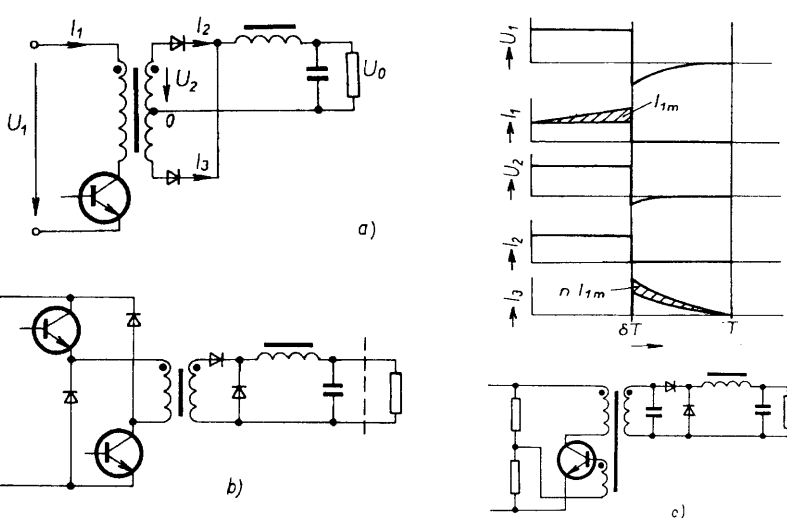
$$n(V_0 + V_D + V_v) = \delta_{\max}V_{1\min}$$

$$L_2 = \mu_a\mu_0N_2^2(S_e/I_e)$$

a odtud pro objem jádra

$$V_e = (\mu_a\mu_0U_2^2)(\delta T)^2/L_2\Delta B^2.$$

Aby byl magnetovací proud malý, volí se  $L_2 > L_0$  obvykle 3 až 6krát větší. Volí se jádro a tím je určen jeho objem. Pro určité výkony spinacích zdrojů výrobci feritových jader dopo malého předmagnetování jádra stejnosměrným proudem. Používají se proto jádra bez mezery. Permeabilita  $\mu_a$  odpovídá údaji, který vyplývá ze změny magnetické indukce. Pro návrh se používá velikost počáteční permeability.



Obr. 54. Některá zapojení propustných měničů: a) rekuperační dioda do zátěže (trvalé zatížení), b) tranzistory působí synchronně, rekuperační dioda do zdroje, c) nestabilizovaný kmitající propustný měnič

Celý magnetovací cyklus se skládá z malých hysterezních smyček (viz obr. 46). Volba přípustné velikosti  $\Delta B$  se podrobuje podrobnějšímu rozboru jako u transformátoru blokujícího měniče. Bývá v rozmezí 0,1 až 0,2 T.

Některé další varianty propustného měniče jsou na obr. 54.

### Dvojčinný měnič

Existují dva druhy dvojčinného zapojení měničů. Jsou to buď zdroje, stabilizované proměnným sériovým nebo paralelním odporem, nebo stabilizované dobou, po níž jsou transformátory připojeny ke zdroji. Doba připojení se reguluje šířkovou modulací impulsů s pevným opakovacím kmitočtem. Kmitající měniče nemají pevný kmitočet a neposkytují stabilizované výstupní napětí. U prvního druhu přechází indukce plynule z jedné velikosti na opačnou. U dvojčinných stabilizovaných zdrojů nastává prodleva indukce, protože mezi budicími impulsy pro spinací tranzistory je mezera, tj. nulové napětí. Magnetovací proud se při zmenšování i zvětšování mění s lomenou strmostí. Činnost transformátoru a filtrační tlumivky jsou oběma zapojením spojene. Schematicky naznačené zapojení dvojčinného měniče, který je stabilizován dobou sepnutí tranzistorů, je na obr. 55. Dvojčinný měnič se skládá ze dvou shodných impulsních transformátorů, navinutých na témže jádru, které pracují v protifázi. Diody D1 a D2 usměrňují napětí na sekundární straně transformátoru a energie je dodávána přes tlumivku L0 do zátěže. Při nevhodném výběru polovodičových součástek, nejsou-li mezi budicími impulsy dostatečné mezery (je-li přechod z nevodivého stavu do vodivého pomalý), vznikají dodatečné ztráty, způsobené zkratováním zdroje

pro transformátor, neboť oba spinací tranzistory krátkodobě vedou. Podobná situace je u diod i u předchozích měničů, neboť doba zotavení diody způsobuje, že obě diody jsou současně po určitou krátkou dobu otevřeny. Zhoršuje se tím účinnost měničů a tento stav je i často příčinou jejich havárie. Má-li se tomu u dvojčinných měničů předejet, musí být činitel plnění impulsů v době půlperiody vždy menší než 0,5.

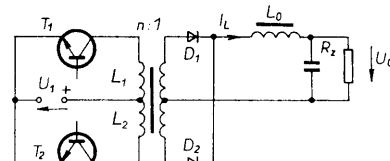
Vinutí transformátoru v době celé periody neprochází stejnosměrný proud a jádro proto nemusí mít mezeru. Pro rozkmit magnetické indukce se může využít celá hysterezní smyčka. Oba tranzistory by měly mít shodné vlastnosti, aby se jejich nevyrovnanost neprojevila stejnosměrnou složkou toku v transformátoru. Změna indukce vychází z opačné hodnoty magnetické indukce nasycení. Mohla by se tedy využívat až dvojnásobná magnetická indukce nasycení. Ohledy především na teplotní závislost vlastností feritů však tuto teoretickou indukci zmenšují až na 60 % indukce zjištěné při 20 °C.

Výstupní napětí  $U_0$

$$U_0 = (U_1/n)2\delta,$$

kde  $U_1$  a  $\delta$  jsou střední hodnoty vstupního napětí a poměrné šířky budicích impulsů. Převod transformátoru je

$$n = U_1 / (U_0 + U_D + U_t + U_{Tr} + U_v),$$



Obr. 55. Schematické zapojení dvojčinného měniče

kde  $U_t$  postihuje nedokonalost pravoúhlých impulzů na vinutí transformátoru, obvykle se uvažuje  $U_t = 0,1$  výstupního napětí. Veličiny  $U_D$ ,  $U_{Tr}$  a  $U_v$  jsou (postupně) úbytek napětí na diodě, spínacím tranzistoru a na vinutí transformátoru a tlumivky.

Během sepnutí tranzistoru  $T_1$  (obr. 55) se magnetovací proud  $I_m$  u měniče s budicími impulsy mění lineárně v závislosti na čase, přibližně z

$$-(V/L_1)(\delta T/2)$$

na

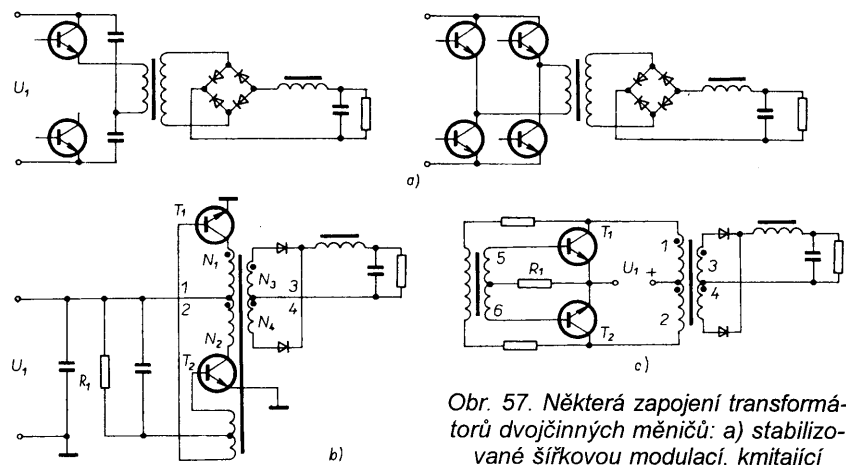
$$(V/L_1)(\delta T/2).$$

Otevřá-li se jeden tranzistor a druhý ještě není uzavřen, obě primární vinutí jsou odpojena od zdroje. Napěti na  $L_1$  i  $L_2$  se mění na opačné. Dioda  $D_2$  připoji toto napěti na napěti tlumivky. Magnetovací proud se pozvolna zmenší, uzavírá se cestou  $L_2/n^2$ ,  $D_2$ ,  $L_0$ ,  $R_z$ . Při sepnutém tranzistoru  $T_2$  se magnetovací proud zmenší a přechází do opačné polarity. Po přerušení proudu tranzistorem  $T_2$  se napěti na  $L_1$  i  $L_2$  změní na opačné a napěti transformátoru se připojí přes diodu  $D_1$  na napěti tlumivky. V intervalu, kdy jsou opět proudy oběma tranzistory přerušeny, magnetovací proud se pozvolna zvětší do kladných velikostí a uzavírá se přes  $L_1/n^2$ ,  $D_1$ ,  $L_0$  a zátěž  $R_z$ . Přibližně stálý proud v těchto intervalech zajíšťuje tlumivku  $L_0$ . Při sepnutí tranzistoru  $T_1$  se cyklus opět opakuje. Schématicky znázorněné průběhy napěti a proudů na dvojčinném transformátoru a tlumivce, na tranzistorech a diodách jsou na obr. 56.

Výchozí rovnice pro návrh vinutí transformátoru jsou: z napěťové plochy pro zvolenou magnetickou indukci je

$$U_1 = 4N_1BS_j \cdot (1/T),$$

kde  $S_j$  je nejmenší průřez magnetického obvodu jádra (zdvih magnetické



Obr. 57. Některá zapojení transformátorů dvojčinných měničů: a) stabilizované šířkovou modulací, kmitající  
b) s jedním a c) se dvěma jádry

Dosadí-li se za  $I_{1m\ max}$  z rovnice (B) do rovnice (C), odvodí se pro indukčnost  $L_1$  rovněž vztah

$$L_1 = \mu \mu_0 U_1^2 (\delta T)^2 / V_e B^2.$$

Postupem jako u propustného měniče se odvodí indukčnost tlumivky

$$L_0 = \{ [ (U_0)(1 - 2\delta)T ] / 4I_0 \} F,$$

kde  $2\delta$  je činitel plnění v době periody  $T$ .

Některé varianty zapojení dvojčinných měničů jsou na obr. 57. Schéma dvojčinného kmitajícího měniče je na obr. 57b. Budicí transformátor má jádro s pravoúhlou hysterezní smyčkou. Když se připojí napětí, teče přes rezistor  $R_1$  proud do bází tranzistorů. Protože ty mají vždy rozdílné vlastnosti (nebo se jejich nesymetrie vyvolá uměle), jeden z tranzistorů se otevře (např.  $T_1$ ) a proud protéká vinutím a magnetuje jádro transformátoru. Na vinutí 1 se objeví napěti zdroje, zmenšené o úbytky napěti na tranzistoru, na vinutí 2 se objeví napěti opačné polarity.

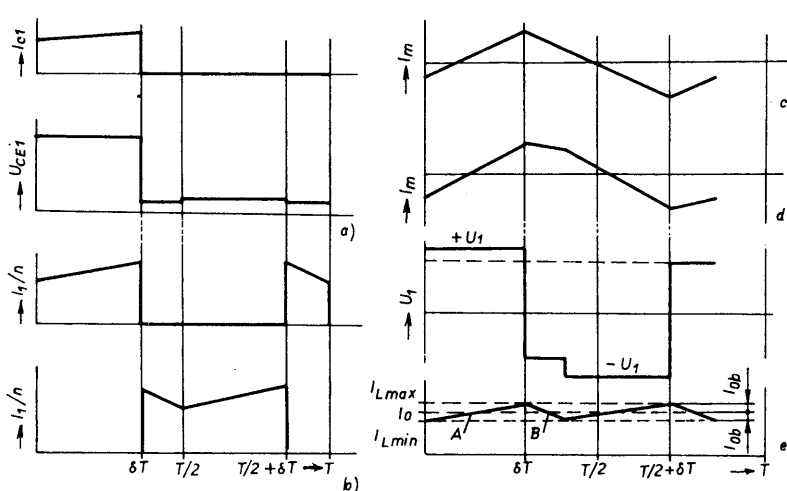
Obě vinutí jsou souměrná. Transformované napěti na vinutích 3 a 4 se usměrní. Tato vinutí jsou rovněž souměrná.

Napěti indukovaná v neoznačeném vinutí (zcela dole, dolní část) působí jako kladná zpětná vazba pro tranzistor  $T_1$ , který se otevře naplno. Naproti tomu napěti na horní části neoznačeného vinutí působí na tranzistor  $T_2$  právě opačně. Po době

$$t_1 = N_1 \Phi_s / U_1$$

se jádro transformátoru nasytí, magnetovací proud se sice dále zvětší, avšak růst indukčního toku se zastaví. To má za následek, že se napěti na všech vinutích zmenší. Tranzistor  $T_1$  se zavří a  $T_2$  otevří. Napěti na vinutích se mění na opačné. Postup se periodicky opakuje s dobou periody

$$T = 2N_1 \Phi_s / U_1 = 2N_1 B_s S_j / U_1.$$



Obr. 56. Schematické znázornění průběhů napětí a proudů v některých mísích regulovaného dvojčinného měniče: a) průběhy na  $T_1$ , b) proud diodami  $D_1$  a  $D_2$  (dole), magnetovací proud c) nezatíženého a d) zatíženého měniče, e) napětí na  $L_1$  (nahoru) a proud tlumivkou (dole)

$$A - \text{směrnice } ((U_1/n) - U_0) / L_0$$

$$B - \text{směrnice } -(U_0/L_0)$$

Napětí  $U_b$  indukované do obvodu báze má mít asi 1 V. Odpovídající počet závitů neoznačeného vinutí je

$$N_{\text{dolní části}} = N_{\text{horní části}} = (U_b / U_1) N_1.$$

Výstupní napětí po usměrnění (bez uvažování úbytku napětí) je

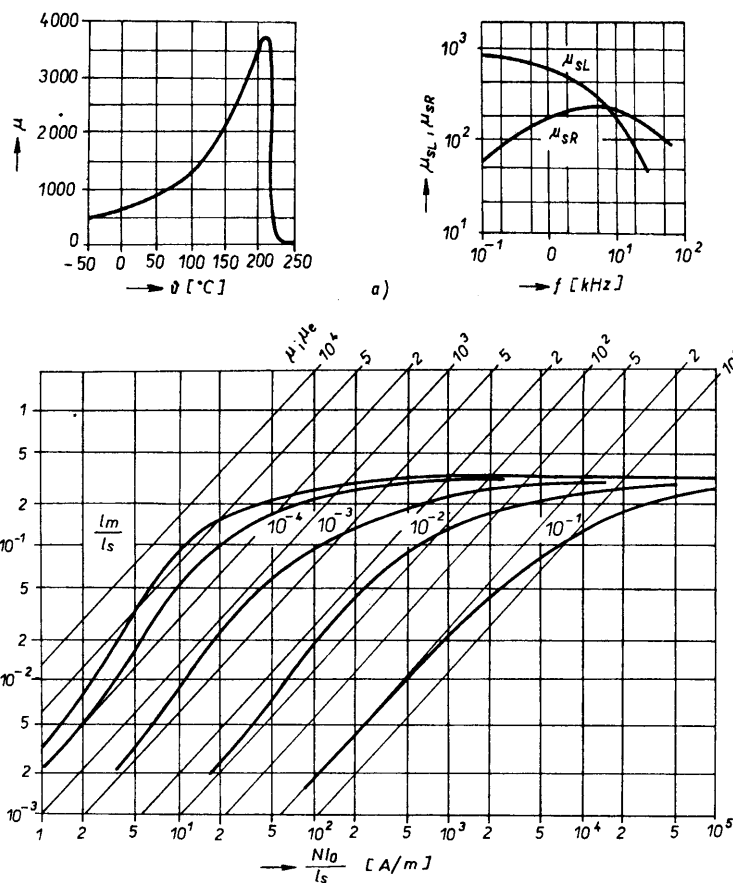
$$U_0 = (N_2 / N_1) U_1.$$

Výstupní transformátor je objemný a mimo to jsou jádra s pravoúhlou hysterezní smyčkou nákladná. Používají se proto dva transformátory (obr. 57c), z nichž jen jeden, objemově mnohem menší (vlevo), má jádro s pravoúhlou hysterezní smyčkou.

Výstupní napětí kmitajícího dvojčinného měniče není stabilizované. Při regulaci výstupního napětí šířkovou modulací budicích bázových impulsů nesmí být doba plnění  $\delta_{\max}$  impulsů v půlperiodě větší než  $T/2$ . Výstupní napětí potom je

$$U_0 = 2\delta (N_2 / N_1) U_1.$$

Regulované dvojčinné měniče nevyžadují jádro s pravoúhlou hysterezní smyčkou. Neúměrnému zvětšení indukčního toku se zamezuje jednak počtem závitů vinutí, jednak jeho přípustnou změnou. Pro feritová jádra a kmitočtu 20 kHz se uvažuje s indukcí 300 mT. Kmitající měniče mají kmito-



Obr. 58. a) Průběh teplotní závislosti počáteční permeability a složek komplexní permeability  $\mu_{SL}$  a  $\mu_{SR}$  v závislosti na kmitočtu pro feritovou hmotu s pravoúhlou hysterezní smyčkou (Philips 3R1), b) statická magnetovací křivka feritu H22 při 40 °C a odvozené magnetovací křivky pro různé relativní délky mezery

Tab. 17. Feritová hmota Philips 3R1

|                               |   |                    |
|-------------------------------|---|--------------------|
| $\mu$                         | 10 kHz, 0,1 T, 25 °C                              | 800 ±20 %          |
| $B$ [mT]                      | 10 kHz, 250 A/m, 25 °C<br>10 kHz, 250 A/m, 100 °C | 390<br>300         |
| $B_r$ [mT]                    | od 1 kA/m, 25 °C<br>od 1 kA/m, 100 °C             | 340 ±25<br>250 ±25 |
| $H_c$ [A/m]                   | od 1 kA/m, 25 °C<br>od 1 kA/m, 100 °C             | 42 ±10<br>20 ±5    |
| $\rho$ [Ωm]                   | 25 °C   | 1                  |
| TC [°C]                       |   | >200               |
| $\gamma$ [g/cm <sup>3</sup> ] |   | 4,7                |

Tab. 18. Výběr některých jader podle výkonu dvojčinného měniče při spínacím kmitočtu 20 kHz

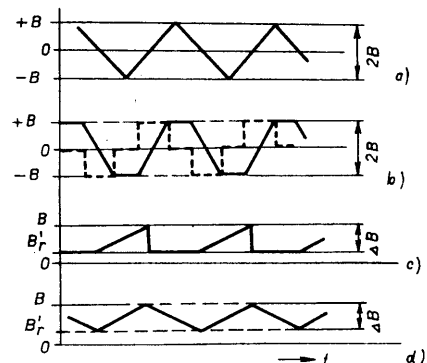
| Výkon [W]  | Typy jader |                |                        |        |     |    |        |
|------------|------------|----------------|------------------------|--------|-----|----|--------|
|            | RM         | hrníčková      | E                      | U      | ETD | EC | PM     |
| <5         | 4          | 11/7           | 12,6                   |        |     |    |        |
| 5 až 10    | 5          | 14/8           | 16                     | 10     |     |    |        |
| 10 až 20   | 6          | 18/11          | 20                     | 15     |     |    |        |
| 20 až 50   | 8          | 22/13          | 25                     | 20     |     |    |        |
| 50 až 100  | 10         | 30/19<br>26/20 | 32/8<br>32/12<br>42/15 | 25     | 29  | 35 |        |
| 100 až 200 | 12         | 36/22          | 42/20, 55              | 26     | 34  | 41 | 50, 62 |
| 200 až 500 | 14         | 42/29          | 55                     | 30     | 39  | 52 | 74     |
| >500       |            |                | U70 a výš              | 44, 49 | 70  | 87 |        |

čet nižší než je kmitočet dvojčinných spinacích zdrojů, protože kovová jádra s pravoúhlou hysterezní smyčkou (zatím používaná) nemohou zpracovávat impulsy o kmitočtu spinacích zdrojů. Jsou však již vyvinuty feritové

hmoty, které tvoří alternativu ke kovovým jádrům s pravoúhlou hysterezní smyčkou. Tyto hmoty mají několikanásobně větší indukci nasycení než měly feritové hmoty s pravoúhlou hysterezní smyčkou pro paměťová jádra. Jádra z této hmot jsou používána pro regulační účely, magnetické zesilovače a magneticky řízené usměřovače. Vlastnosti jedné z nich jsou v tab. 17. Průběhy teplotní závislosti počáteční permeability (obr. 58a) a složek komplexní permeability nejsou zcela typické.

Na obr. 59 je schematicky znázorněn průběh magnetické indukce pro uvedené tři druhy měničů.

V tab. 18 a 19 je přehled některých používaných jader a údaje o jimi přenášených výkonech.

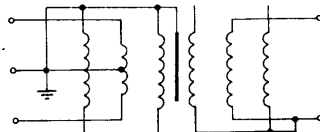


Obr. 59. Průběhy magnetické indukce u různých typů měničů: a) dvojčinný, b) dvojčinný s mezerami budicích impulsů (čárkovaně průběh napětí), c) propustný, d) blokující

## Měniče pro malé výkony

V tab. 20 jsou vybrané údaje transformátorů pro měniče malých výkonů. Tyto měniče jsou obvykle konstruovány jako oscilátory s kmitočtem 6 až 20 kHz. Jsou napájeny malým stejnosměrným napětím. Napětí pro usměrnění a stabilizaci se odebírá z transformátoru. V těchto aplikacích jsou zvlášť technicky zajímavé transformátory pro „plovoucí zdroje“ malého výkonu. Tyto zdroje jsou např. v elektronických voltmetrech a fázoměrech, určených k měření v obvodech oddělených od vztahné úrovni napětí (země).

U plovoucích zdrojů stejnosměrného napětí, u nichž žádná výstupní svorka není spojena se zemí, se rušivě uplatňuje přímé napájení transformátoru ze sítě. Přestože se u transformátorů používá dvojitý stínění, mají napáječe i s takto upraveným vinutím funkční nedostatky. Schéma dvojitého stínění a jeho provedení je na obr. 60. Vzájemné kapacity mezi vinutím a stíněním se svedou tam, kde se rušivě neprojeví. Podobně i usměrňovací jednotka musí být ve dvojtém stínění. Díky objemnosti takto řešeného napáječe je větší spotřeba izolačních materiálů - jejich použitím se zvětšují svody i parazitní kapacita přímého přenosu napětí ze síťového výstupu na výstup napáječe. U plovoucích napáječů se mění stejnosměrné napětí (vzhledem k zemi) na plovoucí napětí přes napětí střídavé. Pro zmenšení rozdílů napáječů se používá kmitočet až několik desítek kHz. Vzhledem k rušení, které je vyvoláno tímto kmitočtem, jeví se jako výhodný kompromisní kmitočet kolem 10 kHz, při němž lze kromě toho použít jak feritová jádra, tak jádra z permaloyů, která jsou vinuta z tenkých pásků (0,03 mm až 0,05). Protože snaha získat harmonický



Obr. 60. Transformátor s toroidním jádrem a dvojitým stíněním vinutí

průběh napětí je spojena se špatnou účinností měniče, používá se napětí pravoúhlého nebo lichoběžníkovitého průběhu, které je získáváno úplným otevřáním a zavíráním tranzistorů. Takový zdroj napětí má větší účinnost. Rušení, které je způsobené parazitní vazební kapacitou, lze omezit zkosením náběžných hran u lichoběžníkových průběhů a použitím kmitočtů do 10 kHz. Je-li strmost náběžné hrany např. 1 V/1 μs a připustí-li se rušivý proud  $I_r$ , jen 1 μA, je nutné, aby parazitní vazební kapacita  $C$  byla

$$C < I_r(dt/dV) = 10^{-6} \cdot 10^{-6} F = 1 pF.$$

Uvedená parazitní kapacita vyhovuje u nenáročných zařízení s plovoucím napájením.

Konstrukční provedení náročného transformátoru pro plovoucí napáječe používá dva toroidy z permaloye nebo feritu, které umožňují prostorově oddělit vinutí, a tím značně zmenšit vazební (parazitní) kapacitu. Toroidní jádro z permaloye PY50H (tloušťka pásku 0,05 mm) nebo feritu z hmoty H21 (např. o rozměrech Ø16 / Ø10x5 - podle odebíraného výkonu) je vloženo do pouzdra z kvalitního izolačního materiálu, např. z teflonu. Izolační pouzdro je na protilehlých místech ovinuto v úhlu 120° vinutím, které působí jako stínění. Z vinutí je vyveden jen jejich začátek. Vinutí se izolují páskou. Na jedno z vinutí je v jedné čtvrtině obvodu jednoduše, pro dvojčinné zapojení bifilárně, navinuto pri-

mární vinutí. Na izolované vinutí se navinou opět v úhlu asi 120° vinutí, která působí opět jako stínění. Z těchto vinutí je opět vyveden jen jejich začátek. Součástí stínění je i samotné jádro (v případě permalloye), připojené vodičem na nulové napětí. Sekundární vinutí je navinuto na čtvrtině protilehlého vinutí. Uspořádání je podobné jako u vinutí primárního. Transformátor je uložen tak, že sekundární vinutí zasahuje do stínění skříňky plovoucí části zdroje, z níž vyčnívá primární vinutí. Plovoucí část obsahuje usměrňovače, filtry a stabilizátor. Tačí skříňka je izolovaně uložena v další uzavřené skřínce.

Má-li se dosáhnout ekvivalentní parazitní kapacity několika tisící pF, což bývá požadavkem pro plovoucí zdroje měřicích přístrojů, je nutné ještě důkladněji prostorově oddělení. Používá se transformátor se dvěma oddělenými jádry. Na jednom jádru je navinuto primární vinutí, na druhém sekundární. Obě vinutí a jejich stínění jsou stejná jako v předchozím případ-

Tab. 20. Přibližné vnější rozměry transformátoru pro měniče malého výkonu s kmitočtem jednotek kHz a s feritovým jádrem

| Přibližné vnější rozměry navinutého toroidu nebo hrn. jádra (vnější prům. jádra / výška) | Výkon stejnosměrného zdroje | Kmitočet   |
|--|-----------------------------|------------|
| [mm]   | [W]                         | [kHz]      |
| 10/7   | 1,5                         |            |
| 13/9   | 4                           |            |
| 16/10  | 7,5                         |            |
| 20/13  | 14                          |            |
| 24/16  | 25                          |            |
| 28/18  | 40                          |            |
| jádro E42/20   | 15                          | 0,4 až 3,5 |

| Typ jádra | Ztrát. výkon jádra [W] při $\Delta\vartheta = 40^\circ C$ | Výkon spínacího zdroje [W] při $\Delta\vartheta = 40^\circ C$ |                           |                            |                           |                            |                           |                            |                           |                            |                           |                            |
|-----------|---|---|---------------------------|----------------------------|---------------------------|----------------------------|---------------------------|----------------------------|---------------------------|----------------------------|---------------------------|----------------------------|
|           |   | 20 kHz  |                           |                            | 50 kHz                    |                            |                           | 100 kHz                    |                           |                            | 300 kHz                   | 600 kHz                    |
|           |   | blok. $\Delta B = 200$ mT                                     | prop. $\Delta B = 200$ mT | dvojč. $\Delta B = 200$ mT | prop. $\Delta B = 200$ mT | dvojč. $\Delta B = 200$ mT | prop. $\Delta B = 200$ mT | dvojč. $\Delta B = 200$ mT | prop. $\Delta B = 100$ mT | dvojč. $\Delta B = 100$ mT | prop. $\Delta B = 100$ mT | dvojč. $\Delta B = 100$ mT |
| E42/15    | 2,2   | 100   | 120                       | 300                        |                           |                            |                           |                            |                           |                            |                           |                            |
| E55       | 5,2   | 240   | 270                       | 550                        |                           |                            |                           |                            |                           |                            |                           |                            |
| RM5       |   | 1,5   | 2                         | 5                          | 5                         | 13                         | 10                        | 25                         | 20                        | 30                         | 30                        | 40                         |
| RM6       |   | 4   | 5                         | 20                         | 12                        | 27                         | 24                        | 45                         | 40                        | 55                         | 50                        | 70                         |
| RM8       | 0,3   | 9   | 12                        | 50                         | 30                        | 60                         | 55                        | 90                         | 80                        | 100                        | 90                        | 135                        |
| RM10      | 1,4   | 18  | 23                        | 80                         | 45                        | 90                         | 90                        | 160                        | 180                       | 180                        | 170                       | 240                        |
| RM14      | 1,6   | 70  | 80                        | 300                        | 140                       | 250                        | 200                       | 280                        |                           |                            |                           |                            |
| UI93/150  |   | 1400  | 1600                      | 2400                       |                           |                            |                           |                            |                           |                            |                           |                            |
| PM50      |   | 200   | 220                       | 400                        | 400                       | 500                        | 500                       | 750                        |                           |                            |                           |                            |
| PM62      |   | 350   | 400                       | 700                        |                           |                            |                           |                            |                           |                            |                           |                            |
| PM74      |   | 550   | 600                       | 1000                       |                           |                            |                           |                            |                           |                            |                           |                            |
| PM87      |   | 800   | 950                       | 1600                       |                           |                            |                           |                            |                           |                            |                           |                            |
| PM114     |   | 1500  | 1700                      | 2700                       |                           |                            |                           |                            |                           |                            |                           |                            |
| EC35      |   | 55  | 62                        | 130                        | 140                       | 220                        | 220                       | 350                        |                           |                            |                           |                            |
| EC41      |   | 75  | 90                        | 200                        | 200                       | 300                        | 300                       | 450                        |                           |                            |                           |                            |
| EC52      |   | 160   | 190                       | 350                        | 320                       | 500                        | 500                       | 700                        |                           |                            |                           |                            |
| EC70      |   | 380   | 420                       | 800                        | 900                       | 1200                       | 1500                      | 1800                       |                           |                            |                           |                            |

Tab. 19. Výkony spínacích zdrojů s některými jádry při určitém oteplení, indukci a spínacím kmitočtu



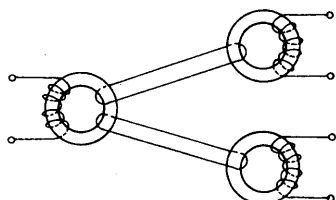
Obr. 61. Schematický nákres vazby dvou transformátorů s oddělenými jádry

dě. Obě jádra jsou vázány společným vinutím nakrátka (obr. 61). Toto vinutí může mít buď jeden závit drátu většího průřezu, nebo několik závitů i neizolovaného drátu menšího průřezu. Pro funkci vazební smyčky není významné, dojde-li k vzájemným zkraťům mezi jednotlivými závity. Obě jádra jsou před ovíjením opět uložena do izolačních pouzder. V tomto případě nároky na izolační vlastnosti toroidů vůči primárnímu vinutí nejsou velké. Pouzdro může být např. ze silonu. Toroid se sekundárním vinutím je vložen do pouzdra z kvalitního izolantu, např. z teflonu. Vinutí je opět stíněno jednou vrstvou vinutí. Vazební smyčkou je možno navázat i několik plovoucích zdrojů (na obr. 62 je navázání dvou zdrojů).

Transformátory malých výkonů jsou výstupními transformátory jednočinných nebo dvojčinných oscilátorů. Protože zdroj střídavého napětí má nezanedbatelný vnitřní odpor, je i při buzení výstupu harmonickým průběhem průběh napětí na transformátoru zkreslený.

Návrh dvojčinných transformátorů měničů malých výkonů se neliší od návrhu výkonových transformátorů s vyšším kmitočtem, neboť stejnosměrná složka proudu je u nich vykompenzovaná. Vinutí transformátorů jednočinných oscilátorů však prochází stejnosměrný proud, který způsobí, že jádro má stejnosměrnou složku, na kterou je superponována magnetická indukce od střídavého napětí. Součet obou indukcí nesmí překročit určitou velikost, je omezen buď velikostí magnetické indukce nasycení, nebo přípustnými ztrátami v jádru, nebo přílišným zkreslením napětí. Rozkmit magnetické indukce od střídavého napětí nemůže být v tomto případě větší než velikost stejnoměrné magnetické indukce.

Při malých rozkmitech magnetické indukce vychází návrh transformátoru z přípustného zmenšení vratné permeability v závislosti na intenzitě magnetického pole předmagnetování. Je-li předmagnetování velké, přípustný pokles vratné permeability se nastavuje mezerou v magnetickém ob-



Obr. 62. Transformátory pro dva plovoucí zdroje

vodu. Se zvětšujícím se rozkmitem magnetické indukce se přípustná intenzita předmagnetování zmenšuje proti intenzitě při malém rozkmitu indukce. Hannaovy diagramy pro případ velkého rozkmitu magnetické indukce jsou jen přibližným vodítkem.

Na obr. 58b byla ukázka řešení transformátoru s feritovým jádrem z feritové hmoty H22 s homogenním magnetickým obvodem ( jádro E), u něhož je třeba využívat i magnetovací křivky zjištěné při teplotě vyšší, než je teplota okolí. Vychází se ze statické magnetovací křivky zjištěné při 40 °C, která byla vynášena v závislosti na  $NI_0 / I_s$ . Pro různé velikosti mezery v magnetickém obvodu se odvodí magnetovací křivky. Přibližně od relativní délky mezery  $I_m / I_s > 10^{-5}$  platí, že

$$(I_m / I_s)(B / \mu_0) = NI_0 / I_s,$$

úpravou se odvodí, že

$$I_m / I_s = 1 / \mu_{se},$$

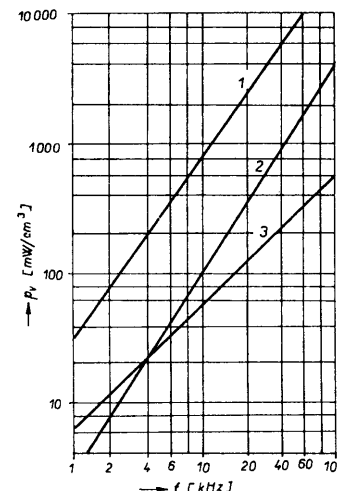
kde  $\mu_{se}$  je efektivní statická permeabilita. Soubor magnetovacích křivek pro několik relativních délek mezer pro hmotu H22 je na uvedeném obrázku. Při napětí s pravoúhlým průběhem je možné používat větší rozkmit magnetické indukce než při průběhu harmonickém. Rozdíl však není podstatný, protože stejnosměrná magnetická indukce může být větší jen o několik desítek procent.

Předpokládá se, že jsou zadány  $B$  a  $I_0$ . V uvedeném příkladu s feritovým jádrem by mohla být stejnosměrná magnetická indukce až 0,15 T, střídavá magnetická indukce 0,1 T. Oteplení jádra pro nízký kmitočet (10 kHz) a malou změnu magnetické indukce se nemusí uvažovat. Volbou počtu závitů, velikosti jádra a velikosti relativní délky mezery se naleznou vyhovující poměry. Nebude-li mít zamýšlené jádro homogenní průřez, nebudou mít grafy na obr. 58b platnost pro materiál, ale jen pro uvažovaný typ jádra z tohoto materiálu. Magnetovací křivka se vztahne v tomto případě na nejmenší průřez jádra a na náhradní délku  $I_e$  magnetické siločáry.

Je-li požadována určitá velikost přírůstkové (inkrementální) indukčnosti  $L_\Delta$ , je třeba dále kompromisně hledat zadané veličiny  $B$ ,  $U_{max}$ ,  $I_0$ ,  $L_\Delta$  změnou  $N$ ,  $S_j$ ,  $I_e$ ,  $I_m$ . Optimální poměry je vhodné hledat při předmagnetování asi  $0,25B_s$ .

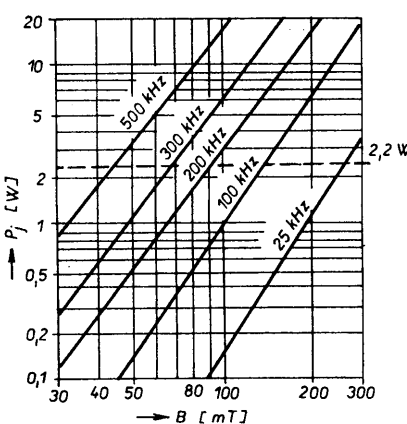
### Vlastnosti feritů pro transformátory spínacích zdrojů

Na obr. 63 jsou typické průběhy ztrátových výkonů tří magnetických materiálů: jádra C s plechem Eo10 (tloušťky 0,3 mm), PY50 (0,05 mm) a feritu Mn-Zn s  $\mu_p \sim 2000$ . Ztrátový výkon vztázený na  $W/cm^3$  byl zjištován



Obr. 63. Porovnání měrného ztrátového výkonu plechu Eo10 (tloušťky 0,3 mm) - křivka 1, PY50 (tloušťky 0,05 mm) - křivka 2 a feritu H21 - křivka 3 v závislosti na kmitočtu při magnetické indukci 200 mT (sin. průběh)

v závislosti na kmitočtu při změně magnetické indukce 200 mT (při sinusovém průběhu). Z údajů vyplývá, že ferity jsou při této změně magnetické indukce výhodnější již od 3 kHz. Následující obrázek (obr. 64) uvádí ztráty výkonu typické feritové hmoty Mn-Zn s  $\mu_p \sim 2000$ , zjištěné v obvodu, složeném ze dvou jader E42x15 mm v závislosti na kmitočtu při definované změně magnetické indukce (sin. průběh). Samotné transformátorové jádro, složené z těchto dvou jader E, která jsou vložena do navinutého cívkového těliska, může svým povrchem, který je ve styku se vzduchem, odvést 2,2 W při oteplení jádra o 40 °C. Omezí-li se výkon touto hranicí, může se z grafu přečíst přípustný spínací kmitočet nebo přípustná změna magnetické indukce při známém spínacím kmitočtu. Tato úvaha se blíží



Obr. 64. Ztrátový výkon feritového jádra E42/15 z hmoty H21 v závislosti na kmitočtu a magnetické indukci (sin. průběh). Vyznačena je hranice přípustných ztrát jádra, nemá-li být překročeno oteplení jádra 60 °C

ží činnosti transformátoru dvojčinného měniče s napětím pravoúhlého průběhu.

Připustí-li se využít možnou změnu magnetické indukce, která je podle grafu 300 mT, získá se maximální spínací kmitočet asi 20 kHz. Při vyšším kmitočtu se musí zmenšovat změna magnetické indukce, aby se nepřekročil připustný ztrátový výkon jádra.

Podle průběhu ztrátového výkonu na obr. 64 se magnetická indukce zmenšuje se zvyšováním spínacího kmitočtu a při zachování počtu závitů pomaleji, než odpovídá zvyšování kmitočtu. Není to však pravidlo. Pro jinou feritovou hmotu může být zjištěna závislost odlišná (viz dále rov. D).

Transformátor s jádry E42x15 v dvojčinném zapojení a při spínacím kmitočtu 20 kHz přenáší až 200 W. V tomto příznivém případu se ztráci v transformátoru (tj. v jádru i ve vinutí) asi 5 W. Vlivem transformátoru se účinnost zdroje zmenšila o 2,5 %. Na filtrační tlumičce se rovněž ztráci přes 2 % výkonu. Účinnost zdroje se zmenšila o 5 % jen vlivem magnetických součástí.

Pro omezení napěťových překmitů, které mohou ohrozit polovodičové součástky, je nutné omezovat co nejvíce rozptylovou indukčnost vinutí. Ta je úmerná činiteli rozptylu  $\sigma$

$$\sigma = (1/\mu\mu_0)(l_s/l_v S_b b_v) = (1/\mu\mu_0)\sigma'$$

Výhodná jsou jádra, u nichž může být malý poměr výšky vinutí  $h_v$  k jeho šířce  $b_v$ . Ostatní rozměry jako  $l_s$ ,  $l_v$  a  $S_b$  mohou však toto pravidlo ovlivnit. Přesto však výběr vhodného jádra, které má nejmenší  $\sigma$ , není příliš široký: velikost tohoto činitele u nejvhodnějších jader je jen trojnásobkem činitele  $\sigma'$  u jader nevhodnějších. Jsou však i jiná hlediska pro výběr jádra. Pro měniče ve spotřební elektronice je to levnost jader, která souvisí s jejich tvary. Nenákladnost a malý činitel rozptylu jsou dva vzájemné protichůdné požadavky.

Transformátory měničů pracují v teplotě okolo 40 °C. S oteplením jader se uvažuje minimálně o 40 °C. Jejich teplota bývá 80 až 100 °C. Proto tyto hmoty mají vysokou Curieho teplotu (TC=200 °C) a sekundární minimum magnetické krystalové anizotropie technologickým zpracováním mají tak umístěné, aby feritová hmota pro transformátory spínacích zdrojů měla minimální ztráty právě v oblasti 80 až 100 °C a aby se dosáhlo magnetické indukce 330 mT při malé intenzitě magnetického pole (méně než 2,5 A/cm, sin. průběh indukce, kmitočet 16 kHz). Jsou však k dispozici ferity, které dosahují minimálního ztrátového výkonu při 50 nebo i při 110 °C.

Tab. 21. Některé údaje o vlastnostech feritové hmoty nejlepší kvality pro transformátory spínacích zdrojů. Minimální měrný ztrátový výkon je v okolí 80 °C. Minimum je velmi ploché. Odchylka vzhledem ke 100 °C je do 10 %. Např. hmoty 3F3 Philips, N67 Siemens, připravovaná hmoty H24 PRAMET

|                             |   |                    |
|-----------------------------|---|--------------------|
| $\mu_p$                     | 10kHz, 0,1 mT, 25 °C  | 1800 ± 20 %        |
| $\mu_{a \max}$              | 25 kHz, 200 mT, 25 °C<br>25 kHz, 200 mT, 100 °C                             | 4000<br>4000       |
| $B_s$ [mT]                  | 10 kHz, 250 A/m, 25 °C<br>10 kHz, 250 A/m, 100 °C                           | >400<br>>330       |
| $H_c$ [A/m]                 | 10 kHz, 25 °C<br>10 kHz, 100 °C   | 15<br>10           |
| $p_v$ [mW/cm³]              | 25 kHz, 200 mT, 100 °C<br>100 kHz, 100 mT, 100 °C<br>400 kHz, 50 mT, 100 °C | <90<br><80<br><150 |
| $\rho$ [ $\Omega\text{m}$ ] | 25 °C   | 2                  |
| TC [°C]                     |   | >200               |
| $\gamma$ [g/cm³]            |   | 4,75               |

Zlepšování transformátorů spínacích zdrojů je spojeno jednak se zmenšováním ztrát v jádřech tak, aby bylo možné uvažovat větší změny magnetické indukce, jednak se zlepšením technologie jejich vinutí. Nejlepší současné feritové hmoty dosahují při 500 kHz takových ztrát, jaké nalezejí těmto hmotám z obr. 65 při kmitočtu 300 kHz.

Feritová jádra používaná pro měniče mají měrný ztrátový výkon při kmitočtu 25 kHz a indukci 200 mT (sin. průběh) v rozsahu 50 až 200 mW/cm³. Údaje o vlastnostech feritové hmoty pro spínaci transformátory jsou v tab. 21. Závislost měrných ztrát na kmitočtu a indukci je na obr. 64. Někdy se měrné ztráty vyjadřují v mW/g. Vydělí-li se údaj vyjádřený v mW/cm³ měrnou hmotou, která pro ferity spínacích transformátorů je 4,8 g/cm³, získá se údaj v mW/g. Je-li znám měrný ztrátový výkon např. 20 mW/g při kmitočtu 25 kHz a indukci 200 mT, je možné přepočítat měrný ztrátový výkon pro jiný blízký kmitočet a jinou blízkou magnetickou indukci

$$P_v = 20 \cdot (f/25)^{1+x} \cdot (B/200)^y \cdot M_j \quad (\text{D})$$

[mW, mW/g, kHz, mT, g]

Koefficient  $x$  se zjistí z kmitočtové závislosti ztrátového činitele v okolí kmitočtu 25 kHz jako směrnice jeho zvyšování. Uvažuje se s průměrným  $x = 1$ . Koefficient  $y$  bývá v rozmezí 1,5

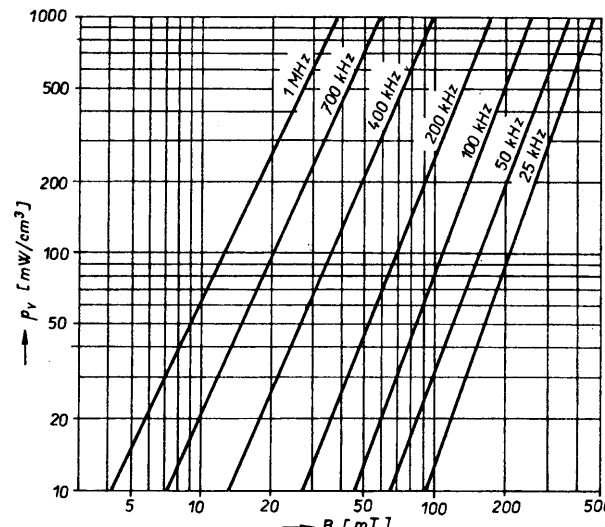
až 3. Uvažuje se s průměrným  $y = 2$ . Velikost  $x$  a  $y$  se pro různé feritové hmoty liší a mění se i s kmitočtem, pro jehož okolí se zjišťuje. Pro feritová jádra z hmoty H21 je  $x = 0,2$  až do kmitočtu 100 kHz a  $y = 2,3$ . Vyjadřovat ztráty při sin. průběhu magnetické indukce na torodech je vhodné z hlediska vzájemného porovnávání feritu a reprodukovatelnosti ověřování údajů. Skutečné ztráty v transformátorech měničů jsou při stejné změně magnetické indukce v homogenním magnetickém obvodu větší, neboť jak časový průběh magnetické indukce, tak i časový průběh magnetického pole obsahují vyšší harmonické kmitočty, které vytvářejí přidavné ztrátové výkony. U nehomogenních magnetických obvodů bývají o 20 až 30 % menší, neboť uvažované změny magnetické indukce se dosáhne jen v nejmenším průzezu jádra.

Výběr magnetické indukce a kmitočtu by měla vycházet z měření měrných ztrát v závislosti na kmitočtu a magnetické indukci sinusového průběhu. Připustné ztráty ve zvoleném jádru, určené z jeho přípustného oteplení, by vymezily možné kmitočty spinání a jim odpovídající změnu magnetické indukce.

Výkon transformátoru je omezen vlastnostmi magnetického obvodu a vinutí. Rozdelení je dobře patrné ze vztahu

$$P = X S_b B_f (\pi \sigma_a S_v / 8)$$

$\swarrow \quad \searrow$   
 $U/N \quad IN$



Obr. 65. Měrné ztráty feritové hmoty s vlastnostmi z tab. 21 v závislosti na kmitočtu a magnetické indukci. Měřeno při harmonickém průběhu magnetické indukce

pro harmonický průběh indukce  $X = 4,44$ ,  
pro dvojčinný měnič  $X = 4$ ,  
pro blokující a propustný měnič  $X = 2$ .

Ztrátový výkon se musí kompromisně rozdělit mezi ztrátový výkon jádra a vinutí.

Oteplení jádra se odhaduje ze ztrátového výkonu v jádru

$$\Delta \vartheta = P_v / c_j C_j.$$

Pro ferity je průměrná ochlazovací konstanta  $C_j = 0,08 \text{ W/cm}^2\text{K}$ . Pro malá feritová jádra s rozměrem přibližně 20 mm je tato konstanta 0,02. Pro rozměrná feritová jádra s rozměrem 160 mm je ochlazovací konstanta 0,3. Impregnováním nebo zhoršením proudění vzduchu se ochlazovací konstanta zvětšuje až na dvojnásobek.  $C_j$  je ochlazovací povrch jádra. Při relativním zmenšování ochlazovací plochy vzhledem k objemu jádra se musí  $B$  zmenšovat. Např. u blokujícího měniče s největšími jádry se používá i jen 80 mT. Stahovací sily u skládaných feritových jader jsou 2 až 5 N/cm² styčné plochy.

U jader s mezerou vlivem přitažlivých sil na plochách mezery, popř. vlivem magnetostriktce, může nastat rezonance, je-li pracovní kmitočet polovinou rozměrového rezonančního kmitočtu jádra. Feritová jádra se mohou porušit. Je nutné použít jiný kmitočet, jádra s jinými rozměry, nebo mezeru vyplnit tlumící hmotou.

## Magnetické materiály pro jádra tlumivek

U tlumivek je třeba určovat kromě elektrických parametrů (jako je indukčnost a přípustné ztráty ve vinutí a v jádru při zadaném proudu  $I_0$  a periodě spínání  $T$ ) materiál jádra a jeho tvar. S tím souvisí určení počtu závitů a velikost mezery v magnetickém obvodu.

Jádro tlumivky je magnetováno stejnosměrným proudem o pilovitém průběhu. Střídavá složka napětí na vinutí má teoreticky pravoúhlý průběh. Pro dosažení přijatelného filtračního činitele je nutné, aby jádro tlumivky mělo pro druhou a alespoň i pro třetí harmonickou dostatečnou permeabilitu. Pro spínací zdroje se musí uvažovat materiál jádra tlumivky, který je schopen magnetování při malém ztrátovém výkonu v jádru kmitočtem alespoň trojnásobným oproti spínacímu kmitočtu. Nebude-li tomu tak, tlumivka nebude proudy o těchto kmitočtech tlumit a její činnost se ne-projeví zmenšením zvlnění usměrněného proudu. Ztrátový výkon v jádru, s nímž se musí uvažovat, souvisí s oteplením jádra a s tím souvisí i požadavek zaručovat magnetické vlastnosti při provozní teplotě jádra 80 až 100 °C.

Tab. 22. Stejnosměrné intenzity magnetického pole  $H_h$ , od nichž se počíná zmenšovat vrata v permeabilita železopracových jader

| Materiál jádra    | Permeabilita jádra [-] | $H_h$ [A/cm] |
|-------------------|------------------------|--------------|
| karbonylový prach | 7                      | 420          |
|                   | 20                     | 160          |
|                   | 35                     | 90           |
|                   | 55                     | 40           |
|                   | 75                     | 30           |
|                   | 90                     | 26           |
| permallyový prach | 14                     | 170          |
|                   | 26                     | 92           |
|                   | 60                     | 40           |
|                   | 125                    | 16           |
|                   | 160                    | 14           |
|                   | 200                    | 12           |
|                   | 300                    | 8            |
|                   | 550                    | 4            |

Používané materiály jsou především ferity. Menších rozměrů tlumivek se dosahuje s jádry C, vinutými z tenkých pásků amorfálních slitin, permallyový nebo z elektrotechnických ocelí, avšak pro zdroje se spínacím kmitočtem jen do 20 kHz. Do tohoto kmitočtu jsou přibližně použitelná i jádra vinutá z pásků tloušťky 0,05 mm, tedy i jádra C z elektrotechnických ocelí s magnetickou texturou. Tyto materiály umožní využít dvojnásobnou změnu magnetické indukce oproti feritům. Některé inzerované druhy feritů jsou vhodné pro spínací transformátory a tlumivky až do kmitočtu 400 kHz.

Železopracová toroidní jádra z permallyových prachů dosahují permeability max. 550. Vzájemným izolováním kovových prášků je mezeera rozptýlena, takže se do magnetického obvodu již nezavádí. Vyráběna jsou však jádra s odstupňovanou permeabilitou, takže není možné si zvolit permeabilitu jakoukoliv. S touží permeabilitou se vyrábí několik velikostí jader. Tlumivka se navrhne na zvolené kruhové jádro s uvedenou kruhovou permeabilitou.

U železopracových kruhových jader používaných pro tlumivky spínacích zdrojů bývá udávána intenzita stejnosměrného magnetického pole  $H_h$ , od níž se při dalším zvětšování pole permeabilita jádra zmenšuje.

Není-li toto pole udáváno v katalogu, musí se změřit. Pro maximální přípustné pole a indukčnost cívky s toroidním jádrem platí:

$$H = NI_0 / I_s < H_h \\ I_0 = I_{L_{max}} \\ L = \mu_{tor} \mu_0 N^2 (S_j / I_s)$$

Spojením obou rovnic se získá

$$L I_0^2 < \mu_{tor} \mu_0 H_h^2 V_j$$

V nerovnosti jsou  $L$  a  $I_0$  zadané,  $\mu_{tor}$  se volí. Této permeabilitě jádra

odpovídá určité pole  $H_h$ . Z nerovnosti se určí potřebný objem jádra  $V_j$ . Nevyhovuje-li, použije se jiná permeabilita jádra a k ní náležející jiná velikost pole  $H_h$ . V tab. 22 jsou velikosti pole  $H_h$  pro dva nejrozšířenější druhy železopracových jader (z karbonylového železa a z permallyových prachů) a vyráběných permeabilit. Je-li určena velikost jádra, je potom potřebný počet závitů

$$N = \sqrt{LI_s / \mu_{tor} \mu_0 S_j}$$

Určí se dále průměr vodiče a kontroluje se, zda není překročen přípustný odpor vinutí. Obvykle se připouští zmenšení účinnosti spínacího zdroje tlumivou o 2 %. Měřením střídavého napětí  $U$  na tlumivce se kontroluje, není-li magnetická indukce pro jádra s ferity větší než 200 mT, pro železopracová jádra větší než 400 mT.

$$\Delta B = U \delta T / NS_j \begin{cases} < 0,2 \\ < 0,4 \end{cases}$$

Je-li rozkmit indukce překročen, je nutné zvětšit indukčnost tlumivky a znova kontrolovat, není-li překročena velikost součinu  $LI_0^2$ .

U ostatních materiálů se vhodná permeabilita musí nejprve nalézt. Jádra typu C z amorfálních slitin, z permallyový nebo z elektrotechnických ocelí mají rozměrově homogenní magnetický obvod. Pro ně je možné použít Hannauv diagram nebo jej z měření na několika jádřech sestavit. Pro feritová jádra, která většinou nemají homogenní magnetický obvod, se musí sestrojit, nebo z katalogu výrobce převzít závislost pro návrh tlumivek.

Při sestrojování takového diagramu je vhodnější zjišťovat průběh  $\mu_e$  než závislost velikosti mezery na stejnosměrném poli, neboť výrobci feritových jader jsou zavedeni na jejich výrobu s definovanou konstantou  $A_L$ , která je pro dané jádro přímo úměrná  $\mu_e$ . Permeabilita  $\mu_e$  bývá v řadě R10 normalizovaných čísel (1,0; 1,25; 1,6; 2,0; 2,5; 3,15; 4,0; 5,0; 6,3; 8,0).

## Budicí transformátory spínaců

Budicé jsou proudové impulsní transformátory. Jsou s výhodou používány, protože umožňují izolovat výstupy napájecích zdrojů od síťové části. Izolace mezi primárním a sekundárním vinutím budicé musí být zkoušena napětím 2,5 kV/50 Hz. Používají se hrnčíková jádra o vnějším průměru 26 nebo 36 mm z feritových hmot o počáteční permeabilitě 1000 až 2000. Převod má sestupný poměr 5:1 až 3:1. Přenášené proudové impulsy mají amplitudu obvykle do 1/5

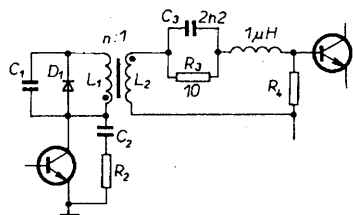
maximálních kolektorových proudů spínačů pro každý spínač (podle proudového zesilovacího činitele spínačních tranzistorů). Z jednoho impulsního transformátoru se může napájet několik spínačů. Každý tranzistor musí mít vlastní sekundární vinutí a vlastní vybíjecí obvod. Jádra mají mezeru napříč indučnímu toku, protože proud primárním vinutím obsahuje stejnosměrnou složku. Indukčnost  $L_2$  sekundárního vinutí musí vyhovovat vztahu

$$L_2 = (\delta T / \Delta I_B) (U_{EB} + I_B R_B)$$

kde  $\Delta I_B$  je rozdíl proudu báze budicího tranzistoru, při kterém se tranzistor otvídá a opět zavírá. Typicky bývá  $L_2 = 1 \text{ mH}$ . Počet závitů sekundárního vinutí musí splnit kontrolní podmínu

$$N_2 \geq U_E \delta T / \Delta B S_j,$$

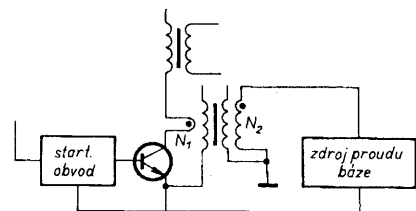
kde  $S_j$  je nejmenší průřez jádra v jeho magnetickém obvodu. Změna magnetické indukce se uvažuje kolem  $0,1 \text{ T}$ . Schéma zapojení typického budicího obvodu s transformátorem je na obr. 66.



Obr. 66. Budicí obvod spínačního tranzistoru

Krátkou dobu nárůstu proudu báze umožňuje obvod  $R_2, C_2$  a  $R_3, C_3$ . Obvod  $C_1, D_1$  omezuje napětí na budicím transformátoru v době, kdy nevede.

Samostatný napájecí zdroj pro obvody nastartování spínačního zdroje zhoršuje účinnost zdroje. Tento pomocný zdroj lze odstranit při použití proudového transformátoru, v němž kolektorový proud spínačního tranzistoru si sám odvozuje budicí bázový proud. První startovací impuls je přímo odvozen z napájecího napětí. Transformační poměr proudového transformátoru (obr. 67) je určen vztahem



Obr. 67. Proudový transformátor k buzení spínačního tranzistoru

$I_B = I_C (N_1 / N_2)$ ,  
 $N_1$  je vždy jen jeden závit, je to vodič, který prochází toroidem,  $N_2$  je 30 až 100 závitů, navinutých na tomto toroidu. Toroid je z feritové hmoty, která umožňuje magnetování ve spínační činnosti. Mívá vnější průměr kolem 20 mm.

### Provedení transformátorů a tlumivek pro měniče

U měničů s kmitočtem do 25 kHz s ohledem na povrchový jev vodičů se používá největší průměr vodičů 1 mm, u měničů s kmitočtem až do 50 kHz 0,6 mm. Pro dosažení větších průřezů vodičů se používá paralelní vinutí či fólie Cu. S ohledem na povrchový jev by neměl být průměr vodiče větší než dvojnásobek hloubky vniku. U vodiče o průměru 1 mm se odpornovrchovým jevem při 25 kHz zvětší o 20 %, u vodiče 0,6 mm při 50 kHz rovněž o 20 %. Odpor vinutí se zvětšuje i s oteplením měděného vinutí. Měrný odpor z  $0,017 \Omega \text{mm}^2/\text{m}$  při  $20^\circ\text{C}$  se zvětší s oteplením o  $60^\circ\text{C}$  na  $0,021 \Omega \text{mm}^2/\text{m}$ . Teplotní činitel odporu mědi je  $0,39 \cdot 10^{-3}/^\circ\text{C}$ .

Při malých počtech závitů se používají páskové vodiče.

Hospodárné a technicky výhodné pro transformátory spotřební elektroniky je vinutí hliníkovými fóliemi (měrný odpor hliníku při  $20^\circ\text{C}$  je

Tab. 23. Efektivní hodnoty proudů

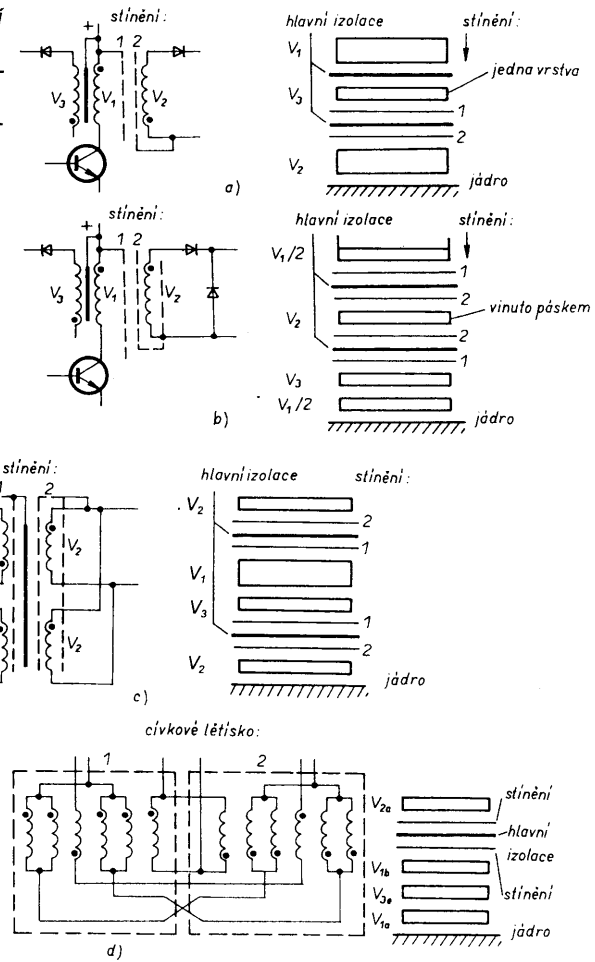
| Průběh    | Efektivní hodnota proudu  |
|-----------|---|
| $I_{max}$ | $I = I_{max} = \sqrt{(\delta / 3)}$                               |
| $I_{max}$ | $I = I_{max} (1/\sqrt{3})$  |
| $I_{max}$ | $I = I_{max} \sqrt{2\delta^2 - 2\delta + 1}$                      |
| $I_{min}$ | $I = \sqrt{\delta [(I_{max}^2/3) + I_{max} I_{min} + I_{min}^2]}$ |
| $I_{max}$ | $I = \sqrt{(I_{max}^2/3) + I_{max} I_{min} + I_{min}^2}$          |
| $I_m$     | $I = I_m \sqrt{\delta}$   |

$0,029 \Omega \text{mm}^2/\text{m}$ , teplotní činitel odporu je  $4,3 \cdot 10^{-3}/^\circ\text{C}$ , pro tvrdý hliník pak  $4,1 \cdot 10^{-3}/^\circ\text{C}$ .

Zatím co u síťových napáječů malých výkonů je na jeden volt napětí pro vinutí transformátoru potřeba několik závitů, je u transformátorů pro

Obr. 68. Některá provedení vinutí transformátorů spínačních zdrojů (kovová armatura, v níž je feritové jádro uloženo, je od nulového napětí izolována a připojena na + napětí).

- a) vinutí na jednom tělesku,
- b) jako a), vinutí  $V_2$  vinutó páskelem,
- c) vinutí na jednom tělesku, d) jádrový typ transformátoru, vinutí na dvou tělesích, vinutí 1 vinuto dvěma vodiči současně, ostatní jedním vodičem



spínací zdroje jeden závit na několik voltů. To zvětšuje nároky na izolaci vodičů. Požadavky na izolaci jsou kritičtější již i proto, že vinutí jsou často jednovrstvová. Každá vrstva vinutí bývá prokládána izolační fólií. Místo prokladů se používají vodiče s trojnásobnou lakovou izolací. Potřebné vzdálenosti vodivých bodů se dodržují u neimpregnovaných vinutí 8 mm, šířka krepování izolace mezi vinutími se dodržuje 4 mm. Elektrické začátky vinutí by měly ležet na téže straně cívkového těleska, aby byl omezen vliv vzájemné kapacity. Proto se při jednovrstvových vinutích v některých zapojeních mění smysl otáčení ovíjeného cívkového těleska.

Průrezy vodičů se volí podle jejich přípustných oteplení, která jsou určena efektivní hodnotou proudu. V tab. 23 jsou efektivní hodnoty proudu pro některé typické průběhy, ukázky vinutí jsou na obr. 68.

## Příklady návrhu transformátorů

### Navrhnut síťový plášťový transformátor (50 Hz) s výstupním napětím 24 V pro výkon 150 VA.

Tepelná třída A (max. teplota vinutí 105 °C při přípustném zvětšení napětí sítě). K dispozici jsou výseky tvaru M (bez mezery) z transformátorové oceli Ei50 tloušťky 0,5 mm. Uvažuje se účinnost 85 %, poměrný úbytek napětí 8 %. Magnetická indukce při 220 V +10 % a kmitočtu 50 Hz -1 % volena 1,4 T. Proudová hustota max. 3,2 A/mm<sup>2</sup>. Činitel plnění jádra 0,92. (Údaje jsou zjištěny z tabulek v textu. Po prvním návrhu budou zpřesněny.)

#### Průřez jádra

$S_j = 3,5 \cdot 3,4 \cdot 0,92 = 11,3 \text{ cm}^2$ , z transformátorové rovnice se určí počet závitů

$$N_1 = \frac{(220 + 10\%)(1 - 0,04) \cdot 10^4}{4,44 \cdot 49,5 \cdot 1,4 \cdot 11,3} = 662$$

$$N_2 = \frac{(24 + 10\%)(1 + 0,04) \cdot 10^4}{4,44 \cdot 49,5 \cdot 1,4 \cdot 11,3} = 79$$

Okénko pro vinutí s vývody na jedné straně cívkového těleska

$$S_v = 5,7 \cdot 1,2 = 6,84 \text{ cm}^2.$$

Zmenšení okénka pro vinutí o průřez obalu vinutí, izolaci mezi primárním a sekundárním vinutím a proklady vrtetev 0,1 · 6,1 = 0,6 cm<sup>2</sup>.

Okénko pro primární vinutí

$S_{v1} = (6,8 - 0,6) / 2 = 3,1 \text{ cm}^2 = S_{v2}$ . Průměr vodiče primárního vinutí (izolace se volí LCE)

$d = \sqrt{0,7 \cdot (310 / 662)} = 0,6 \text{ mm}$  (Ize očekávat středně tlustý vodič. Volí se  $a_v = 0,7$ ).

Proud primární vinutím

$$I_1 = 150 / 220 = 0,7 \text{ A}.$$

Proudová hustota při zvětšení proudu o 10 %

$$\sigma = 0,77 / [(\pi \cdot 0,6^2) / 4] = 2,72 \text{ A/mm}^2.$$

Průměr vodiče sekundárního vinutí (izolace se volí LCE)

$$d = \sqrt{0,8 \cdot (310 / 79)} = 1,8 \text{ mm}$$
 (Ize očekávat tlustý vodič. Volí se  $a_v = 0,8$ ).

Proud sekundárním vinutím

$$I_2 = 150 / 24 = 6,3 \text{ A}.$$

Proudová hustota při zvětšení proudu o 10 %

$$\sigma = 7 / [(\pi \cdot 1,8^2) / 4] = 2,7 \text{ A/mm}^2.$$

Pro Ei50 a pro 1,4 T je  $H = 250 \text{ A/m}$ , činitel výkyvu je 2,2. Střední délka magnetické siločáry je 23,8 cm. Magnetovací proud

$$I_m = (250 \cdot 0,238) / (2,2 \cdot 662) = 0,04 \text{ A}.$$

Vypočítaný magnetovací proud se porovnává se změřeným proudem transformátoru naprázdno. Kontroluje se tím správný druh materiálu a správnost složení plechů (také že vinutí nemá zkraty). Tato zkouška se však zahrnuje do zkoušení samotné navinuté cívky před sestavením transformátoru).

Ztráty v jádru při  $m_j = 2 \text{ kg}$  a  $p_{1,5} = 4,7 \text{ W/kg}$

$$P_v = 2 \cdot 1,2 \cdot 4,7 \cdot (1,4 / 1,5)^2 = 10 \text{ W}.$$

Celkové ztráty

$$P_z = (150 / 0,85) - 150 = 26 \text{ W}.$$

Odtud ztráty ve vinutí

$$P_c = 16 \text{ W}.$$

Dále by se vypočítaly odpory vinutí a zpřesnil by se poměrný úbytek napětí, účinnost, činitel vinutí, průměry vodičů. Před realizací vzorků by se učinil kvalifikovaný odhad oteplení vinutí a jádra.

### Navrhnut transformátor izolovaného blokovacího měniče.

Ze zdroje stejnosměrného napětí, které kolísá od 6 do 18 V se má získat stejnosměrný stabilizovaný zdroj napětí 5 V/1 A. Navržen bude transformátor pro izolovaný blokovací měnič se spínacím kmitočtem 20 kHz.

Účinnost zdroje se uvažuje 75 %. Celkový příkon je 6,6 W. Střední hodnota proudu v primárním vinutí transformátoru je při nejmenším uvažovaném napětí a  $\delta = 0,5$  asi 2,2 A. Maximální kolektorový proud  $I_{1,\max}$  je dvojnásobný, tj. 4,4 A. Pro střední vstupní napětí 12 V a  $\delta = 0,3$  je indukčnost primárního vinutí

$$L_1 = 12 \delta T / I = 12 \cdot 0,3 \cdot 50 \cdot 10^{-6} / 4,4 = 40 \cdot 10^{-6} \text{ H}.$$

K nalezení vhodného jádra se určí součin  $L_1 / I_{1,\max}^2$

$$L_1 / I_{1,\max}^2 = 40 \cdot 10^{-6} \cdot 4,4^2 = 0,77 \text{ mH}^2.$$

Na základě průběhu závislosti  $LI_0^2$  na  $NI_0$  při parametru  $\mu_e$ , která byla k dispozici např. pro jádra E, volí se jádro E32/12 z hmoty H21 s efektivní permeabilitou 200. Náhradní rozměry tohoto jádra jsou:  $I_e = 72 \text{ mm}$ ,  $S_e = 90 \text{ mm}^2$  a  $V_e = 6500 \text{ mm}^3$ . Počet primárních závitů

$$N_1 = \sqrt{(L_1 / I_e) / (\mu_0 \mu_e S_e)} =$$

$$= \sqrt{(40 \cdot 10^{-6} \cdot 72 \cdot 10^{-3}) / (1,256 \cdot 10^{-6} \cdot 200 \cdot 90 \cdot 10^{-6})} = 10.$$

Aby pro napětí 5 V vyšel počet závitů jako celé číslo, volí se sekundární

vinutí se čtyřmi závity, tj. 1,25 V/závit.

Primární vinutí s deseti závity buď odpovídá napětí 12,5 V, poněkud nesymetricky uloženému vzhledem ke střednímu napětí. Převod transformátoru

$$N_1 / N_2 = 10 / 4 = 2,5.$$

Sekundární vinutí se vine jako první z fólie Cu 4x 0,1x15 mm<sup>2</sup>. Závity jsou vzájemně izolovány.

Primární vinutí s 10 závity je vinuto dvěma vodiči současně (2x 0,6 LCE). Dosažená magnetická indukce se určí ze závislosti

$$L = \Phi / I,$$

odtud

$$\Delta B [(L_1 / I_{1,\max}) / NS_j] =$$

=  $(40 \cdot 10^{-6} \cdot 4,4) / (10 \cdot 90 \cdot 10^{-6}) = 0,2 \text{ T}$ , což je vyhovující. (Pro toto jádro je  $S_e = S_j$ .) Tohoto výsledku bylo dosaženo při návrhu s různými jádry E (nejvhodnější bylo použito k návrhu). Byly-li by známé údaje o ztrátách v jádru při  $f = 20 \text{ kHz}$  a  $\Delta B = 0,2 \text{ T}$ , určil by se z hmotnosti jádra jeho ztrátový výkon a odhadlo by se jeho oteplení.

Pro zjištění ztrát ve vinutí se určí efektivní hodnota proudu pro  $I_{1,\max} = 4,4 \text{ A}$  a  $\delta = 0,5$

$$I_{1,\text{ef}} = 4,4 \sqrt{0,5 / 3} = 1,8 \text{ A}.$$

Podobně se postupuje pro sekundární vinutí. Z odporů vinutí a známých proudů by se zjistily ztrátové výkony ve vinutí. Skinefekt (povrchový jev) by se neuvažoval. Lze odhadnout, byl-li by součet všech ztrátových výkonů menší než 750 mW, že by oteplení transformátoru mohlo být v přijatelných mezech.

(Dokončení v příštím čísle)

## INZERCE

### Prodej

El. součástky 7500 ks (T, R, D, C) a jiný materiál, levně. Tel. (02) 85 43 221.

Fyzikální ústav AV-ČR, Na Slovanově 1, 180 40 Praha 8, nabízí 14 ks kondenzátorů olejových (filtračních), 140 µF, 5/7,5 kV, typ IM-150, krátce používané, kvalitní (za odvoz). Vhodné k filtraci napáj. anod. napětí pro stř. vysílače. Kontaktní tel. (02) 6605-2150 (7-8 hod. ráno).

### Koupě

Fyzikální ústav AV ČR koupí za hotové i od soukromé osoby anténní přizpůsobovací člen od RDST RM31P nebo T v původním stavu. Kontaktní tel. 6605-2150 (7-8 hod. ráno).

Zlacené konektory URS - 4x 12 špiček v černém plastu, jihlavské - 4x 12 špiček v průhledném plastu (např. z počítače EC1021), ruské - 69, 96 nebo 135 špiček ve 3 řadách v barevném plastu (např. z počítače EC1045, EC1030, kyjevský SMEP apod.) i jiné samce, samice i poškozené. Dle vaši nabídky mohu koupit i celé zařízení k likvidaci. Volejte, pište, dohoda jistá. Nabídka platí stále. P. Hodis, Nad Beláří 16, 143 00 Praha - Modřany, tel. (02) 402 61 91.



**TOROVIL MCM LTD.**  
PRODUCTION-EXPORT-IMPORT

## TOROIDAL TRANSFORMERS, POWER SYSTEMS, ELECTRONIC PARTS

Office: Tomašíkova 26, 821 01 Bratislava, SLOVAKIA

TEL: +42 - 7- 522 73 49 FAX: +42 - 7- 779 070

Ponuka ku dňu 12.1.1995

### Toroidné transformátory 230 V/11,5 V

| Výkon [ VA ] | Veľkosť [mm] | Prevedenie              | Kryt    | Cena bez DPH<br>Cena/ks | /100 ks  |
|--------------|--------------|-------------------------|---------|-------------------------|----------|
| 50           | Ø 82x45      | THGT 105 Clasic         | bez     | 416,-SK                 | 332,-SK  |
| 50           | Ø 92x38      | THGT 105 Disc           | bez     | 416,-SK                 | 332,-SK  |
| 50           | Ø 93x50      | THGT 105 Coverline      | v kryte | 576,-SK                 | 454,-SK  |
| 80           | Ø 90x45      | THGT 108 Classic        | bez     | 468,-SK                 | 384,-SK  |
| 80           | Ø 103x55     | THGT 108 Coverline      | v kryte | 596,-SK                 | 508,-SK  |
| 105          | Ø 105x44     | THGT 11 Disc            | bez     | 516,-SK                 | 444,-SK  |
| 105          | Ø 95x48      | THGT 11 Classic         | bez     | 516,-SK                 | 444,-SK  |
| 105          | Ø 103x55     | THGT 11 Coverline       | v kryte | 736,-SK                 | 598,-SK  |
| 150          | Ø 120x42     | THGT 115 Classic        | bez     | 560,-SK                 | 472,-SK  |
| 150          | Ø 115x48     | THGT 115 Classic        | bez     | 560,-SK                 | 472,-SK  |
| 150          | Ø 135x36     | THGT 115 Disc           | bez     | 560,-SK                 | 472,-SK  |
| 150          | Ø 115x48     | THGT 115 T.S. Classic   | bez     | 640,-SK                 | 552,-SK  |
| 150          | Ø 125x52     | THGT 115 Coverline      | v kryte | 820,-SK                 | 692,-SK  |
| 150          | Ø 125x52     | THGT 115 T.S. Coverline | v kryte | 900,-SK                 | 772,-SK  |
| 210          | Ø 117x50     | THGT 12W Clasic         | bez     | 636,-SK                 | 548,-SK  |
| 210          | Ø 135x42     | THGT 12W Disc           | bez     | 636,-SK                 | 548,-SK  |
| 210          | Ø 150x36     | THGT 12W Super Flat     | bez     | 636,-SK                 | 548,-SK  |
| 210          | Ø 117x50     | THGT 12W T.S. Clasic    | bez     | 716,-SK                 | 628,-SK  |
| 210          | Ø 125x73     | THGT 12W Coverline      | v kryte | 984,-SK                 | 744,-SK  |
| 210          | Ø 125x73     | THGT 12W T.S. Coverline | v kryte | 1064,-SK                | 824,-SK  |
| 315          | Ø 125x60     | THGT 13W Classic        | bez     | 752,-SK                 | 668,-SK  |
| 315          | Ø 150x42     | THGT 13W Disc           | bez     | 752,-SK                 | 668,-SK  |
| 315          | Ø 125x60     | THGT 13W T.S. Clasic    | bez     | 832,-SK                 | 748,-SK  |
| 315          | Ø 140x66     | THGT 13W Coverline      | v kryte | 1164,-SK                | 852,-SK  |
| 315          | Ø 140x66     | THGT 13W T.S. Coverline | v kryte | 1244,-SK                | 932,-SK  |
| 500          | Ø 150x65     | THGT 15W                | bez     | 1180,-SK                | 948,-SK  |
| 500          | Ø 150x66     | THGT 15W T.S.           | bez     | 1260,-SK                | 1028,-SK |

### Zákaznícke transformátory na väčšie výkony:

|      |          |     |             |        |
|------|----------|-----|-------------|--------|
| 650  | Ø 150x80 | bez | min. 1500,- | kontr. |
| 800  | Ø 160x85 | bez | min. 2000,- | kontr. |
| 1100 | Ø 165x85 | bez | min. 2500,- | kontr. |

Coverline - v kryte, biely, čierny, metalízy, T.S. - tepelná ochrana vratná, 110 °C.

Vývody: pevné, resp. lanko, resp. lanko klim. odolné.

Izolácia: 4 000 VAC, VDE 0550, 0551, No. 35 13 30,  
resp. 35 13 25.

Doplnky: nábehové prúdové limitéry

|                         |             |               |
|-------------------------|-------------|---------------|
| SG 220, $I_{max} = 3 A$ | 1 ks 80,-SK | 100 ks 66,-SK |
| SG 27 $I_{max} = 6 A$   | 98,-SK      | 84,-SK        |
| SG 160 $I_{max} = 15 A$ | 174,-SK     | 148,-SK       |
| SG 405 $I_{max} = 30 A$ | 298,-SK     | 254,-SK       |

Elektrosoučasťky za nízké ceny

Lhotsky - E. A.  
electronic actuell  
Komenského 465/11  
431 51 Klášterec nad Ohří

odesíláme obrazom poštou, možný též osobní odběr v pracovní dny mimo středu 8-12 hod., 15-20 hod.

Telefon 0398/93 64 06

Seznam zašleme proti známce 5,-Kč

### Reproduktové soustavy

### Kompletne stavebnice

### Součástky, Skříně

### Reproduktovy

Katalog zdarma!

VÝHODNE  
DEALERSKE CENY

VÝROBA  
VELKOOBCHOD  
MALOOBCHOD  
ZASÍLKOVA SLUŽBA



**KLITECH**

spol. s r.o.

262 03 Nový Knín, nám. Jiřího z Poděbrad 403,

tel.: 0305/932 08, 933 18, fax: 0305/932 88

Provoz Praha

130 00 Praha 3, Za Vackovem 7, tel./fax: 02/684 71 02